



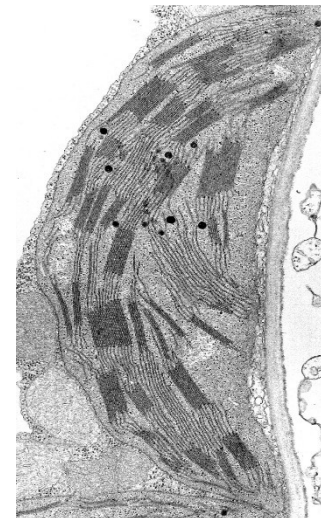
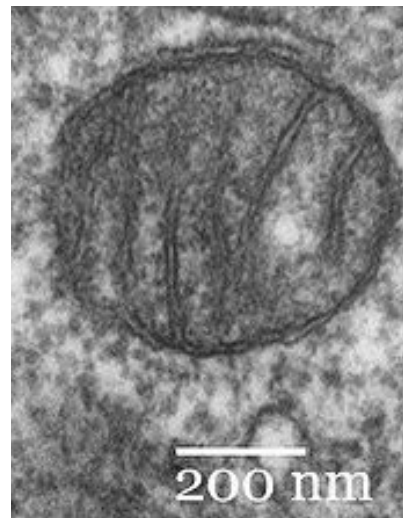
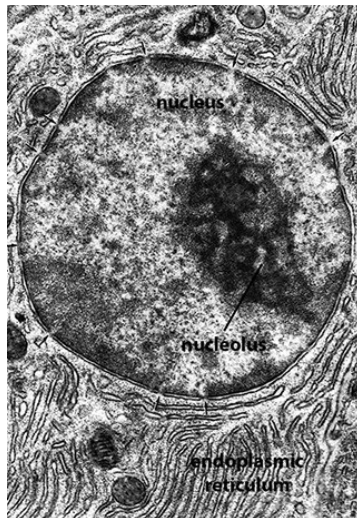
# Moderní metody analýzy genomu a význam pro hematologii

# Ing. Zuzana Vrzalová, Ph.D.

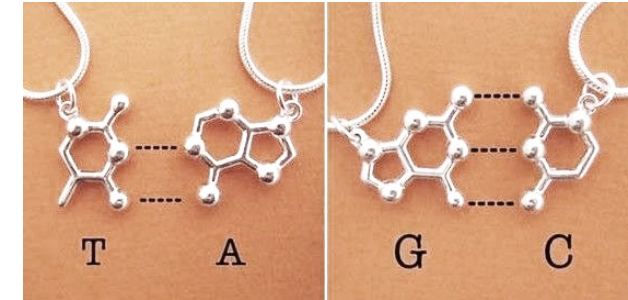
- Přerov
- 1994 - 1997 Gymnázium
- 1997 - 2002 VŠCHT Praha - magisterské studium - biochemie a technologie v chemii a potravinářství
- 2003 - 2004 Univerzita Hohenheim – Stuttgart – stipendijní program
- 2005 - 2013 FN Brno – CMBG – Sekce metabolických nemocí
- 2010 - 2017 MU Genomika a proteomika – Ph.D.
- 2017 – dosud **Centrum molekulární medicíny - CEITEC MU (Prof. Pospíšilová)**  
**Centrum molekulární biologie a genetiky – IHOK FN Brno**  
**(Prof. Pospíšilová, Prof. Dousek)**

# Genom

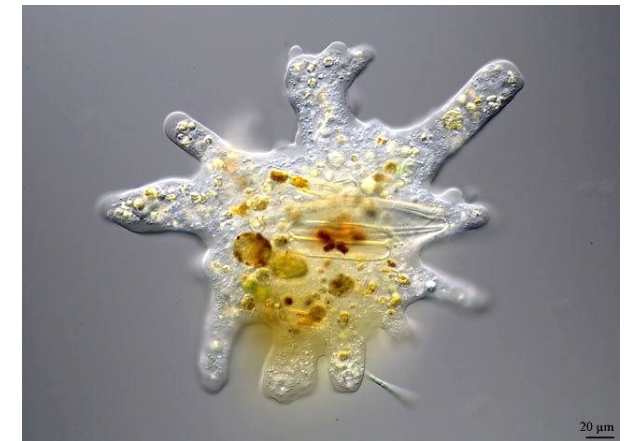
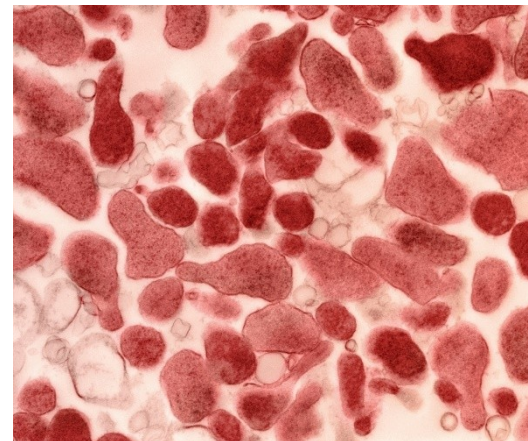
- Veškerá genetická informace uložena v DNA konkrétního organismu
  - Jaderná DNA
  - Mitochondriální DNA
  - Plastidová DNA (pouze u 🌸 🌸 🌸 )



# Velikost genomu



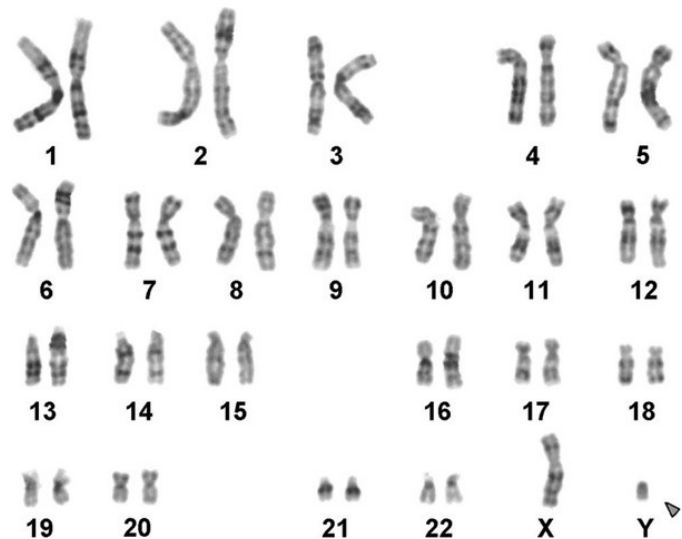
- Udává se v bp = páry bazí .....(kb, Mb)
- ~~„čím složitější organismus, tím větší genom“~~
- Nejmenší genom: *Mycoplasma genitalium* – 580 **tisíc** bp
- Největší genom: měňavka *Polychaos dubium* – 670 **miliard** bp
- Člověk: 3,2 **miliard** bp



# Lidský genom

□ Jaderný genom  
46 chromozomů:

- 22 párů chromozomů  
+ pohlavní chromozomy  
XX (žena) nebo XY (muž)



kapradina Hadilka  
(*Ophioglossum*)  
- až 1260 chromozomů



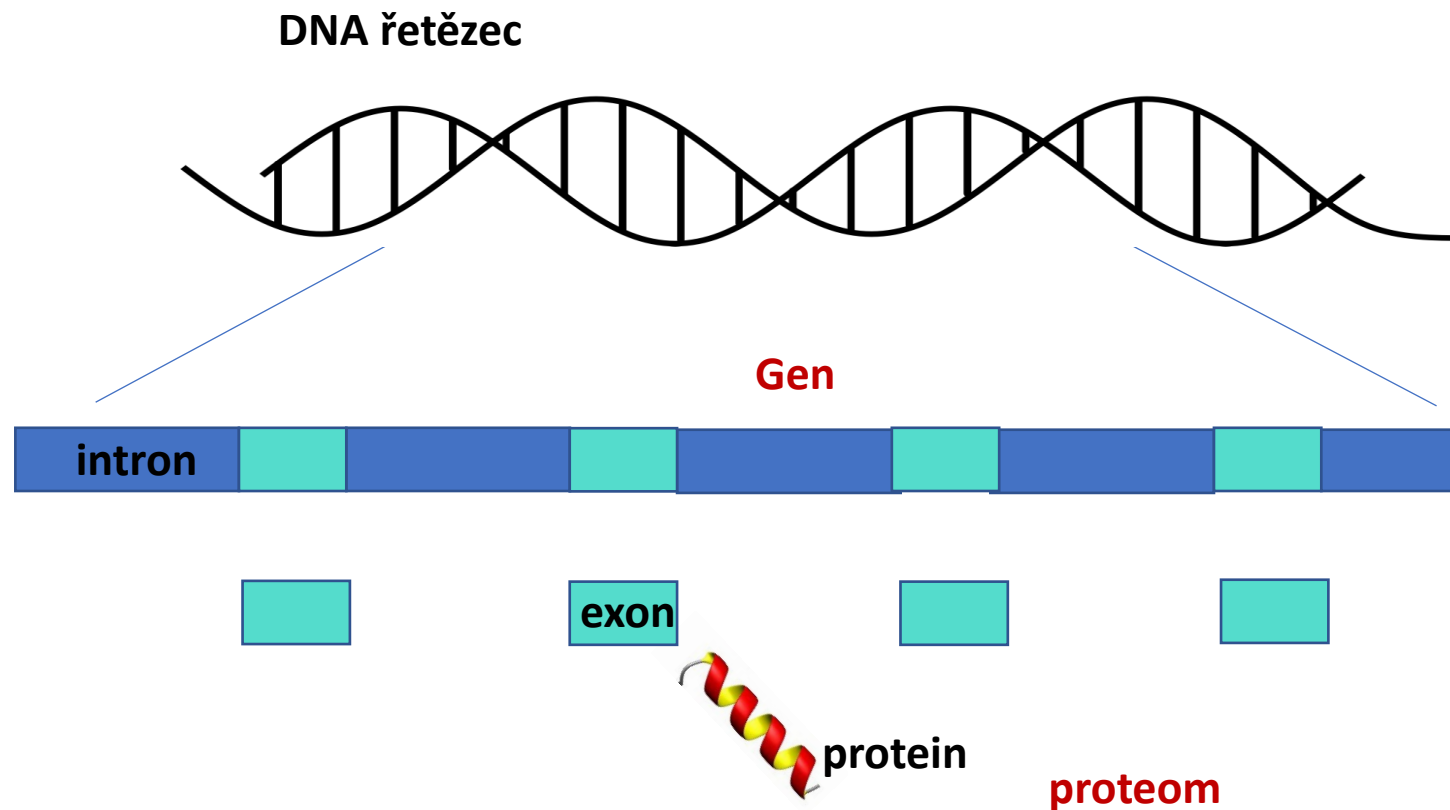
octomilka (*Drosophila melanogaster*)  
8 chromozomů



huseníček rolní  
(*Arabidopsis thaliana*)  
10 chromozomů

# Lidský genom

- **genom** =  $3.2 * 10^9$  bp  
~ 20 000 genů  
~ nekódující části, sekvence
- **exom** = souhrn exonů  
~ 1,5 % genomu
- **proteom** = souhrn proteinů  
~ 10 000 proteinů



genom



všechny exony = **exom**  
< 2 % celého genomu



# Lidský genom

- lidský genom  
=  $3.2 * 10^9$  bp  
~ 20 000 genů

## Počty genů – komplexita organismu

- **Exom** = < 2 % lidského genomu

obsahuje ~ 85 % známých mutací podmiňujících onemocnění

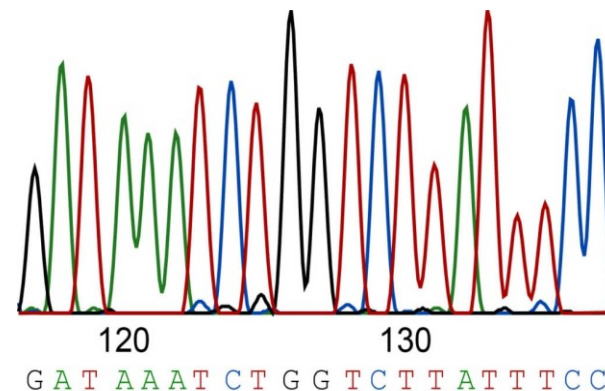


# Geneticky podmíněná onemocnění u člověka

- Monogenní choroby
- Chromozomové aberace
- Genetické poruchy somatických buněk (nádory)
- Choroby s nemendelistickým způsobem dědičnosti (např. nestabilní opakování trinukleotidů)
- Polygenní choroby
- Multifaktoriální choroby (geny + prostředí)



# Sekvenování – využití v diagnostice

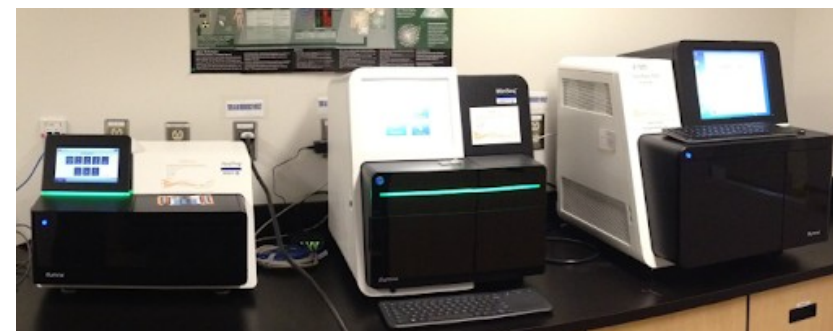


## ➤ Zejména 1. generace (Sangerovo sekvenování)

- Zlatý standard
- Sekvenování genů (resp. jejich částí)

## ➤ 2. (nová) generace čím dál více rozšiřuje své uplatnění

- Sekvenování velkého množství genů
- Sekvenování jednoho genu více pacientů
- Sekvenování exomu (DNA, která kóduje proteiny)
- Sekvenování genomu (veškerá DNA v buňkách)



## 2. generace NGS – flexibilita

Celý genom



3 200 000 000 bp  
30-50 x pokrytí

Exom



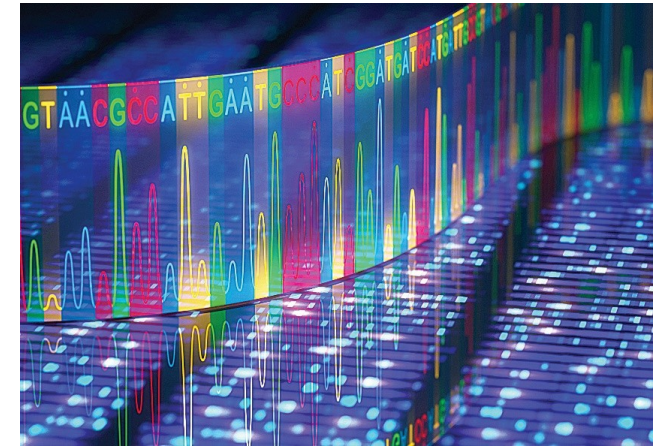
18 000 - 20 000 genů  
100 x pokrytí

Konkrétní geny  
nebo tzv. „hot spots“



< 100 genů  
> 1000 x pokrytí

# Sekvenační metody analýzy DNA



*1. Sangerovo sekvenování*

*2. Panelové sekvenování – target NGS*

*3. Celorexomové sekvenování*

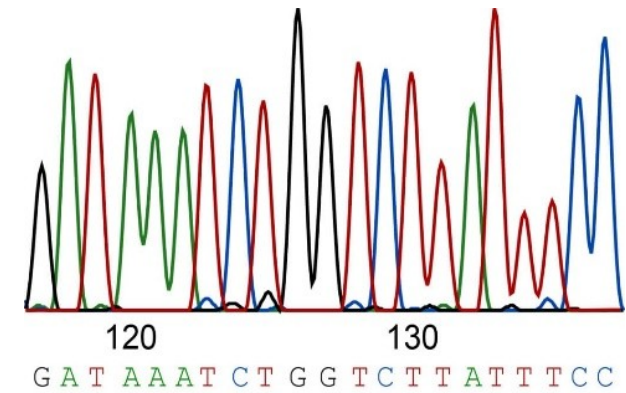
*4. Celogenomové sekvenování*

*odhalení  
příčiny  
nejrůznějších  
nemocí*

# 1. Sangerovo sekvenování - klasické sekvenování

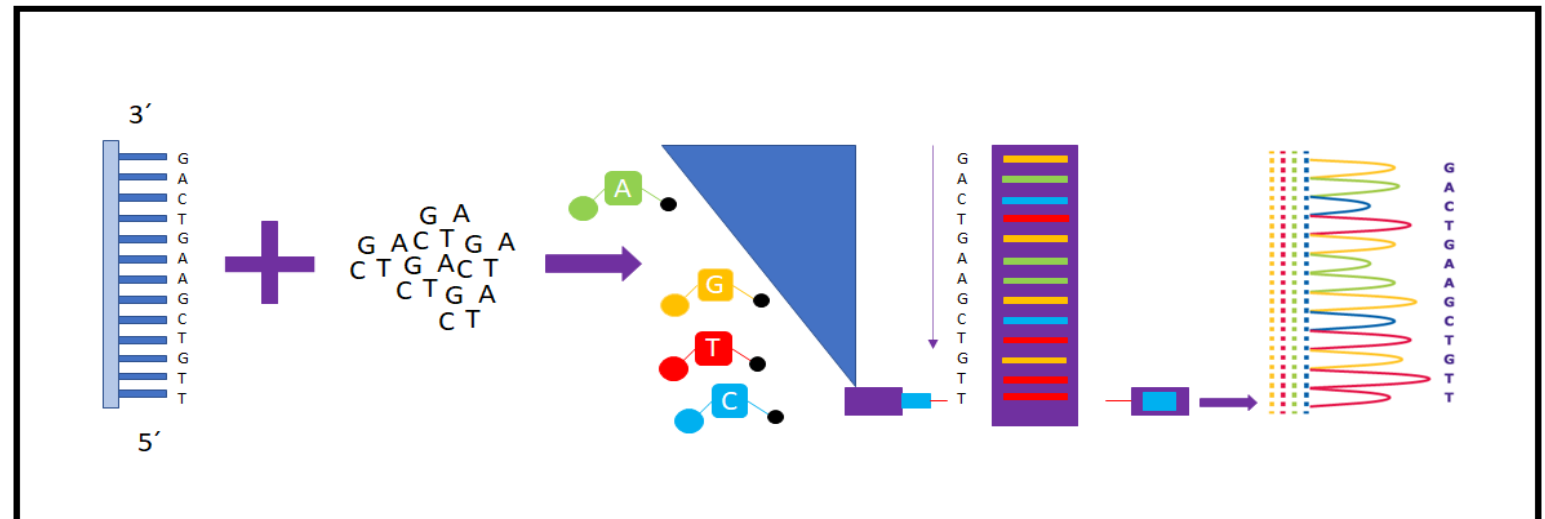
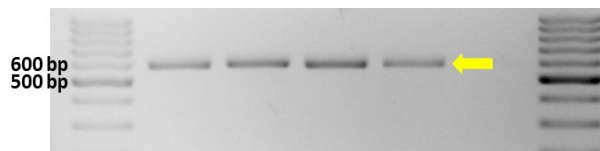
- sekvenace nukleových kyselin, proteinů
- 1977 – biochemik Frederick Sanger
- 1980 – udělena Nobelova cena za chemii

➤ slouží k detekci SNV a krátkých delecí a inzercí



1. Polymerázová  
řetězová  
reakce (PCR)

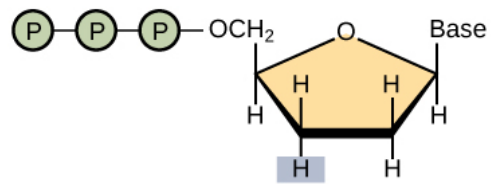
2. Elektroforéza



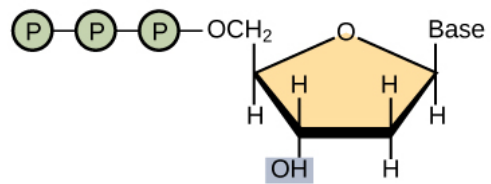
# 1. Sangerovo sekvenování - klasické sekvenování

3. Značící reakce

4. Sangerovo sekvenování

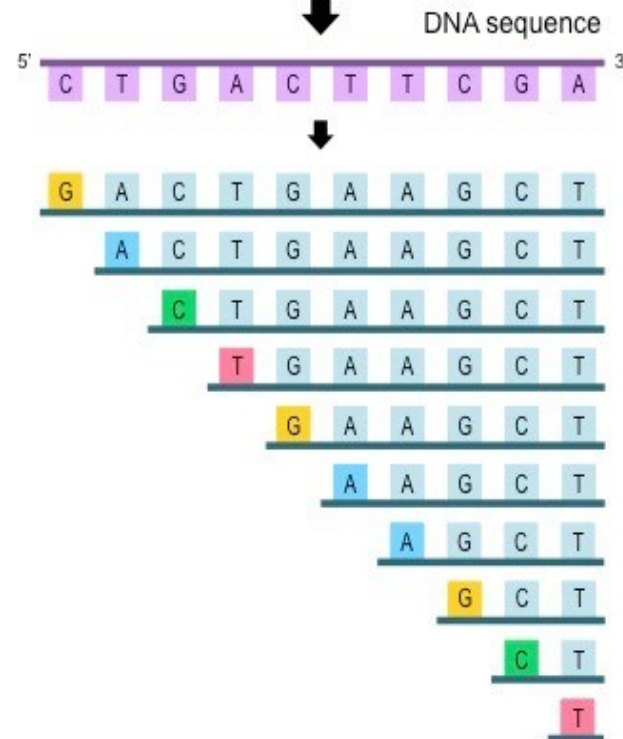
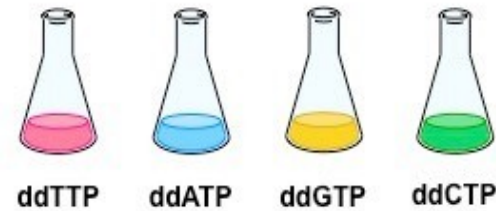


Dideoxynucleotide (ddNTP)

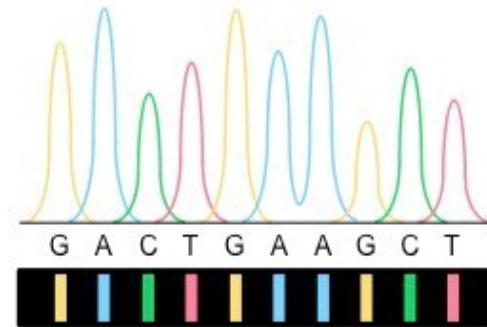


Deoxynucleotide (dNTP)

4 × PCR (+ one dideoxynucleotide)



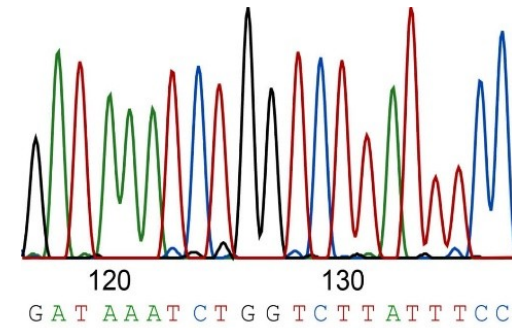
Use a sequencing machine



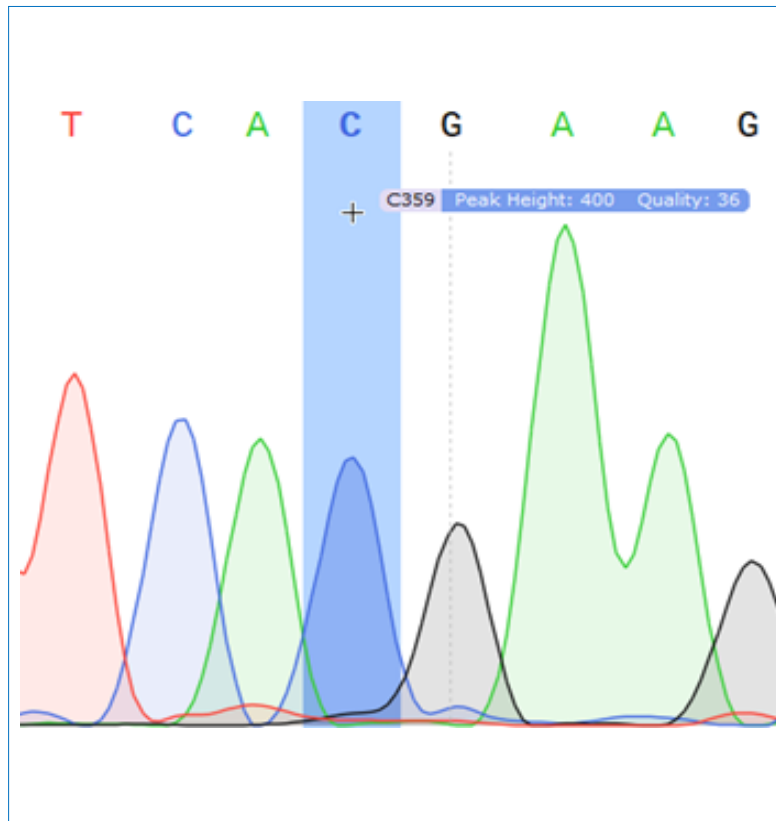
Separate with a gel



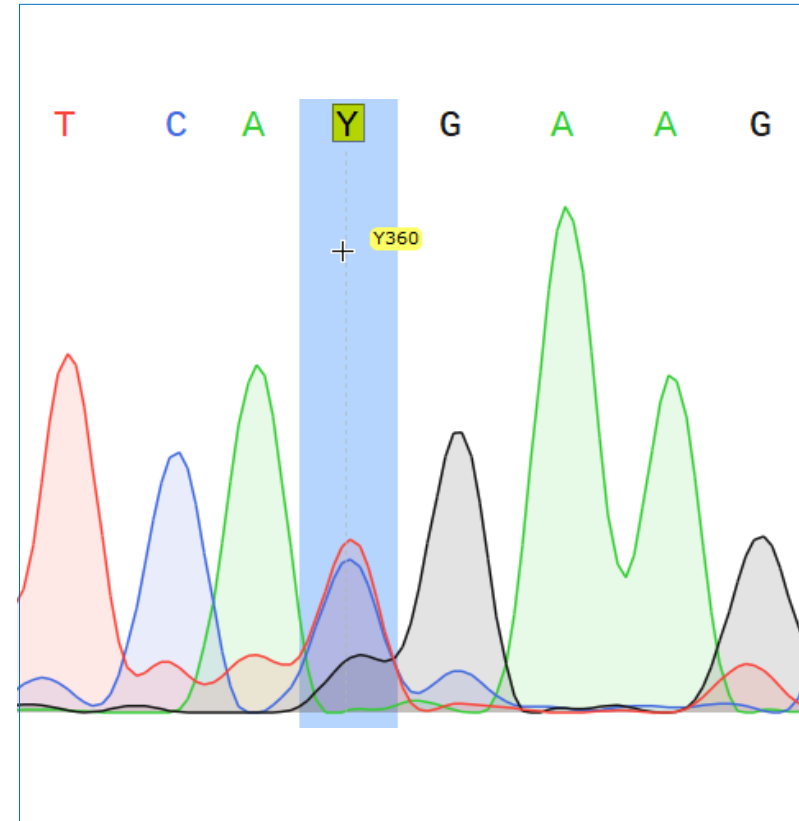
# Ověření pomocí Sangerova sekvenování



(Zdroj obrázků: vlastní)



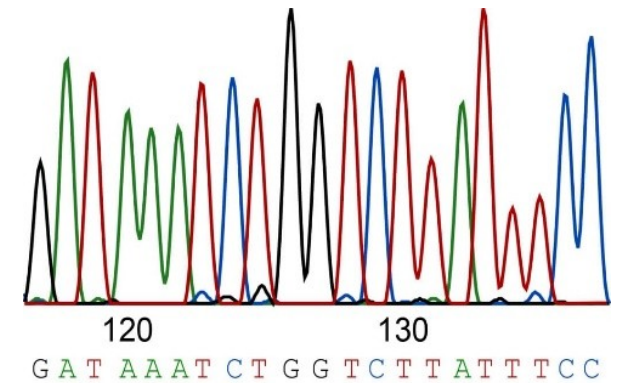
Zdravý člen rodiny



Nemocný člen rodiny  
s heterozygotní substitucí

# Kam směřuje Sangerovo sekvenování

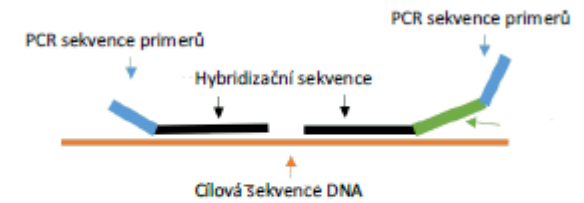
- pochopení struktury a fce NK a proteinů
- postupně nahrazeno přístupy NGS
- **detekční metoda u geneticky podmíněných onemocnění:**  
„krátké“ geny (talasémie), hot spot (specifické, cílové) oblasti
- **ověření každé pravděpodobné kauzální varianty z NGS**
- **detekce kauzální varianty u dalších příbuzných**
- **slouží k detekci SNV a krátkých delecí a inzercí**



# MLPA (Multiplex ligation-dependent probe amplification)

- izolovaná DNA
- **detekce CNV (variant v počtu kopií):**  
parciální i rozsáhlé delece a duplikace
- firma: MRC Holland, přes 300 komerčních kitů
- multiplex PCR esej<sup>do</sup> plastid u rostlin
- kvantifikace – kapilární elektroforéza
- online dostupný software Coffalyser
- onemocnění:  
talasémie,  
hereditární hemoragická teleangelektázie

1 - DENATURACE; 2 - HYBRIDIZACE



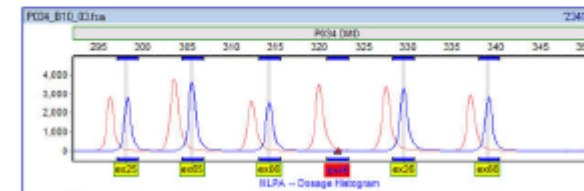
3 - LIGACE



4 - AMPLIFIKACE



5 - SEPARACE FRAGMENTŮ A ANALÝZA DÁT

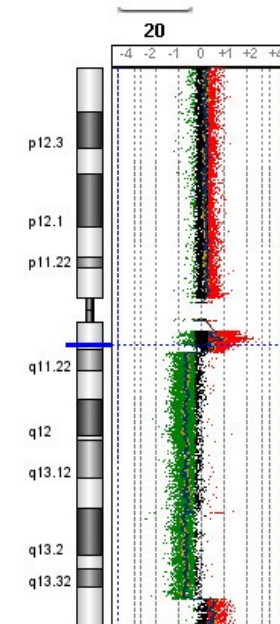
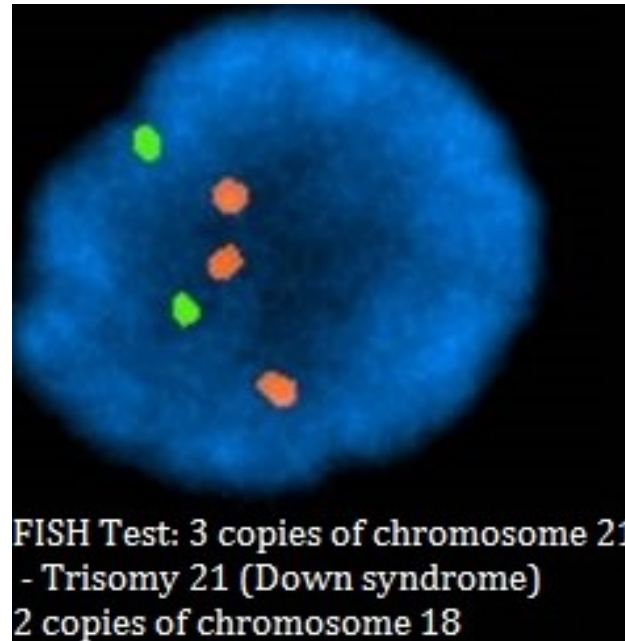
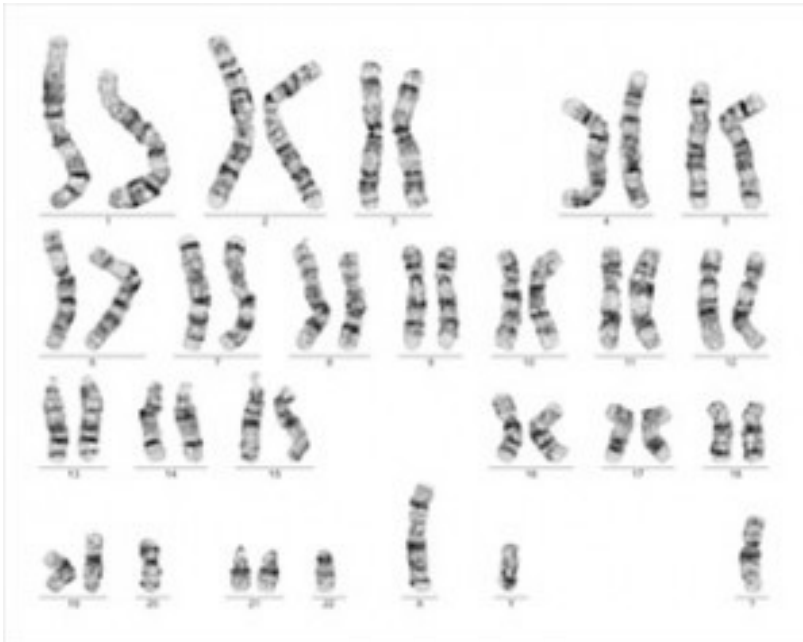


Zare et al., 2017



# Cytogenetika

- Klasická cytogenetika – karyotypování
- FISH (Fluorescent In Situ Hybridization)
- Čipy (array CGH)

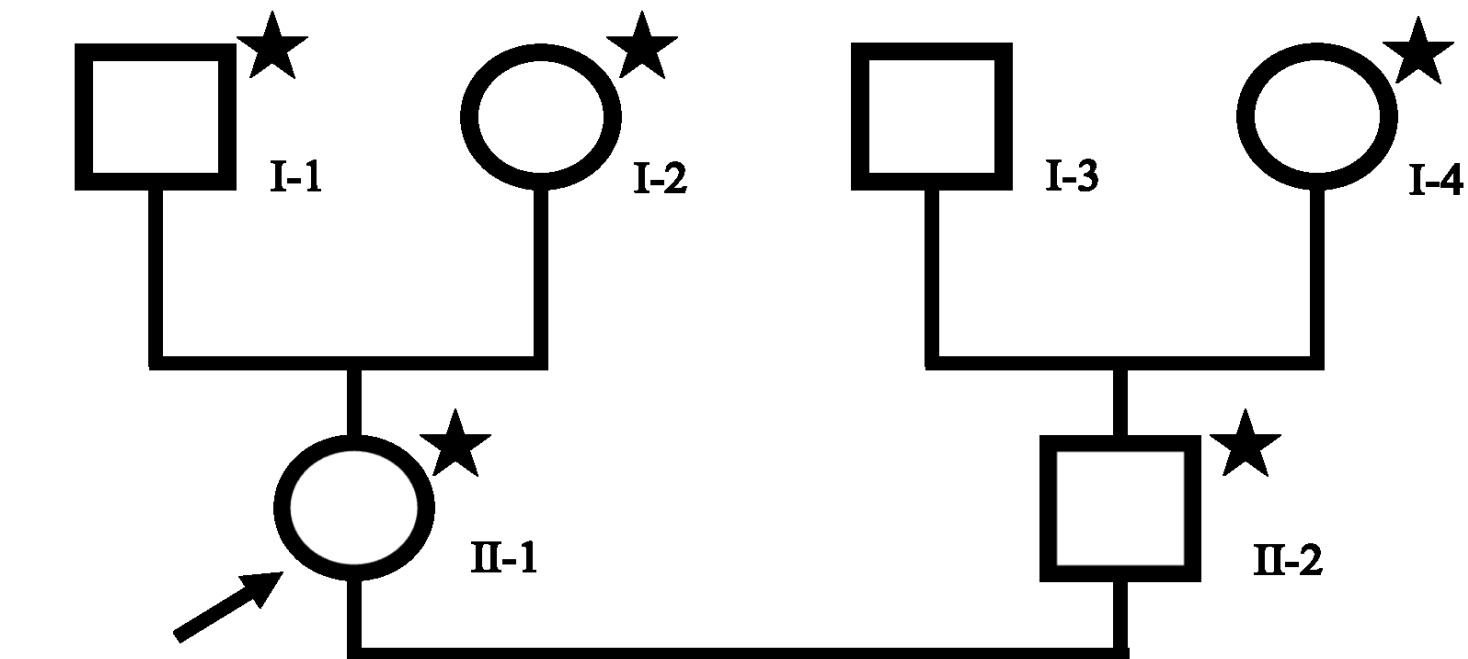


# Kazuistika rodiny

-dlouhodobá neplodnost

-záchyt hemoglobinopatie u  
rodičů v roce 2016  
u rodiče probandky

➤ genetická analýza  
alfa a beta- talasémie

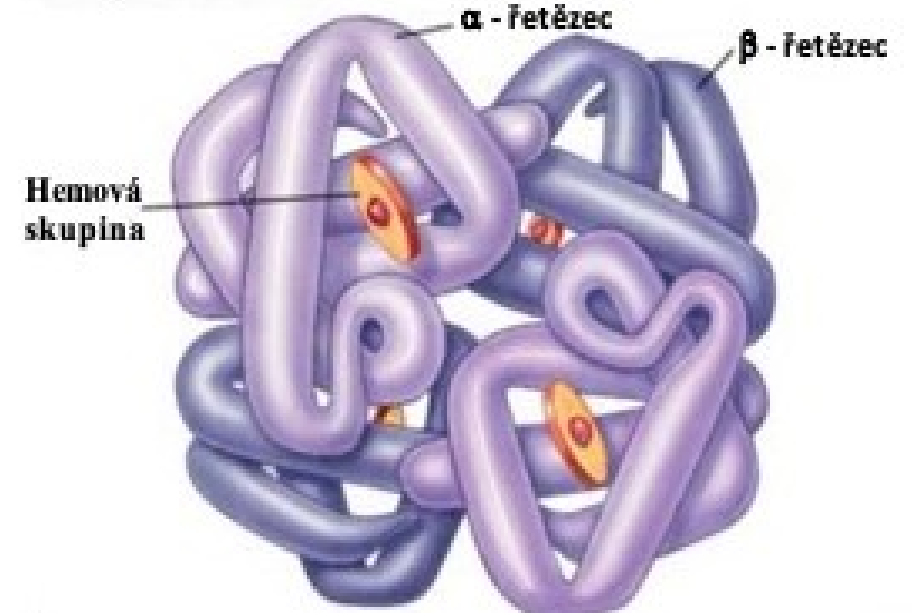


*Legenda:*

- – probandka
- ★ – pacienti, u nichž byla provedena
- – genetická analýza
- – označení muže
- – označení ženy

# Talasémie

- geneticky podmíněná onemocnění vznikající poruchou syntézy globinových řetězců
- narušení poměru alfa a beta řetězců v molekule Hb
- postihuje 7 % celosvětové populace
- Hemoglobinopatie
- výskyt ve Středozeří a malarických oblastech
  - selekční výhoda přenašečů před malárií
- migrace do Evropy



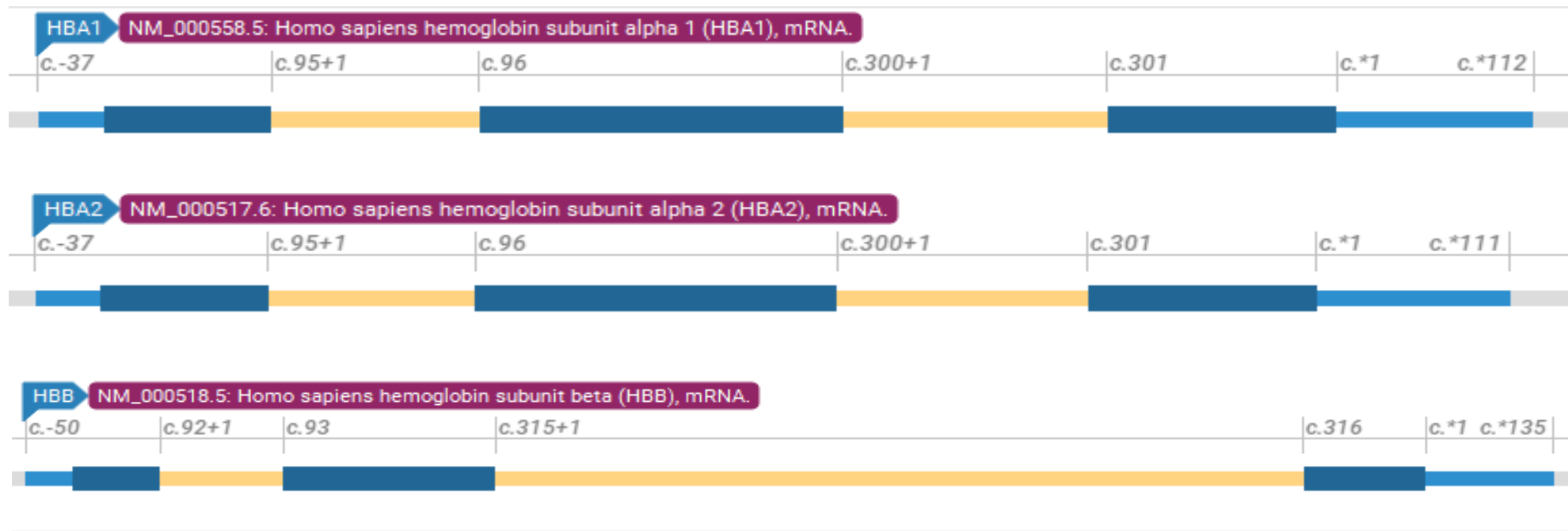
# Charakteristika onemocnění talasémie

- Dle typu postiženého řetězce:
  - $\alpha$ -talasémie: minima, minor, choroba hemoglobinu H, **choroba hemoglobinu Barts**
  - $\beta$ -talasémie: minor, intermedia, **major**
  - vzácné formy ( $\gamma$ ,  $\delta$ )
- bezpříznakový průběh až těžká anémie (transfuzní léčba)
- léčba: transfuze krve, transplantace kostní dřeně, genová terapie
  - často záměna za sideropenii



# Charakteristika genů talasémie

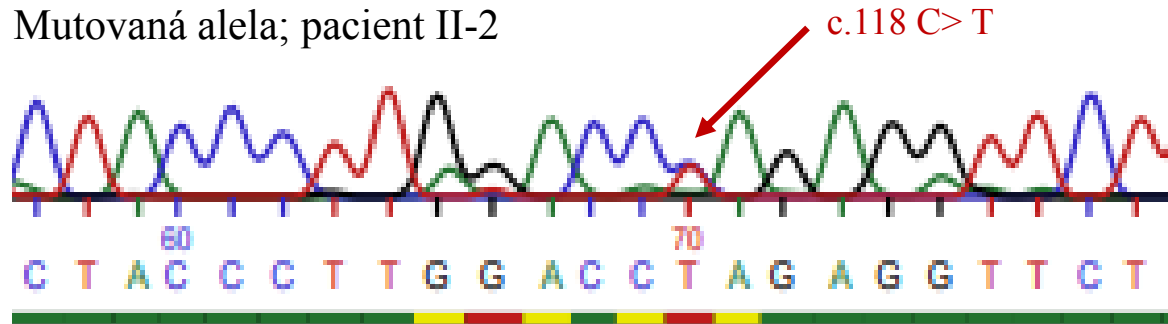
- geny *HBA1*, *HBA2* a *HBB* (chromozomy 16 a 11)
- 3 exony, 2 introny, 5'- a 3'-nepřekládané oblasti před a za genem



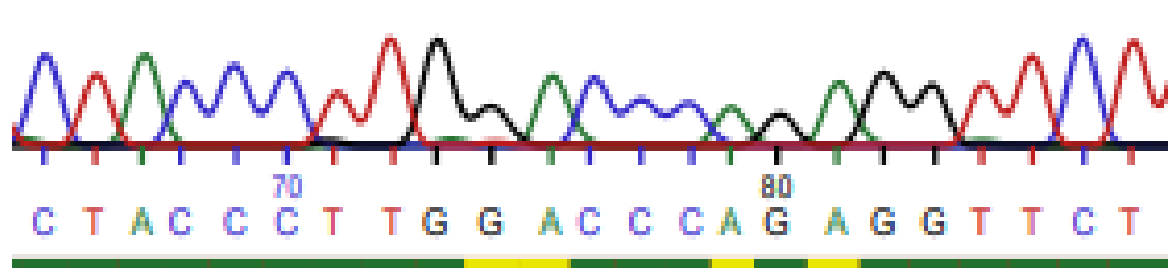
# Elektroforeogramy patogenních mutací nalezených u pacientů pomocí Sangerova sekvenování

Varianta c.118C>T v *HBB* genu

Mutovaná alela; pacient II-2

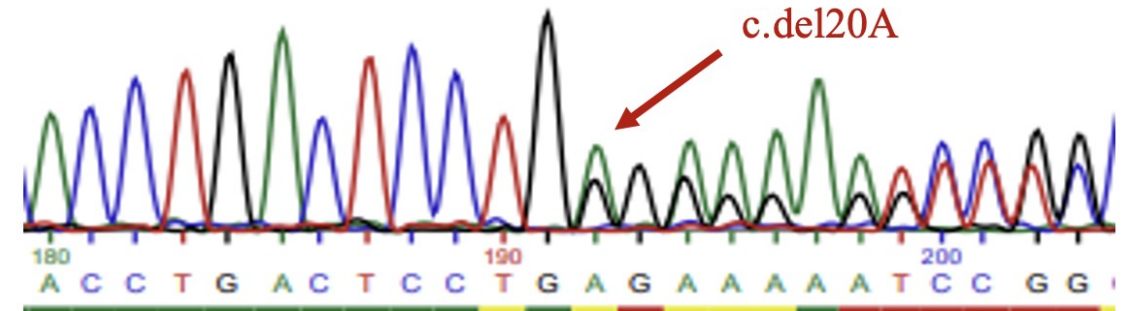


Referenční alela; pacient I-1

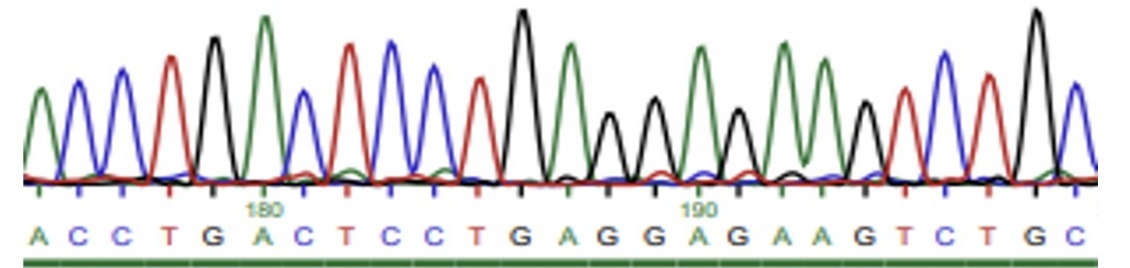


Varianta c.20delA v *HBB* genu

Mutovaná alela; pacient II-1 (mutace nalezena i u pacienta I-1)



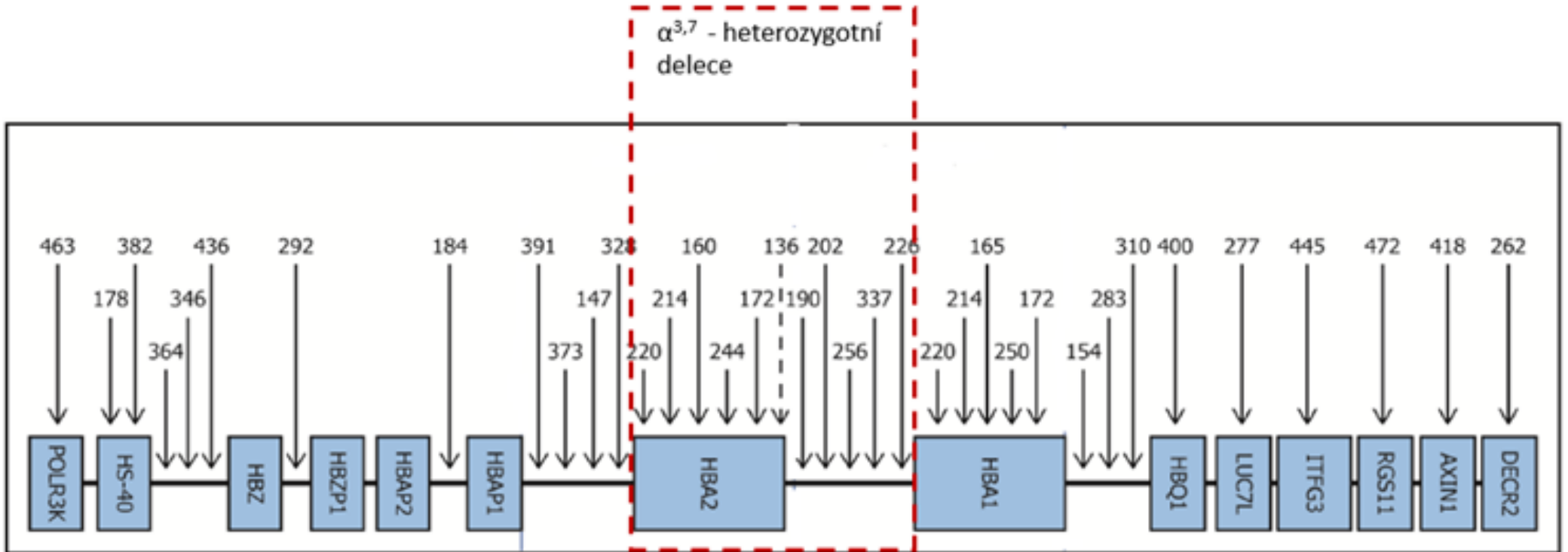
Referenční alela; pacient II-2



# Výsledky Sangerova sekvenování

| Označení vzorku         | HBB gen                               |
|-------------------------|---------------------------------------|
| Probandka               | <b>c.20delA (HT)</b> ; c.9T>C (HZ)    |
| Manžel probandky        | <b>c.118C&gt;T (HT)</b> ; c.9T>C (HZ) |
| Matka probandky         | <b>c.20delA (HT)</b> ; c.9T>C (HZ)    |
| Otec probandky          | c.9T>C (HZ)                           |
| Matka manžela probandky | c.9T>C (HZ)                           |

# Výsledky MLPA analýzy



**$\alpha$ -3,7 delece**

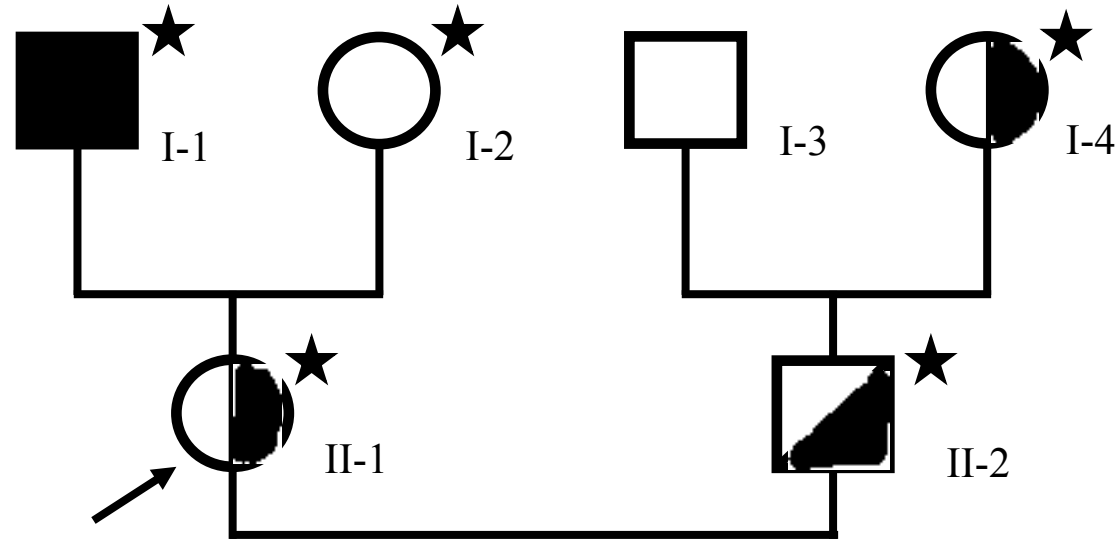


# Komplexní genotypy analyzované rodiny

1.alela:  $\alpha$ -3,7 delece (*HBA1* + *HBA2*);  
c.20delA (*HBB*)  
2.alela:  $\alpha$ -3,7 delece (*HBA1* + *HBA2*)

1.alela: wt  
2.alela: wt

1.alela:  $\alpha$ -3,7 delece (*HBA1* + *HBA2*)  
2.alela: wt



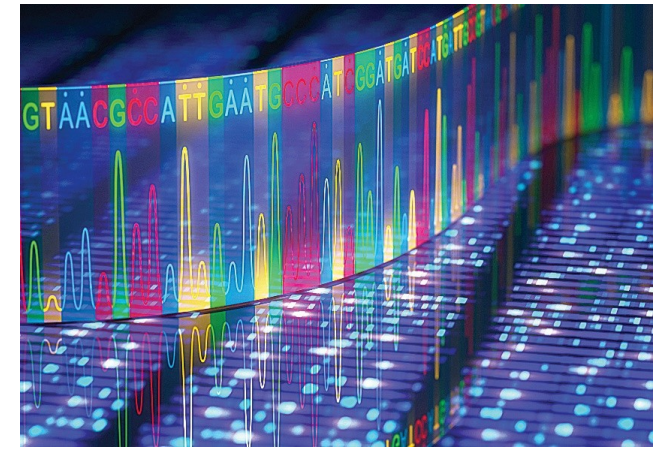
1.alela:  $\alpha$ -3,7 delece (*HBA1* + *HBA2*);  
c.20delA (*HBB*)  
2.alela: wt

1.alela:  $\alpha$ -3,7 delece (*HBA1* + *HBA2*)  
2.alela: c.118C>T (*HBB*)

# Závěr kazuistiky

- u čtyř z pěti pacientů – různé mutace pro talasémii
- probandka (II-1) s partnerem (II-2) – **zdravými přenašeči alel pro  $\alpha$ - a  $\beta$ -talasémii**
- pro budoucí potomstvo:
  - **100% šance přenosu minimálně 1 talasemické alely**
  - **25% šance vzniku  $\beta^{+}/\beta^{0}$ -talasémie**
- doporučeno podstoupení IVF (pro průkaz variant v *HBB* genu)
- preimplantační genetická diagnostika pro stanovení  $\alpha$ -3,7 delece není nutná

# Sekvenační metody analýzy DNA



1. *Sangerovo sekvenování*
2. *Panelové sekvenování – target NGS*
3. *Celoexomové sekvenování*
4. *Celogenomové sekvenování*

*odhalení  
příčiny  
nejrůznějších  
nemocí*

## 2. NGS panel BRONCO

### - NGS panel pro hereditární nádorové syndromy

- *HBOC (Hereditary breast and ovarian cancer)*
- *HNPCC/ Lynchův syndrom*
- *familiární adenomatózní polypóza*
- *neurofibromatóza 1. a 2. typu*
- *xeroderma pigmentosum*
- *Li-Fraumeniho syndrom*
- *mnohočetná endokrinní neoplázie*
- *hereditární retinoblastom*
- *maligní melanom aj.*



**CEITEC MU  
+ IHOK FNB**

## BRONCO21 - seznam genů

|         |             |         |         |        |          |        |         |        |
|---------|-------------|---------|---------|--------|----------|--------|---------|--------|
| ACD     | CASP8       | DPYD    | FANCI   | MEN1   | PALB2    | RAD54L | SDHB    | VHL    |
| AIP     | CCND1       | EFL1    | FANCL   | MET    | PARP1    | RB1    | SLC37A4 | VPS13B |
| AK2     | CDC73       | EGFR    | FANCM   | MLH1   | PCCA     | RBM8A  | SLX4    | VPS45  |
| ALK     | CDH1        | EIF2AK3 | FH      | MLH3   | PCCB     | RECQL  | SMAD4   | WAS    |
| ANKRD26 | CDK12       | ELANE   | G6PC3   | MPL    | PCNA     | RECQL4 | SMARCA4 | WIPF1  |
| AP3B1   | CDK4        | EPCAM   | GATA1   | MRE11A | PHB      | RET    | SMARCA2 | WRAP53 |
| APC     | CDKN1B      | ERCC1   | GATA2   | MRP    | PHOX2B   | RFWD3  | SMARCB1 | WRN    |
| ATG2B   | CDKN1C      | ERCC2   | GFI1    | MSH2   | PLA2G2A  | RHBDF2 | SMARCE1 | WT1    |
| ATM     | CDKN2A      | ERCC3   | GPC3    | MSH3   | PMS1     | RMRP   | SRP72   | XPA    |
| ATR     | CEBPA       | ERCC4   | GSKIP   | MSH5   | PMS2     | RNF168 | STK4    | XPC    |
| AURKA   | CHEK1       | ERCC5   | HAX1    | MSH6   | POLD1    | RPS7   | STK11   | XRCC2  |
| BAP1    | CHEK2       | ERCC6   | HNF1A   | MSR1   | POLE     | RPS10  | SUFU    | XRCC3  |
| BARD1   | chr9:215121 | ESR1    | HOXB13  | MUT    | POLH     | RPS15  | TAZ     |        |
| BCOR    | CLPB        | ESR2    | HRAS    | MUTYH  | POT1     | RPS17  | TCIRG1  |        |
| BLM     | COH1        | ETV6    | IKZF1   | MYD88  | PPM1D    | RPS19  | TINF2   |        |
| BMPR1A  | CSF3R       | EXO1    | IVD     | NBN    | PRKAR1A  | RPS24  | TNFSF5  |        |
| BRAF    | CTC1        | EXT1    | JAGN1   | NF1    | PTCH1    | RPS26  | TERC    |        |
| BRAP    | CTNNB1      | FAN1    | KAT5    | NF2    | PTEN     | RPS27A | TERT    |        |
| BRCA1   | CXCR2       | FANCA   | KIT     | NHEJ1  | RAD50    | RPL5   | TLR2    |        |
| BRCA2   | CXCR4       | FANCB   | KRAS    | NHP2   | RAD51    | RPL11  | TP53    |        |
| BRCC3   | DCLRE1C     | FANCC   | LAMTOR2 | NOP10  | RAD51AP1 | RPL27  | TSC1    |        |
| BRIP1   | DDB2        | FANCD2  | LIG4    | NRAS   | RAD51B   | RPL35a | TSC2    |        |
| BTK     | DDX41       | FANCE   | LYST    | NTHL1  | RAD51C   | RTEL1  | TSHR    |        |
| BUB1B   | DICER1      | FANCF   | MDM2    | OGG1   | RAD51D   | RUNX1  | UBE2T   |        |
| CALR    | DKC1        | FANCG   | MAD2L2  | P2RY8  | RAD54B   | SBDS   | USB1    |        |

### 298 genů

- predispozice k malignitám (onkogeny, nádorové supresory)
- zapojené do opravných drah DNA
- důležité u hematologických malignit



## SureSelect<sup>XT</sup> HS

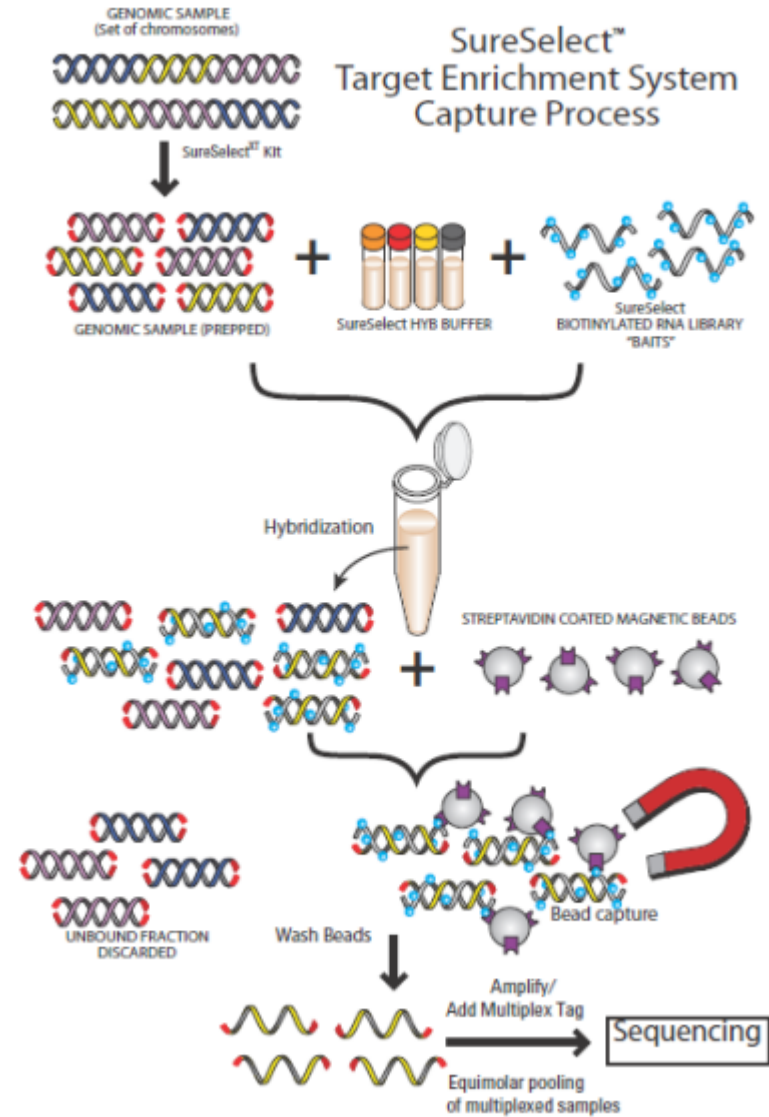
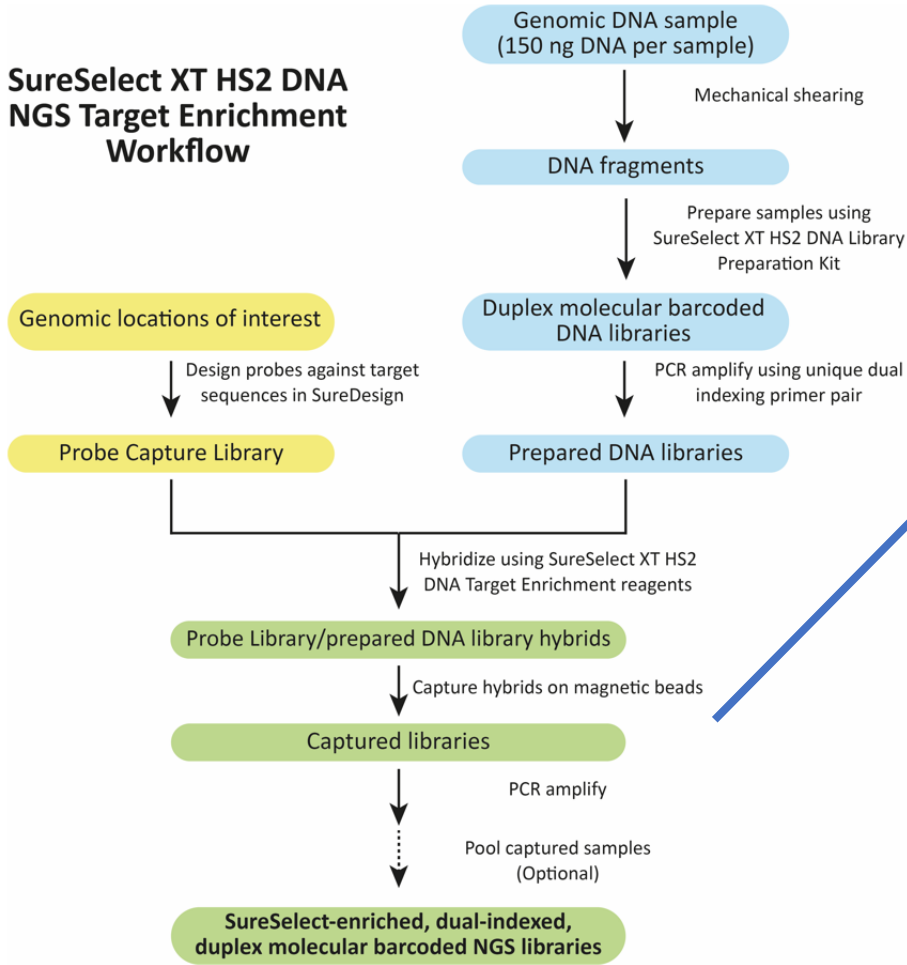


The SureSelect<sup>XT</sup> Reagent Kits provide DNA library prep solutions with hybrid capture-based target enrichment.

The kits are compatible with FFPE samples and high-quality libraries can be generated from 3  $\mu$ g DNA input or lower 200 ng input. This kit provides high-complexity libraries for rare allele detection.

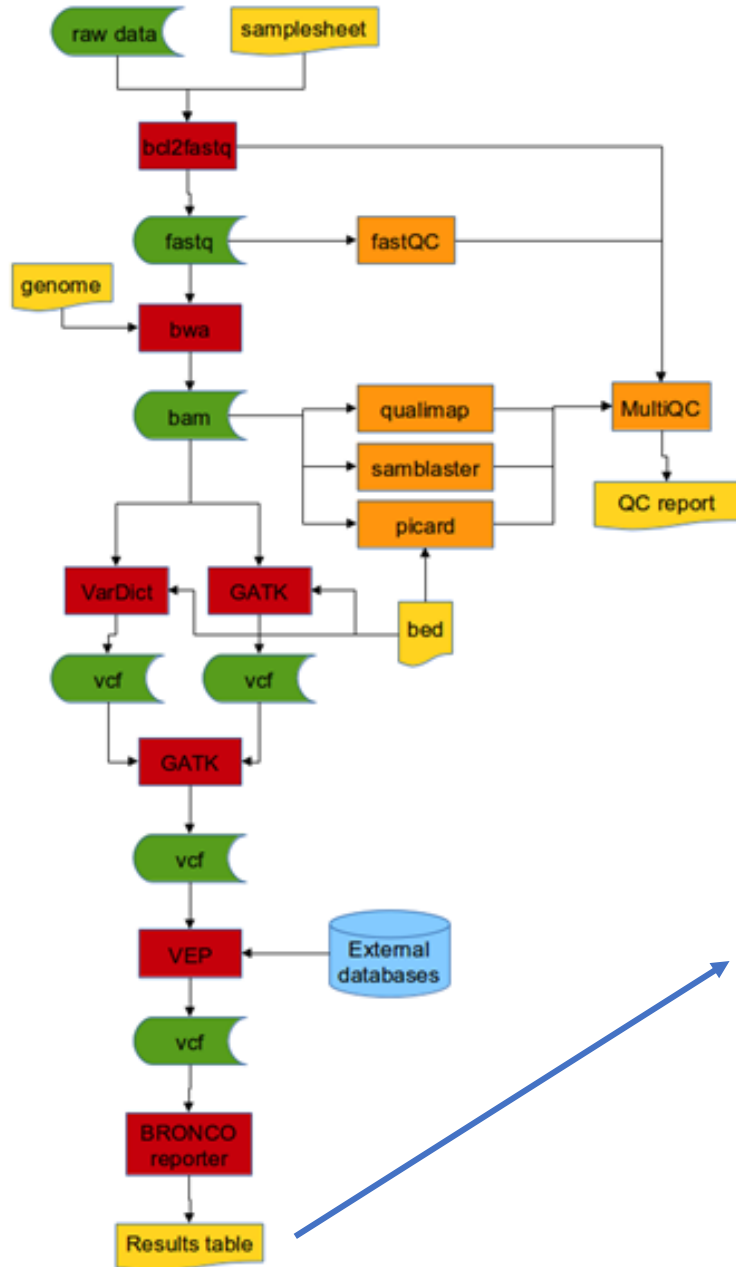


# SureSelect XT HS2 DNA NGS Target Enrichment Workflow



# ANALÝZA

- bioinformatický tým
- in-house pipeline



| var_name     | occurrence | in_sample     | user_anno | comment | alarm | full_anno               | var_gen_c    | variant_ty | Gene_syn |
|--------------|------------|---------------|-----------|---------|-------|-------------------------|--------------|------------|----------|
| 3_10088407_  | 369        | multiple (5+) |           |         |       | FANCD2:NM_001163473.1   | Chr3:GRCh37  | deletion   | FANCD2   |
| 3_10088408_  | 529        | multiple (5+) |           |         |       | FANCD2:NM_001163473.1   | Chr3:GRCh37  | deletion   | FANCD2   |
| 5_79950725_  | 142        | multiple (5+) |           |         |       | MSH3:NM_001163473.1     | Chr5:GRCh37  | insertion  | MSH3     |
| 1_43804340_  | 54         | multiple (5+) |           |         |       | MPL:NM_001163473.1      | Chr1:GRCh37  | SNV        | MPL      |
| 1_45795084_  | 15         | multiple (5+) |           |         |       | MUTYH:NM_001163473.1    | Chr1:GRCh37  | SNV        | MUTYH    |
| 1_45797505_  | 343        | multiple (5+) |           |         |       | MUTYH:NM_001163473.1    | Chr1:GRCh37  | SNV        | MUTYH    |
| 1_92948938_  | 113        | multiple (5+) |           |         |       | GF11:NM_001163473.1     | Chr1:GRCh37  | SNV        | GF11     |
| 1_155106227_ | 19         | multiple (5+) |           |         |       | EFNA1:NM_001163473.1    | Chr1:GRCh37  | SNV        | EFNA1    |
| 1_242042301_ | 564        | multiple (5+) |           |         |       | EXO1:NM_001163473.1     | Chr1:GRCh37  | SNV        | EXO1     |
| 10_27303605_ | 219        | multiple (5+) |           |         |       | ANKRD26:NM_001163473.1  | Chr10:GRCh37 | SNV        | ANKRD26  |
| 10_27317840_ | 218        | multiple (5+) |           |         |       | ANKRD26:NM_001163473.1  | Chr10:GRCh37 | SNV        | ANKRD26  |
| 10_43610119_ | 312        | multiple (5+) |           |         |       | RET:NM_001163473.1      | Chr10:GRCh37 | SNV        | RET      |
| 12_12141665_ | 540        | multiple (5+) |           |         |       | HNF1A:NM_001163473.1    | Chr12:GRCh37 | SNV        | HNF1A    |
| 12_12143542_ | 474        | multiple (5+) |           |         |       | HNF1A:NM_001163473.1    | Chr12:GRCh37 | SNV        | HNF1A    |
| 12_13325399_ | 220        | multiple (5+) |           |         |       | POLE:NM_001163473.1     | Chr12:GRCh37 | SNV        | POLE     |
| 13_32906729_ | 394        | multiple (5+) |           |         |       | BRCA2:ENST00000287640.5 | Chr13:GRCh37 | SNV        | BRCA2    |
| 13_10096215_ | 3          | BR-1523, BR-1 |           |         |       | PCCA:NM_001163473.1     | Chr13:GRCh37 | SNV        | PCCA     |
| 14_45654531_ | 2          | H-0363, BR-15 |           |         |       | FANCM:NM_001163473.1    | Chr14:GRCh37 | SNV        | FANCM    |
| 14_45658024_ | 41         | multiple (5+) |           |         |       | FANCM:NM_001163473.1    | Chr14:GRCh37 | SNV        | FANCM    |
| 14_81610583_ | 915        | multiple (5+) |           |         |       | TSHR:NM_001163473.1     | Chr14:GRCh37 | SNV        | TSHR     |
| 14_96777468_ | 605        | multiple (5+) |           |         |       | ATG2B:NM_001163473.1    | Chr14:GRCh37 | SNV        | ATG2B    |
| 15_31197564_ | 606        | multiple (5+) |           |         |       | FAN1:NM_001163473.1     | Chr15:GRCh37 | SNV        | FAN1     |





# Vyšetřeno celkem 1398 pacientů

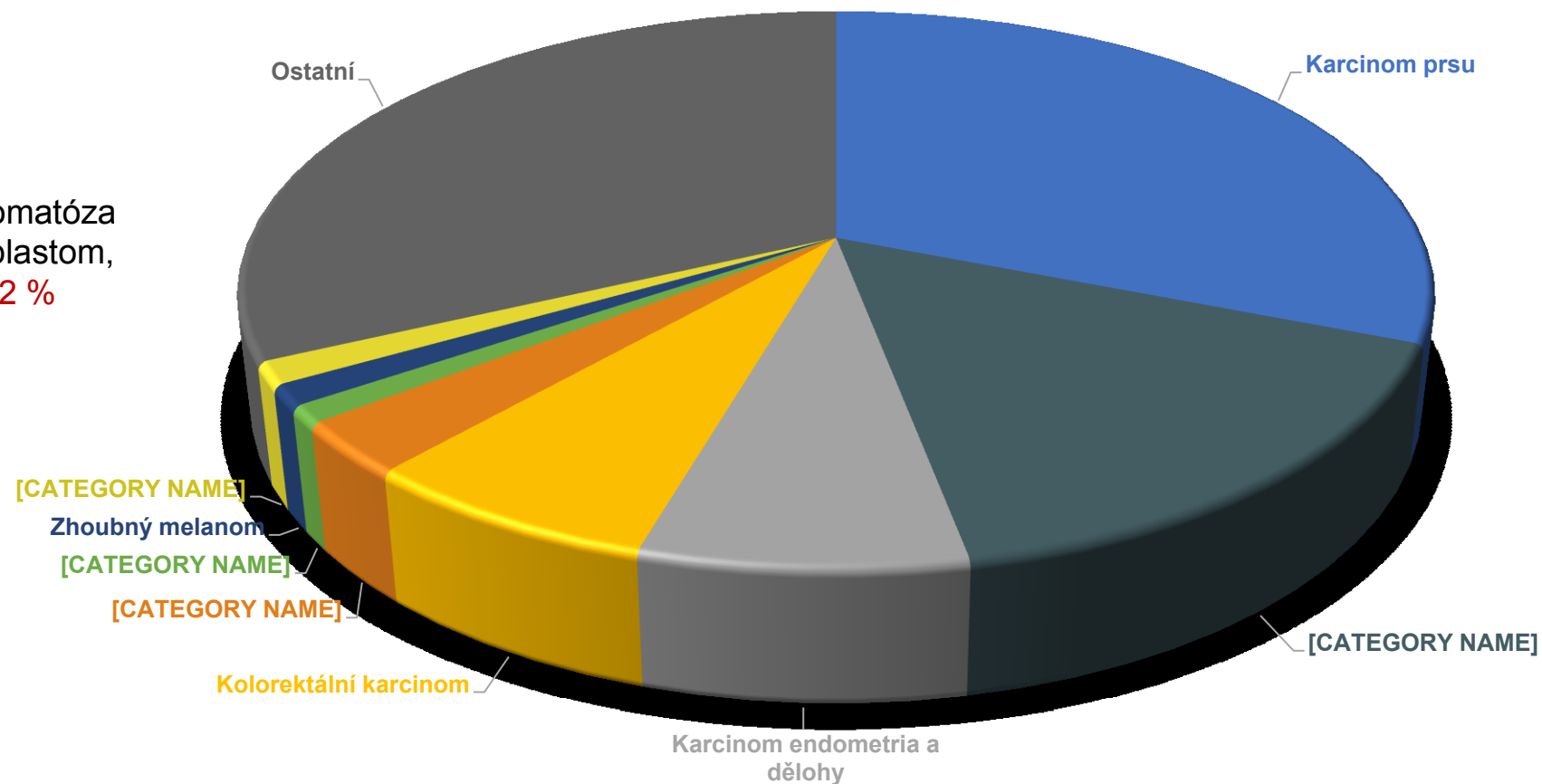
- Karcinom prsu (408)- 31%
- Karcinom vaječníku (210)- 16%
- Karcinom endometria a dělohy (C54- 99) – 7,5 %
- Kolorektální karcinom (C18-59, C20-32, celkem 91)- 7%
- Karcinom slinivky (43) – 3%
- Karcinom prostaty (14)- 1%
- Zhoubný melanom (21) – 1,2 %
- Karcinom štítné žlázy (19) – 1,3 %
- **Ostatní** (karcinom žaludku, neurofibromatóza retinoblastom, osteosarkom, meduloblastom, onkologická zátěž v rodě aj.) (424) -32 %

MUDr. Trizuljak – FN Brno,  
ambulance IHOK (Obilní  
Trh)

MUDr. Beharka – FN  
Jihlava, ambulance lékařské  
genetiky

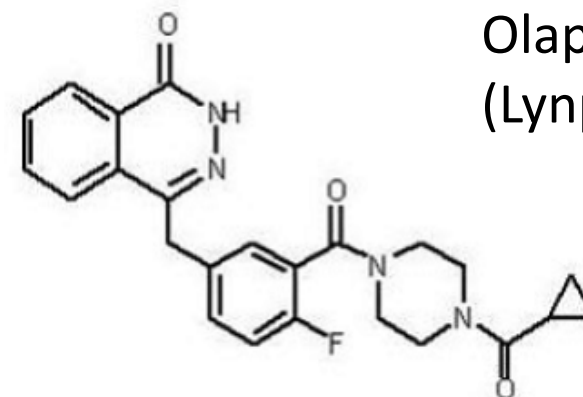
MUDr. Drábová (Šoukalová,  
Kalina) - ÚLGG

SOUBOR PACIENTŮ DLE DIAGNÓZ



## Význam a využití

- výběr optimální léčebné strategie v rámci personalizované medicíny
- došetření ostatních zdravých členů rodiny
- nabídnutí adekvátní profylaxe, screeningu a poradenství



Olaparib  
(Lynparza)

## Pacient, ročník 1995

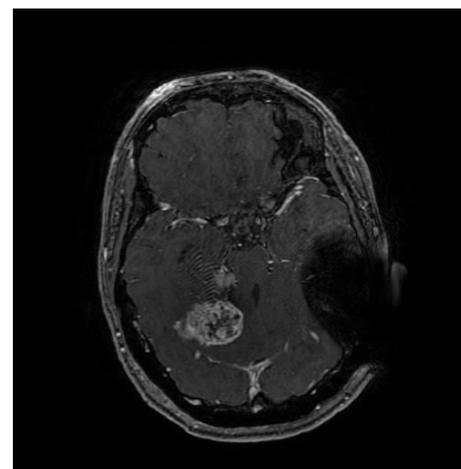
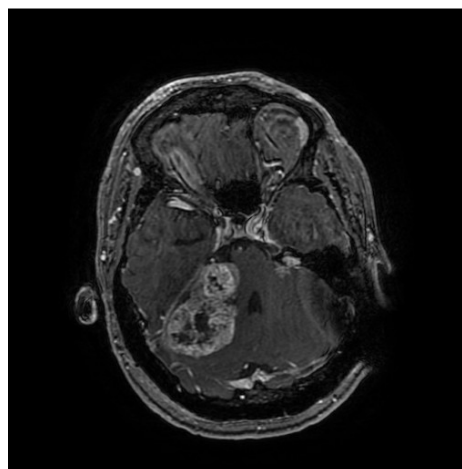
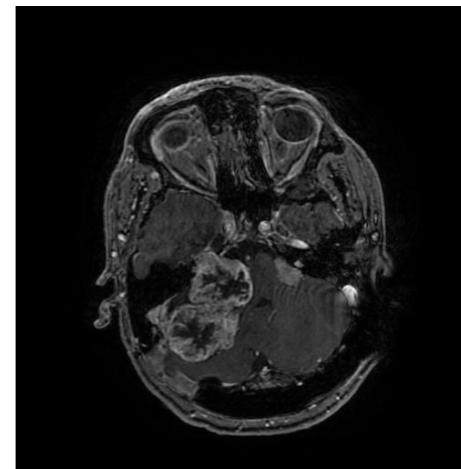
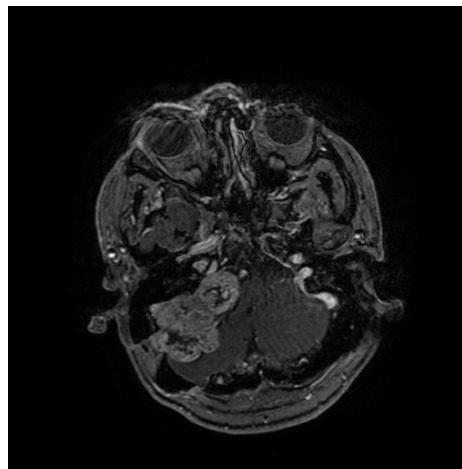
- zralý novorozenec z III. gravidity , 3500g / 50 cm
- po porodu zjištěna **rozštěpová vada** – rozštěp měkkého patra
- PMV: průměrný až mírně opožděný – seděl v 7-8 měsících, chůze po 12. měsíci, první slova v 1.5 roce, dvouslovné věty až ve dvou letech
- ve 2 letech plastická korekce rozštěpové vady
- v 6 letech stomatologická operace
- opakované luxace levého loketního kloubu

# Kazuistika

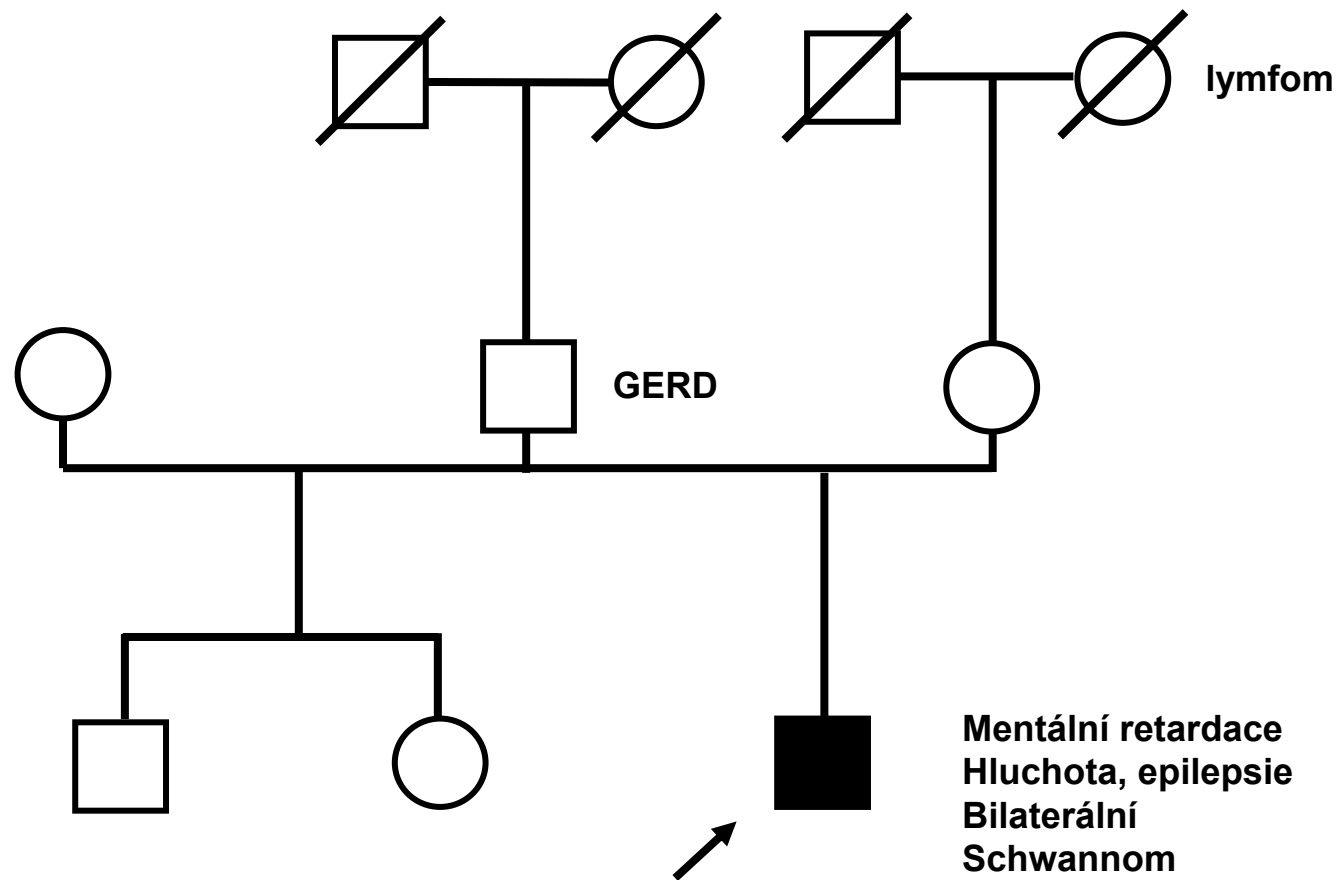
- v dětství opakované infekce v ORL oblasti - rhinitis, sinusitis, otitis media
- po 10. roku života postupná ztráta sluchu – **hypakuse**, těžká nedoslýchavost vpravo, praktická hluchota vlevo (kochleární implantát)
- od 15. roku rozvoj **epilepsie** - záchvaty charakteru zatětí + současně myoklonie DKK, délka jednotlivých záchvatů cca 3 s, denně 1-2x, po záchvatu únava, bolesti hlavy, zavedeny antiepileptika (Lamotrigin) s dobrým efektem
- **mentální retardace**: v popředí výrazná vývojová dysfázie expresivního, částečně i receptivního typu; mentální schopnosti celkově podprůměrné až hraniční, s disharmoniemi, slabší výkony zejména u verbalizovaných úkolů, lepší výkony v testech s jasnou vizuální podporou, dysgrafie

# Nádorové onemocnění u probanda

- ve 25 letech (1/2021) diagnostikován Schwannom akustiku
- nález pouze parciálně resektabilní, terapeutické pokusy 1/2021 vpravo, 3/2021 vlevo neúspěšné
- residuální těžká paresa VII. l. dx



# Rodokmen

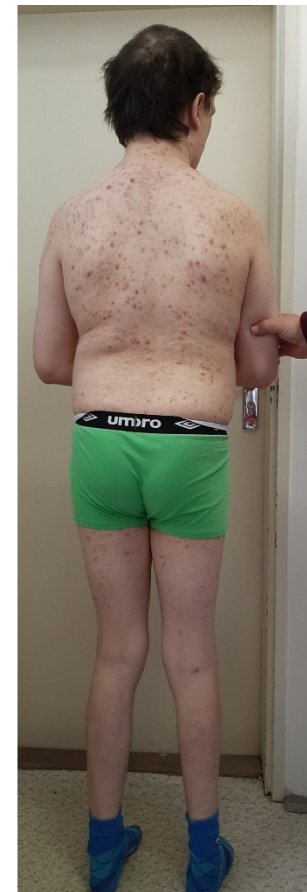


# Rodinná anamnéza

- matka nar. 1960 – prodělala Lymeskou boreliózu  
matka matky- ca lymf. uzlin, zemřela  
otec matky- DM, zemřel
- otec nar. 1971 - žaludeční potíže  
matka otce – žaludeční vředy
- otec otce - DM, potíže s játry
- sourozenci: bratr nar. 1985- astma bronchiale, sestra nar. 1990  
zdráva
- v rodině jinak bez anamnézy vrozených vývojových vad,  
poruchy sluchu, dalších nádorových onemocnění

# Fenotyp pacienta

- výška 160 cm, váha 52 kg
- pyknický habitus, hypotrofie svalstva, zploštělá hrudní kyfóza, zdůrazněna bederní lordóza, genua vaga
- mnohočetné fibromy kůže, pozměněny sekundárním akné, konglomata
- asymetrie obličeje z důvodu parézy faciálního nervu, ptóza víček, divergentní strabismus,, hypertelorismus, epikanty, široký kořen nosu, úzké rty, ušní boltce položené díže a dorsálně rotované, níže položená hranice vlasů
- sekundární pohlavní charakteristiky méně vyvinuté, gynekomastie, zevní genitál mužský





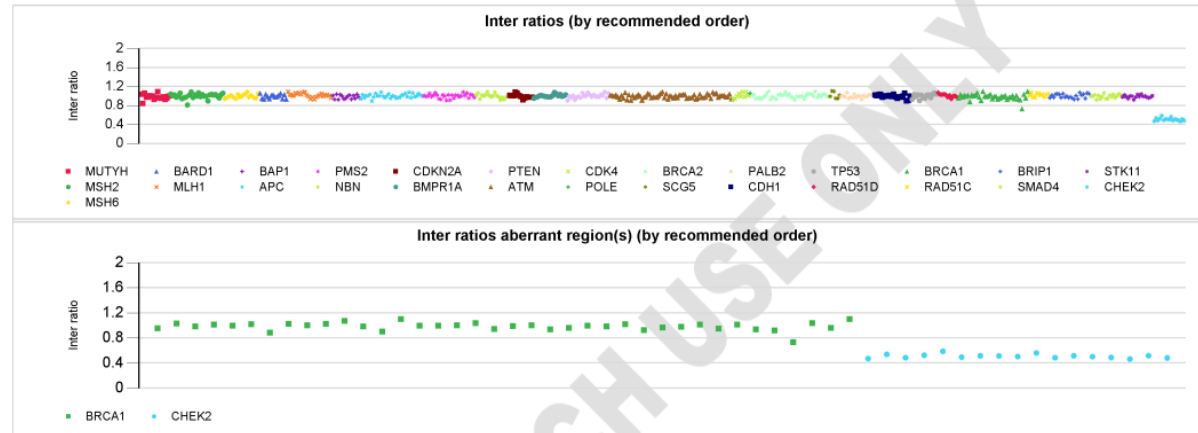
# Vyšetření

- **Karyotyp (1995):** 46,XY; normální mužský karyotyp
- **metabolické nemoci /DPM UDMP VFN Praha/:**  
negativní výsledek screeningových vyšetření
- **syndrom Cornelia de Lange:** /laboratoř pro studium mitochondriálních poruch KDDL, VFN Praha – izoelektrická fokusace séra s následnou imunofixací prokázala fyziol. spektrum sialovaných forem transferinu
- **Rok 2023 - vyšetření BRONCO /NGS sekvenování, nádorový panel/:**  
- **detekce SNV: negativní** sekvenční patogenní varianta pro nádorovou susceptibilitu nenalezena

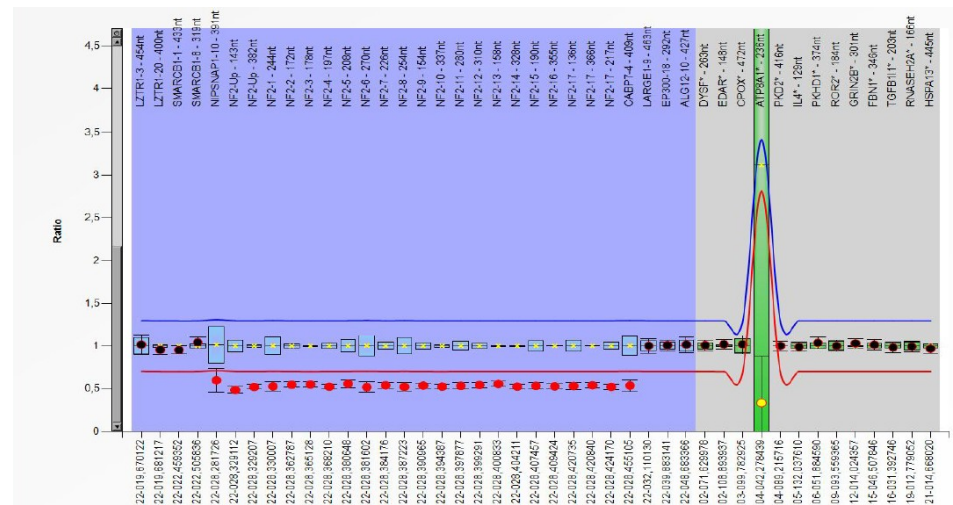
# Vyšetření

- CNV analýza (digitální MLPA): **heterozygotní delece *CHEK2* genu**

## Result Summary

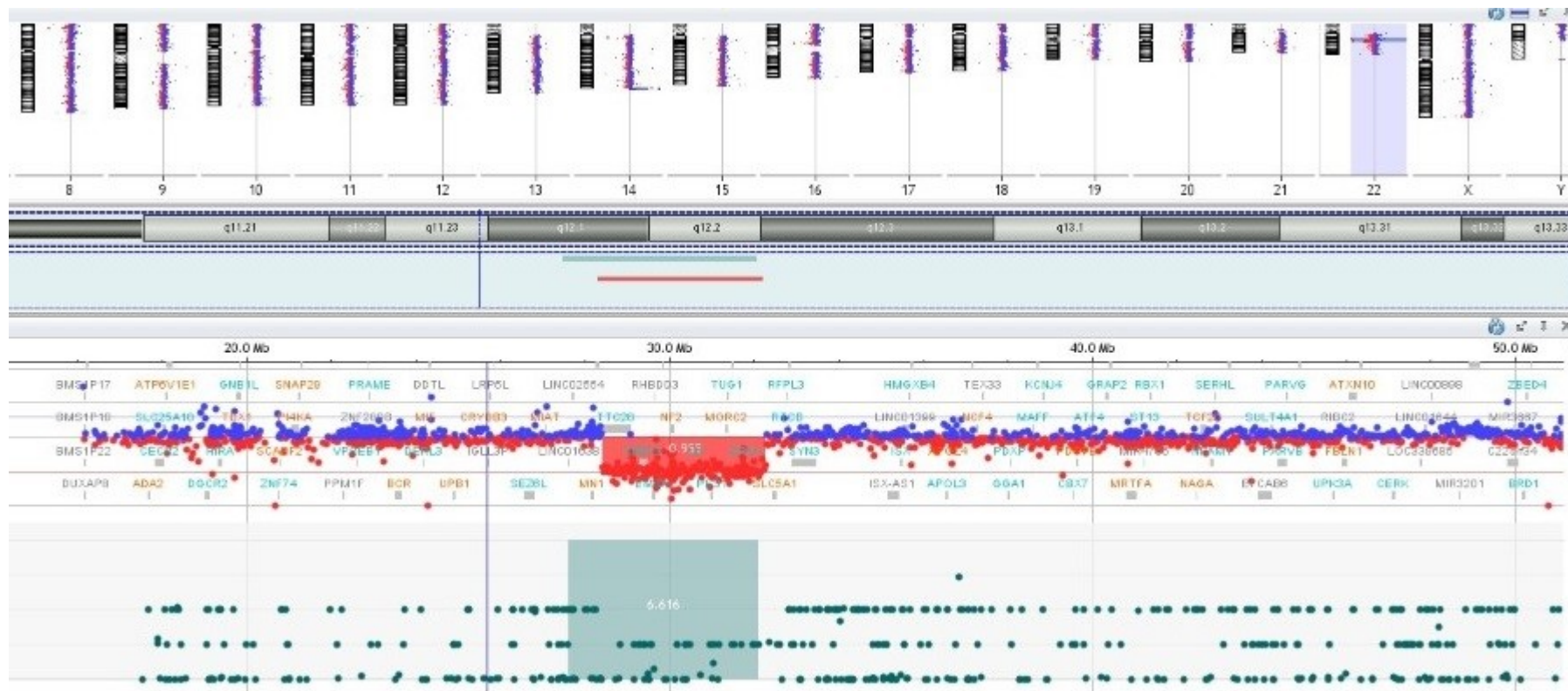


- MLPA analýza: **heterozygotní delece *NF2* genu**

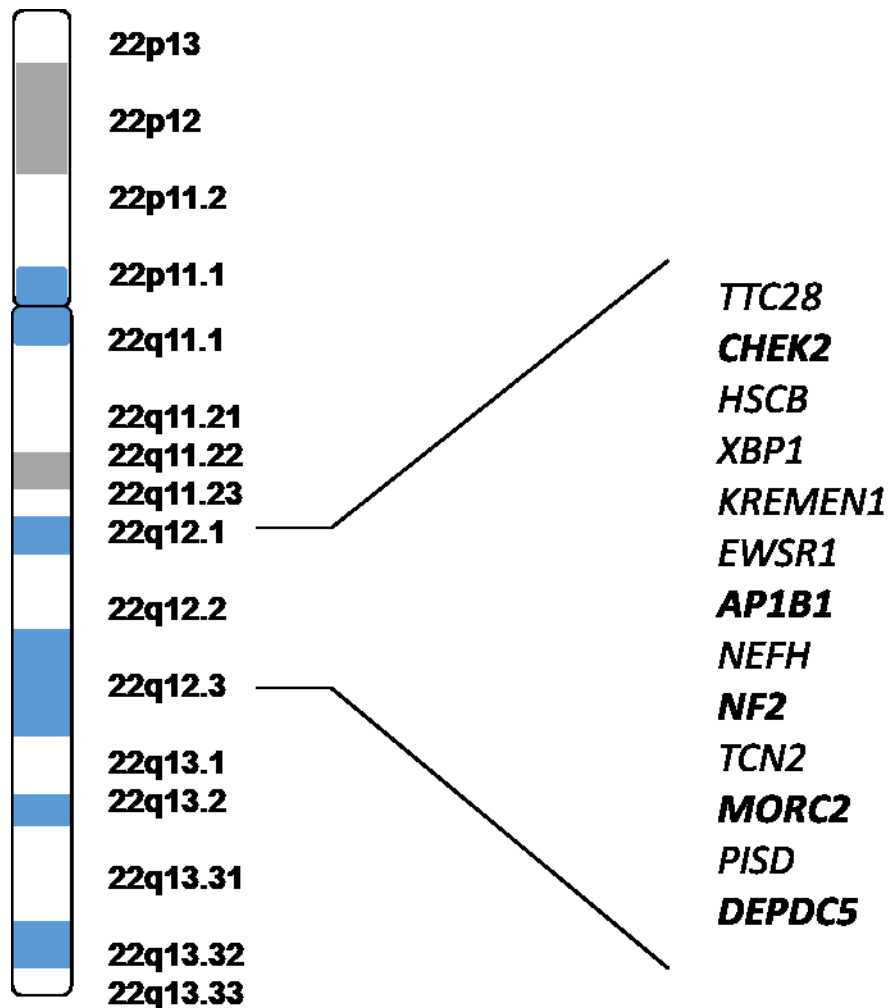


# Vyšetření

- Array CGH: **rozsáhlá delece o velikosti 3.8 Mb: 22q12.1- 22q12.3**



# Rozdíly a shody u publikovaných případů

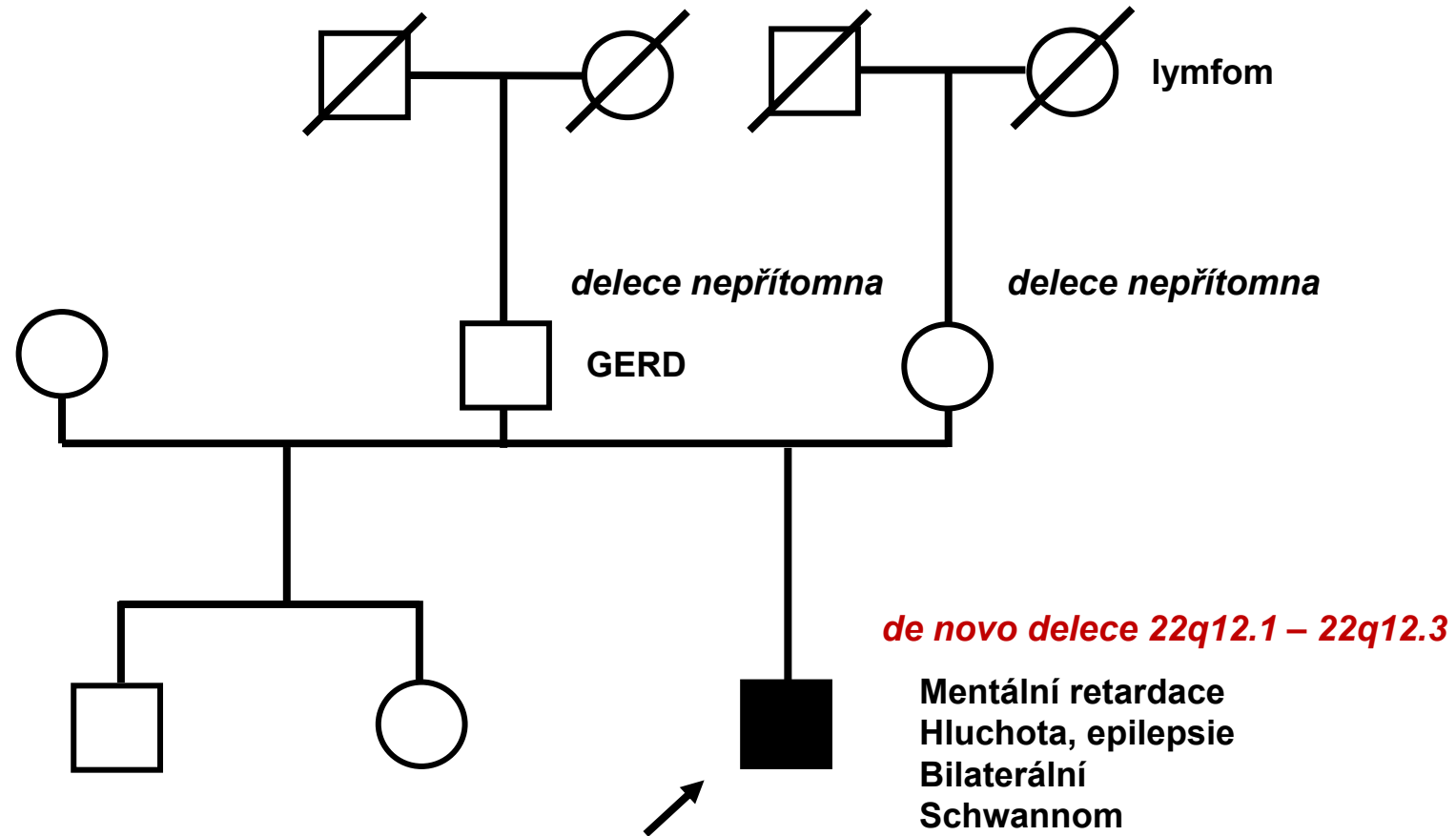


delece *NF2* genu - rozvoj oboustranného Schwannomu – medián nástupu příznaků byl 17-22 let. Penetrance nemocnění >95%.

příznak velkých delecí 22q12 - rozštěp patra, rozštěp vuly, vysoké klenuté patro nebo velofaryngeální insuficience.

delece 22q12 - rozvoj epilepsie. Všichni byli nositeli mutace v genu *DEPDC5* gene (at the distal part of the deletion in present case). Ztrátové mutace *DEPDC5* způsobují familiární fokální epilepsii charakterizovanou opakovanými záchvaty vznikajícími v různých kortikálních oblastech.

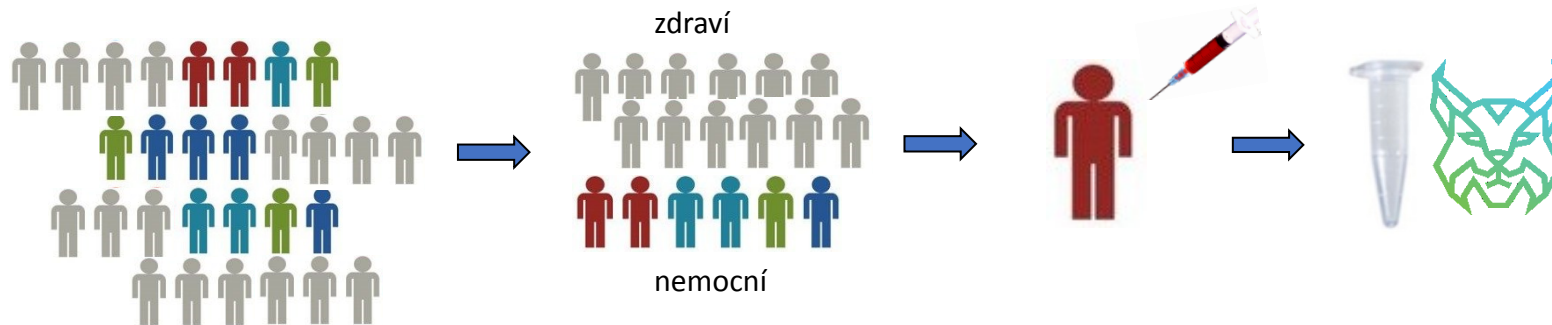
# de novo delece 22q12.1 – 22q12.3



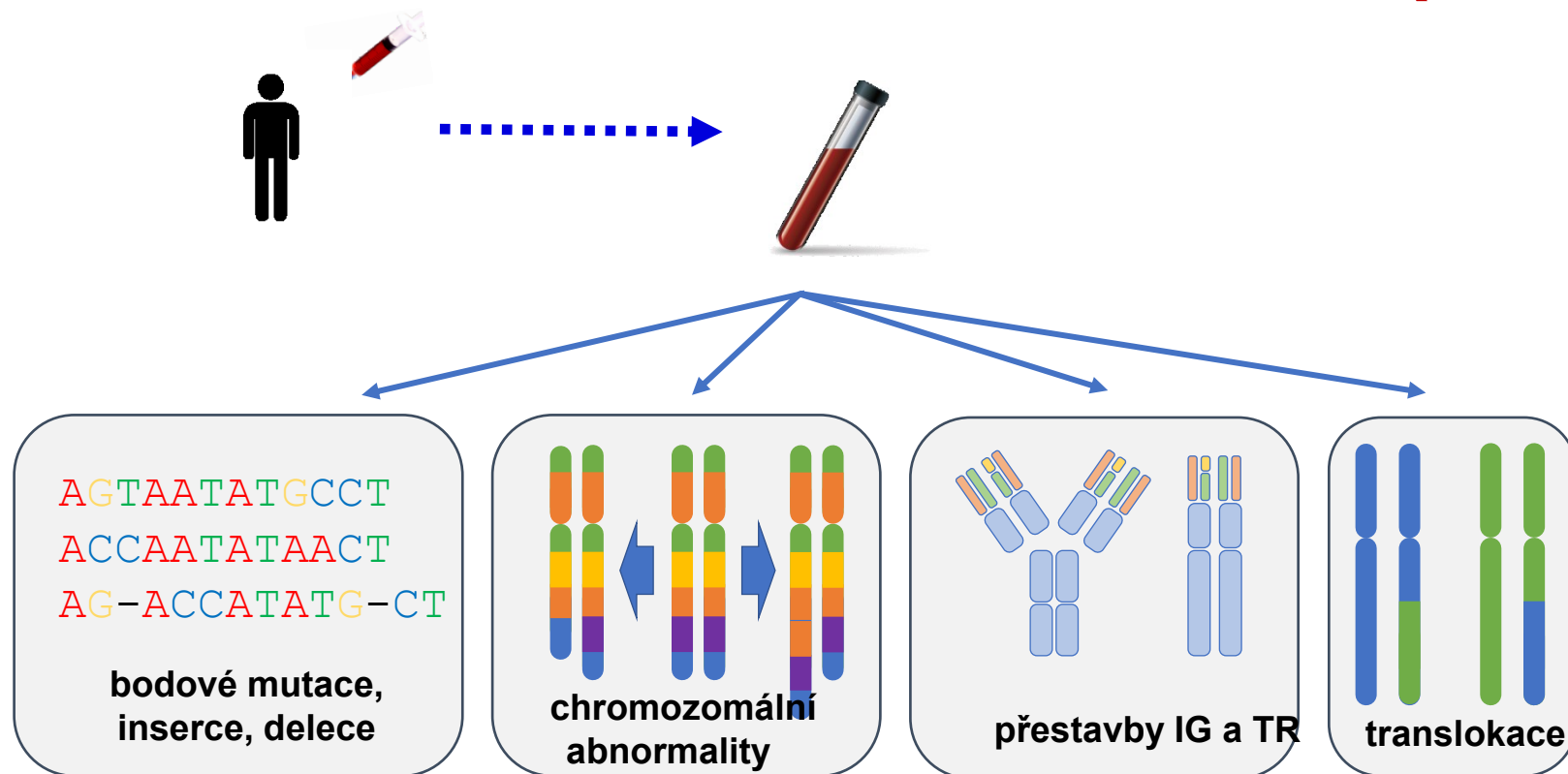
## 2. NGS panel LYNX

### (LYmphoid NeXt-Generation Sequencing) diagnostic tool

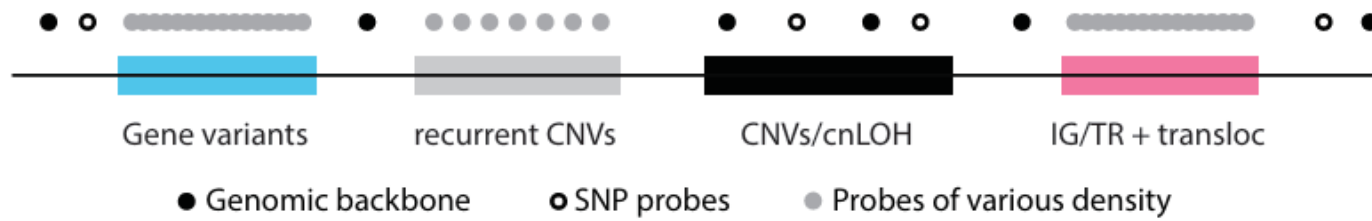
- všestranný nástroj určený pro diagnostické i výzkumné hematologické laboratoře (CLL, ALL, AML, lymfomy)
- umožňuje v jednom testu analyzovat různé typy molekulárních biomarkerů u nejběžnějších typů lymfoproliferativních onemocnění  
(ČR: > 2000 lidí / rok)



# Moderní laboratorní postup (NGS)



Chráněno užitným vzorem (PUV  
2020-37316)



## List of genes

|                                  |                               |                                |                                |                                 |
|----------------------------------|-------------------------------|--------------------------------|--------------------------------|---------------------------------|
| <i>ARID1A</i> <sup>1,4,6,7</sup> | <i>ASXL</i> <sup>1,2</sup>    | <i>ATM</i> <sup>1,5</sup>      | <i>BCL2</i> <sup>1,3-5</sup>   | <i>BCL6</i> <sup>1,3-5</sup>    |
| <i>BIRC3</i> <sup>1,5</sup>      | <i>BRAF</i> <sup>1-4</sup>    | <i>BTG1</i> <sup>1,3</sup>     | <i>CARD11</i> <sup>1,3-5</sup> | <i>CCND1</i> <sup>5</sup>       |
| <i>CD79A</i> <sup>1,3</sup>      | <i>CD79B</i> <sup>1,3,5</sup> | <i>CDKN2A</i> <sup>1-5</sup>   | <i>CDKN2B</i> <sup>2-4</sup>   | <i>CHD2</i> <sup>1</sup>        |
| <i>CREBBP</i> <sup>1-4</sup>     | <i>CRLF2</i> <sup>2</sup>     | <i>CXCR4</i> <sup>3,7</sup>    | <i>EBF1</i> <sup>3</sup>       | <i>EGR2</i> <sup>1</sup>        |
| <i>EP300</i> <sup>1,3,4</sup>    | <i>ETV6</i> <sup>2</sup>      | <i>EZH2</i> <sup>2-4</sup>     | <i>FBXW7</i> <sup>1</sup>      | <i>FLT3</i> <sup>2</sup>        |
| <i>FOXO1</i> <sup>4</sup>        | <i>ID3</i> <sup>3,6</sup>     | <i>IKZF1</i> <sup>2</sup>      | <i>IKZF3</i> <sup>1</sup>      | <i>IL7R</i> <sup>2</sup>        |
| <i>JAK1</i> <sup>1,2</sup>       | <i>JAK2</i> <sup>1,2</sup>    | <i>JAK3</i> <sup>2</sup>       | <i>KMT2A</i> <sup>1,2</sup>    | <i>KMT2D</i> <sup>1,3-5</sup>   |
| <i>KRAS</i> <sup>1,2</sup>       | <i>MEF2B</i> <sup>3-5</sup>   | <i>MGA</i> <sup>1</sup>        | <i>MYC</i> <sup>2,4,6</sup>    | <i>MYD88</i> <sup>1,3-5,7</sup> |
| <i>NF1</i> <sup>1,2</sup>        | <i>NFKBIE</i> <sup>1</sup>    | <i>NOTCH1</i> <sup>1,3-6</sup> | <i>NOTCH2</i> <sup>3,5</sup>   | <i>NRAS</i> <sup>1,2</sup>      |
| <i>NSD2</i> <sup>5</sup>         | <i>P2RY8</i> <sup>3</sup>     | <i>PAG1</i> <sup>2</sup>       | <i>PAX5</i> <sup>1,2</sup>     | <i>PIM1</i> <sup>1,3</sup>      |
| <i>PTEN</i> <sup>2-4</sup>       | <i>PTPN11</i> <sup>1,2</sup>  | <i>POT1</i> <sup>1</sup>       | <i>RB1</i> <sup>1,2</sup>      | <i>RPS15</i> <sup>1</sup>       |
| <i>RUNX1</i> <sup>2</sup>        | <i>SAMHD1</i> <sup>1</sup>    | <i>SETD2</i> <sup>1,2</sup>    | <i>SF3B1</i> <sup>1,5</sup>    | <i>SH2B3</i> <sup>2</sup>       |
| <i>STAT6</i> <sup>3,4</sup>      | <i>TCF3</i> <sup>3,6</sup>    | <i>TNFRSF14</i> <sup>3,4</sup> | <i>TP53</i> <sup>1-6</sup>     | <i>UBR5</i> <sup>5</sup>        |
| <i>XPO1</i> <sup>1</sup>         | <i>ZMYM3</i> <sup>1</sup>     |                                |                                |                                 |



## Rearrangements<sup>1-7</sup>

|           |          |
|-----------|----------|
| IGH locus | 79 genes |
| IGK locus | 45 genes |
| IGL locus | 42 genes |
| TRA locus | 96 genes |
| TRB locus | 64 genes |
| TRG locus | 13 genes |
| TRD locus | 11 genes |



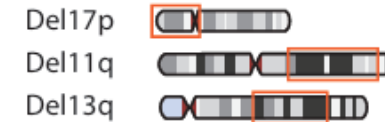
## Translocations<sup>3-6</sup>

|           |          |
|-----------|----------|
| CCND1/IGH | t(11;14) |
| BCL2/IGH  | t(14;18) |
| BCL6/IGH  | t(3;14)  |
| MYC/IGH   | t(8;14)  |



## Recurrent deletions<sup>1,5</sup>

> 300 kb/1 Mb



## Genome wide CNVs<sup>1-7</sup>

> 6 MB across whole genome



## cnLOH<sup>1-7</sup>

according to SNP probe density

| exon-proximal probes

| 3'UTR region included

| introns included

<sup>1</sup>CLL <sup>2</sup>ALL <sup>3</sup>DLBCL <sup>4</sup>FL <sup>5</sup>MCL <sup>6</sup>BL <sup>7</sup>WM



# Nově vytvořený software

lynx.ceitec.muni.cz

Analysis Results

Run56

Summary SNVs CNVs

Log<sub>2</sub> ratio

BAF plot

IGV hg38 chr11 chr11:108,312,426-108,312,500 93 bp

Refseq Genes

| Gene  | Chromosome | Position  | Variant Type     | SNV          | Ref | Alt | Protein Change | Transcript |
|-------|------------|-----------|------------------|--------------|-----|-----|----------------|------------|
| ATM   | 11         | 108312467 | missense_variant | SNV          | A   | C   | p.Lys1992Thr   | Transcript |
| RPS15 | 19         | 1440146   | missense_variant | SNV          | C   | T   | p.Pro80Ser     | Transcript |
| RUNX1 | 21         | 34792308  | missense_variant | SNV          | A   | G   | p.Ser424Pro    | Transcript |
| RUNX1 | 21         | 34792310  | missense_variant | SNV          | C   | G   | p.Arg423Pro    | Transcript |
| EP300 | 22         | 41146776  | missense_variant | SNV          | T   | G   | p.Ser697Arg    | Transcript |
| POT1  | 7          | 124858948 | missense_variant | substitution | AT  | CA  | p.Tyr67Leu     | Transcript |

# Praktické využití



Diagnostika a výzkum: > 400 vzorků

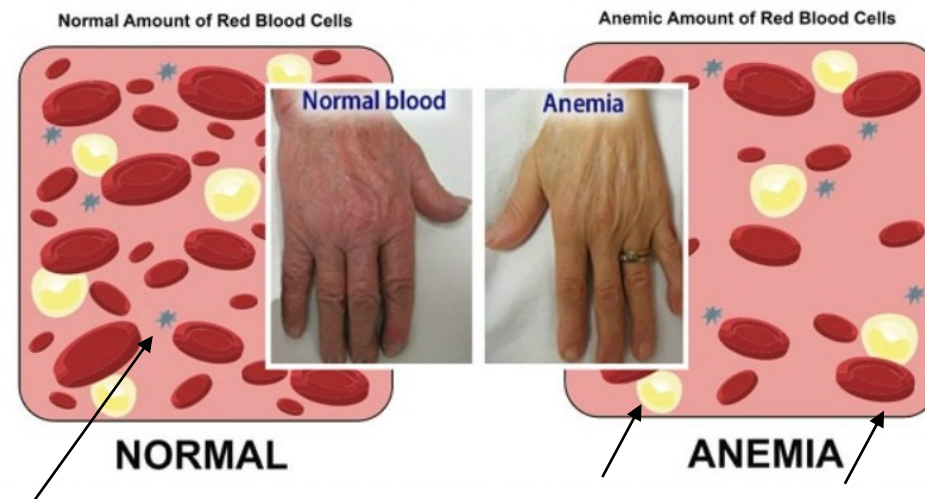
- IHOK FNB: > 100 diagnostických vzorků
- vyšetřované diagnózy: lymfoidní leukémie, lymfomy, mnohočetný myelom, ...
- materiál: krev, kostní dřeň, zamražená tkáň, parafinové bločky, ...
- projekty:
  - klonální evoluce chronické lymfocytární leukémie
  - analýza volné DNA u pacientů s lymfomy
  - a další

### 3. Celoexomové sekvenování (WES) u familiárních onemocnění krvetvorby

- **vzácná a heterogenní onemocnění:** variabilní klinická expresivita  
nekompletní penetrance fenotypu  
různý typ dědičnosti
- obtížné stanovení diagnózy – překryv klinických projevů, mírné formy
- dospělý věk, těžší symptomy - orgánové dysfunkce, postižení tkání, rozvoj syndromů
- přes 300 genů – některé geny predisponují ke vzniku hematologické malignity (AML, ALL, MDS) či solidních nádorů
- molekulární základ – buněčný růst, checkpoint aktivace buněčného cyklu, biogeneze ribozómů, nerovnováha telomer, homologní rekombinace, procesy DNA reparace

# 1. Vrozené anemie

- diagnostika krevního obrazu: MCV (erythrocyty), počet retikulocytů, anemický syndrom
- anemický syndrom:
  - pokles koncentrace Hb < 130 g/l u mužů,  
< 120 g/l u žen
  - slabost, celková únava, bledost, dýchavičnost, tachykardie ...
- 70 genů (produkce a struktura erythrocytů – změny v Hb, diferenciaci a proliferaci erythrocytů, bun. stěny, jejich enzymů)
- nekorelace mezi genotypem a fenotypem
  - AD, AR dědičnost



Krevní destičky

leukocyty

erythrocyty

<https://www.practo.com/health-wiki/anemia-meaning-symptoms-and-types/93/article>

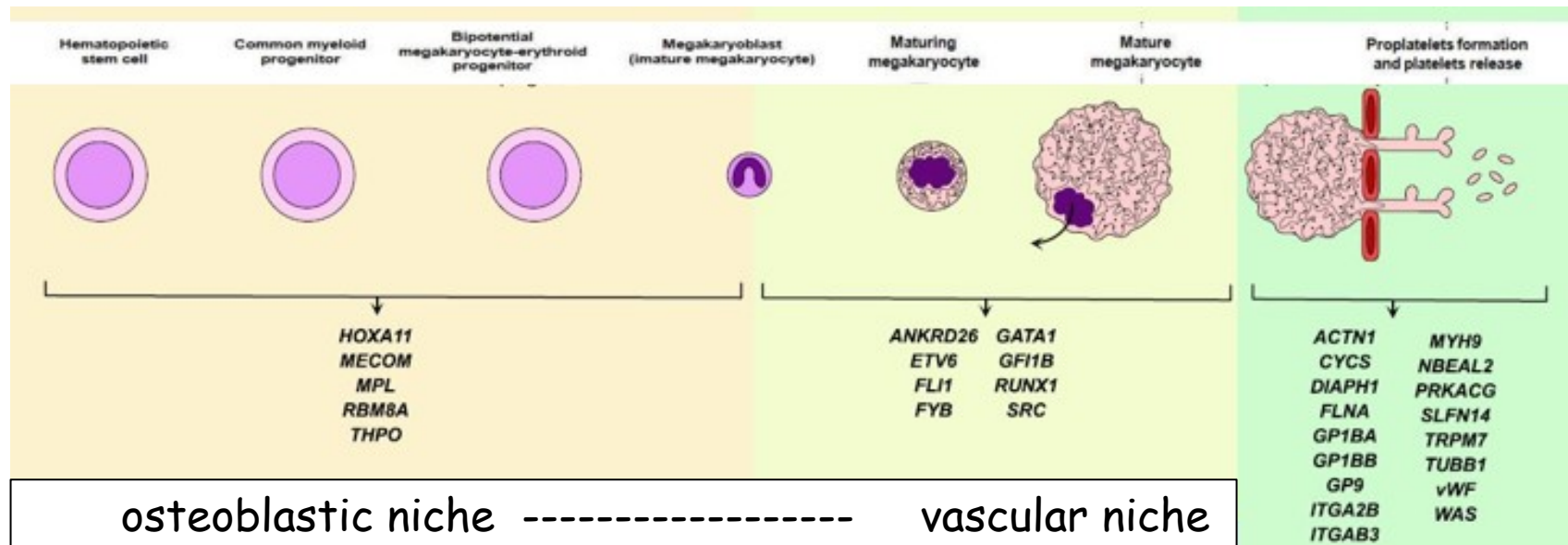
- ✓ *talasémie, Diamond-Blackfan, Fanconi A, Dyskeratosis congenita, aplastická anémie, hereditární sférocytóza, xerocytóza, stomatocytóza*

## 2. Dědičné trombocytopenie (IT)

- Nízká hodnota krevních destiček: mírná  $100 - 150 \times 10^9/L$   
středně těžká  $50 - 100 \times 10^9/L$   
těžká  $< 50 \times 10^9/L$   
→ žádná - mírně zvýšená krvácivost – těžké stavy
- 40 genů: megakaryopoetických a trombopoetických procesech

Diferenciace a dozrávání megakaryocytů

Produkce krevních destiček



- Uvolnění krevních destiček do krevního oběhu, řečiště

### 3. Vrozené neutropenie (CN)

- Krevní obraz: poškozená maturace neutrofilních granulocytů  
(počet neutrofilů  $< 2,0 \times 10^9/l$ )

❖ AD, AR, X-vázaná dědičnost

✓ *sy, Fanconi A, GATA2 syndrom*

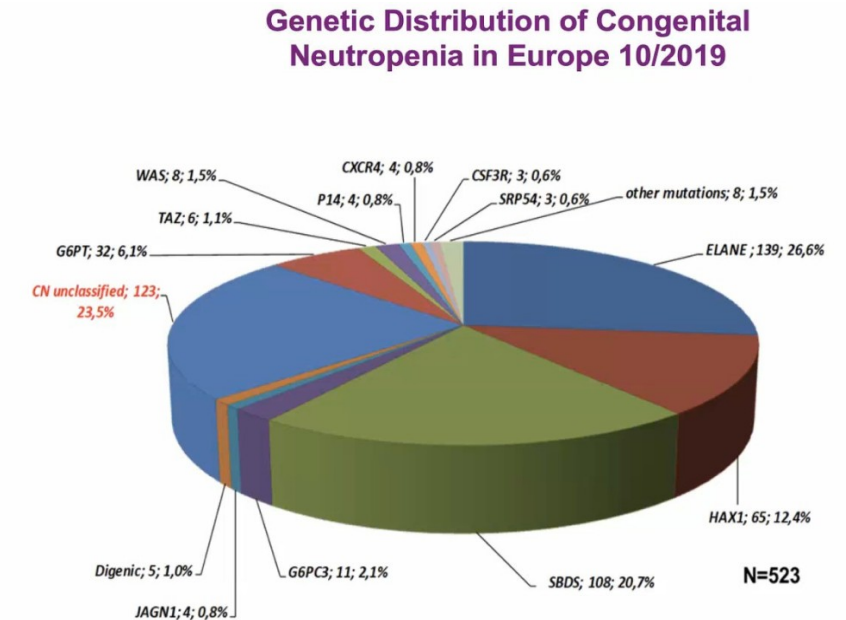
- sklon k infekcím, různé orgánové dysfunkce,
- predispozice k leukémiím (MDS, AML), ke vzniku lymfomů
- asociováno 24 genů:

*ELANE – těžká CN / cyklická CN*

*HAX1 - Kostmannova nemoc (CNS, MR)*

*SBDS - Schwachman-Bodian-Diamond sy*

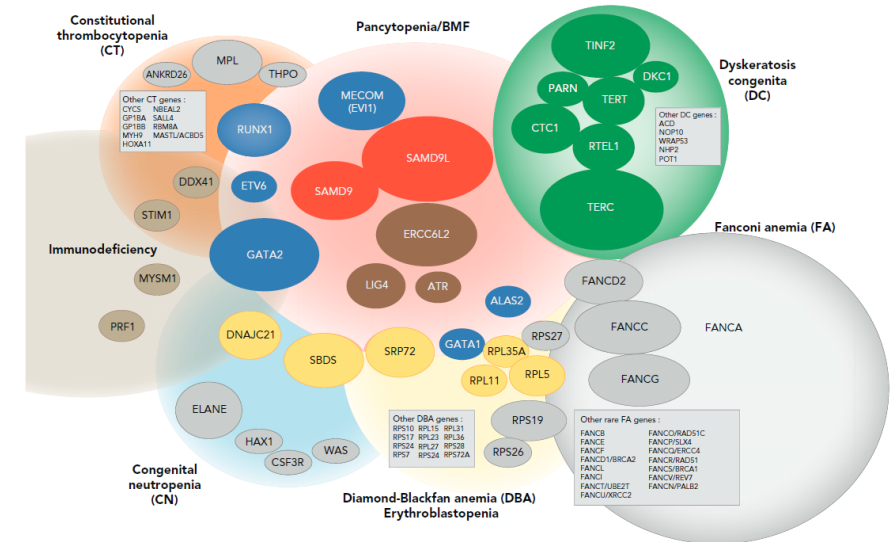
*GATA2 sy – mírná forma CN*



Welte et al., 2020

## 4. Syndromy selhání kostní dřeně (BMFS)

- podmíněné selháním funkce jedné nebo více hematopoetických linií
- *jedna nebo více abnormalit jiných orgánů*
- *zvýšené riziko rakoviny (predispozice k leukémii nebo solidním nádorům - krku a hlavy)*
- *BMFS ≈ dědičné cytopenie - odlišná klasifikace dětství*
- *více než 60 genů*
- ✓ *Fanconi anemie*
- ✓ *Dyskeratosis congenita*
- ✓ *Shwachman-Bodian-Diamond sy*
- ✓ *Diamond-Blackfan anemie,*
- ✓ *těžká CN*



Soulier et al., 2018

# Kudy vede cesta ke celoexomovému sekvenování ?

❖ indikace k vyšetření zárodečných variant: **klinický genetik**

FN Brno - IHOK: prof. MUDr. Michael Doubek, CSc.

MUDr. Jakub Trizuljak

- lékaři z Ústavu lékařské genetiky a genomiky



- žádanka k vyšetření, informovaný souhlas (FNB / CEITEC MU)
- odběr biologického materiálu – **periferní krev** (2 – 5 ml), bukální stěr  
- kostní dřeň, jiný odběr (při rozvoji malignity)
- **výběr pacientů** + sdílení informací o projevech nemoci + výsledky z vyšetření  
„přesný fenotyp → cílený genotyp“  
- minimálně 2 postižení a 2 zdraví jedinci v rodině  
- trio-analýzy



| Fakultní nemocnice Brno   |  | Ústav lékařské genetiky a genomiky  |                                     |
|---|--|---|-------------------------------------|
| <b>ŽÁDANKA K MOLEKULÁRNĚ GENETICKÉMU VYŠETŘENÍ</b>  |  |   |                                     |
| Pacient: Jméno příjmení: _____  |  | Datum narození: _____   |                                     |
| Číslo postižení: _____  |  | Jméno lékaře: _____   |                                     |
| Datum narození: _____   |  | Adresa: _____   |                                     |
| Příjmení: _____   |  | Tel.: _____   |                                     |
| Město: _____  |  | Kontakt na pacienta: _____  |                                     |
| Ostatní diagnózy: _____   |  | Jazyk a podpis: _____   |                                     |
| Kontakt na pacienta: _____  |  | Jazyk a podpis: _____   |                                     |
| Informace o odběru: <input type="checkbox"/> periferní krev (EDTA/heparin) * <input type="checkbox"/> tkáň (nativní/FFPE) * |  | <input type="checkbox"/> kostní dřeň (souběh do ICHT) <input type="checkbox"/> jiná _____ |                                     |
| <input type="checkbox"/> bukální stěr _____   |  |   |                                     |
| Informační souhlas s vyšetřením (NUTNO VYPLNIT):  |  |   |                                     |
| <input type="checkbox"/> Je přitlačeno k této žádance   |  |   |                                     |
| <input type="checkbox"/> Byl zastán (z) lékařem (a) opakovaně vyšetřen  |  |   |                                     |
| <input type="checkbox"/> Je uveden v dokumentaci pacienta (jinak pro pacienty FNK FN Brno)                                  |  |   |                                     |
| <input type="checkbox"/> Pacient NROUMLAZI s anamnézním vyšetřením DNA/RNA/kužlí v rámci výzkumného a vědeckého účelu       |  |   |                                     |
| <b>Požadovaná vyšetření:</b>  |  |   |                                     |
| <input type="checkbox"/> amoniakální hyperamoniemie (AH)  | <input type="checkbox"/> mutace v genu <i>PNB1</i>           | <input type="checkbox"/> somatické  | <input type="checkbox"/> germlinové |
| <input type="checkbox"/> translokace <i>CCND3/IGH</i> - <i>t(12;21)</i> , dg. MCL   | <input type="checkbox"/> mutace v genech <i>BRCA1, BRCA2</i> | <input type="checkbox"/>  | <input type="checkbox"/>            |
| <input type="checkbox"/> translokace <i>BCR/IGH</i> - <i>t(9;22)</i> , dg. FL   | <input type="checkbox"/> mutace v genu <i>ATM</i>            | <input type="checkbox"/>  | <input type="checkbox"/>            |
| <input type="checkbox"/> translokace <i>MFC/IGH</i> - <i>t(8;22)</i> , dg. SL   | <input type="checkbox"/> mutace v genech <i>SPK1, PDCD2</i>  | <input type="checkbox"/>  | <input type="checkbox"/>            |
| <input type="checkbox"/> klonální IG  | <input type="checkbox"/> mutace v genu <i>BCD2</i>           | <input type="checkbox"/>  | <input type="checkbox"/>            |
| <input type="checkbox"/> klonální TR  | <input type="checkbox"/> mutace v genu <i>CDC68</i>          | <input type="checkbox"/>  | <input type="checkbox"/>            |
| <input type="checkbox"/> MMR u pacientů s CLL / MCL / FL *  | <input type="checkbox"/> mutace v genu <i>MYD88</i>          | <input type="checkbox"/>  | <input type="checkbox"/>            |
| <input type="checkbox"/> MMR u pacientů s ALL negativních na <i>BCR/ABL</i> *   | <input type="checkbox"/> mutace v genu <i>KIT</i>            | <input type="checkbox"/>  | <input type="checkbox"/>            |
| <input type="checkbox"/> t(11;22)(p11;p11) (Dlx1-pomociproteinův t(11;22))  | <input type="checkbox"/> jiné geny _____                     | <input type="checkbox"/>  | <input type="checkbox"/>            |
| <input type="checkbox"/> अन्य CGH   | <input type="checkbox"/> banking _____                       | <input type="checkbox"/>  | <input type="checkbox"/>            |
| <input type="checkbox"/> NGS panel pro lymphoproliferace (LNP)  | <input type="checkbox"/> banking _____                       | <input type="checkbox"/>  | <input type="checkbox"/>            |
| <input type="checkbox"/> NGS panel pro amyloidózu s endogenním amyloidinem (BIMONCO 2E)                                     | <input type="checkbox"/> projekt _____                       | <input type="checkbox"/>  | <input type="checkbox"/>            |
| <input type="checkbox"/> WES  | <input type="checkbox"/> Odběrní požadavky vyšetření:        | <input type="checkbox"/>  | <input type="checkbox"/>            |
| <input type="checkbox"/> Odběrní požadavky u rodinného příslušníka  | <input type="checkbox"/> stanovení diagnózy                  | <input type="checkbox"/>  | <input type="checkbox"/>            |
| Jméno probanda: _____   | <input type="checkbox"/> stanovení prognózy onemocnění       | <input type="checkbox"/>  | <input type="checkbox"/>            |
| Státek k probandovi: _____  | <input type="checkbox"/> rozhodnutí o typu léčby             | <input type="checkbox"/>  | <input type="checkbox"/>            |
| Číslo postižené probanda: _____   | <input type="checkbox"/> monitoring onemocnění               | <input type="checkbox"/>  | <input type="checkbox"/>            |
| Jméno probanda: _____   | <input type="checkbox"/> jiné _____                          | <input type="checkbox"/>  | <input type="checkbox"/>            |
| Pro další informace (vyplňte laboratorně):  |  | Druhá informace (diagnóza, terapie):  |                                     |
| Datum a čas příjmu vzorku: _____  |  | _____   |                                     |
| Příjme: _____   |  | _____   |                                     |
| Číslo vzorku v úst. _____   |  | _____   |                                     |
| Zpracoval (jméno a příjmení): _____   |  | _____   |                                     |
| Převzal (jméno a příjmení): _____   |  | _____   |                                     |
| Vydávkem vyšetření: _____   |  | _____   |                                     |
| 2-1842217   |  | * metodou ze Stránské   |                                     |



# Workflow pro metodiku WES

- izolace DNA



(dostupní koncentrace od 100 ng)

- příprava sekvenační knihovny WES: KAPA HyperCap workflow 3.3 (Roche)

- více vzorků najednou

- laboratoř ~ 3 dny



[www.sequencing.roche.com](http://www.sequencing.roche.com)



[www.sequencing.roche.com](http://www.sequencing.roche.com)

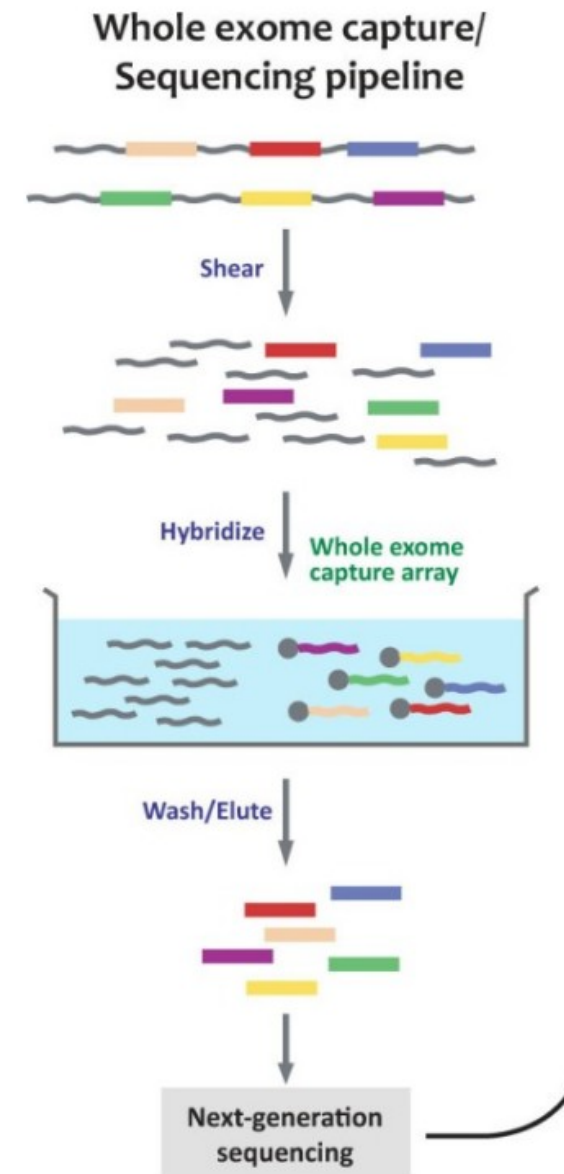
- vlastní proces sekvenování – CF CEITEC:

sekvenátor „NextSeq 500“

- hloubka čtení 30 x (pro 90 % dat)

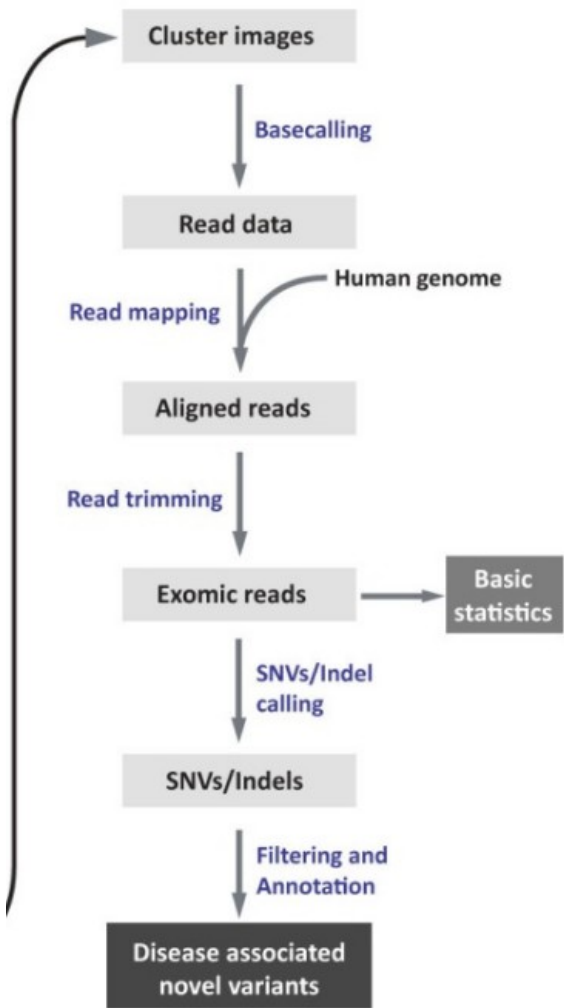


[www.nextseq500.illumina.com](http://www.nextseq500.illumina.com)



# Bioinformatická analýza WES dat

## Computational pipeline



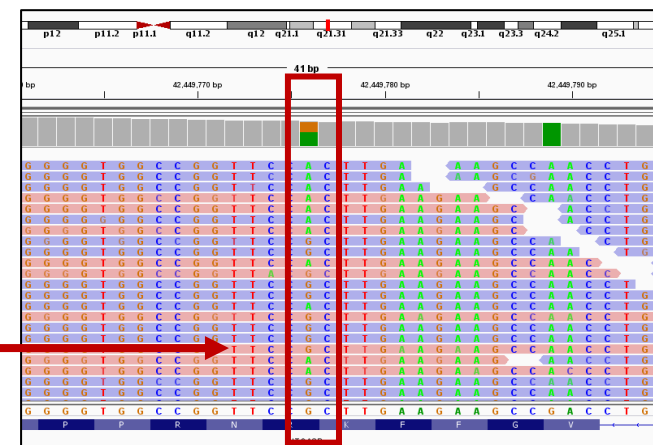
Gerald Goh et al., 2018

- získ hodnotitelných genových dat – soubor dat ve formátu MS Excell

1/ jednonukleotidové záměny/krátké del, inserce (SNV/ indel)

- DESÍTKY až STOVKY tisíc variant

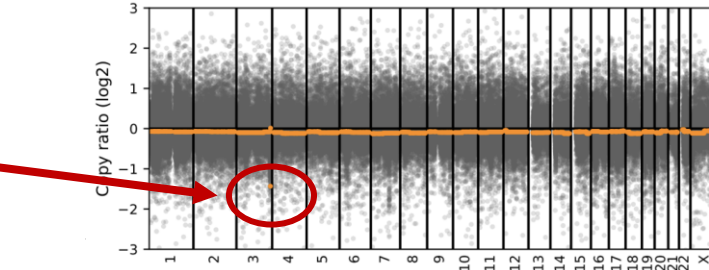
|                  |          |          |               |             |                          |                      |
|------------------|----------|----------|---------------|-------------|--------------------------|----------------------|
| 32541401         | A        | C        | exonic        | TMEM398     | nonsynonymous SNV        | TMEM398:NM_018       |
| 34066567         | G        | A        | exonic        | CSMD2       | nonsynonymous SNV        | CSMD2:NM_001283      |
| 35227466         | A        | C        | exonic        | GJB4        | nonsynonymous SNV        | GJB4:NM_153212:e     |
| 35334404         | T        | G        | exonic        | DLGAP3      | nonsynonymous SNV        | DLGAP3:NM_00108      |
| 36752687         | A        | G        | exonic        | THRAP3      | nonsynonymous SNV        | THRAP3:NM_00132      |
| 39775303         | A        | G        | exonic        | MACF1       | nonsynonymous SNV        | MACF1:NM_012090      |
| 42660679         | C        | A        | exonic        | FOXJ3       | nonsynonymous SNV        | FOXJ3:NM_0011988     |
| 46751369         | G        | A        | exonic        | LRR41       | nonsynonymous SNV        | LRR41:NM_006369      |
| 47717094         | G        | A        | exonic        | STIL        | nonsynonymous SNV        | STIL:NM_0104816      |
| 54433431         | AA       | -        | exonic        | LRR42       | frameshift deletion      | LRR42:NM_052940      |
| 67390438         | C        | T        | exonic        | WDR78       | nonsynonymous SNV        | WDR78:NM_024763      |
| 87038327         | C        | T        | exonic        | CLCA4       | nonsynonymous SNV        | CLCA4:NM_0121283     |
| 100661842        | T        | C        | exonic        | DBT         | nonsynonymous SNV        | DBT:NM_001918:ex     |
| <b>111861985</b> | <b>A</b> | <b>G</b> | <b>exonic</b> | <b>CHIA</b> | <b>nonsynonymous SNV</b> | <b>CHIA:NM_00112</b> |
| 143767778        | T        | A        | exonic        | PPIAL4G     | nonsynonymous SNV        | PPIAL4G:NM_00112     |
| 144853248        | G        | C        | exonic        | PDE4DIP     | nonsynonymous SNV        | PDE4DIP:NM_00135     |
| 145562938        | G        | A        | exonic        | ANKRD35     | nonsynonymous SNV        | ANKRD35:NM_0012      |
| 146398387        | G        | C        | exonic        | NBPF12      | nonsynonymous SNV        | NBPF12:NM_00127      |
| 146398425        | C        | A        | exonic        | NBPF12      | nonsynonymous SNV        | NBPF12:NM_00127      |
| 146400208        | A        | C        | exonic        | NBPF12      | nonsynonymous SNV        | NBPF12:NM_00127      |



Výstup z IGV (Intergrative Genomics Viewer)

2/ varianty v počtu kopií – rozsáhlé delece, inserce (CNV)

|      |           |           |             |            |             |              |              |             |              |             |             |             |            |            |         |             |            |            |
|------|-----------|-----------|-------------|------------|-------------|--------------|--------------|-------------|--------------|-------------|-------------|-------------|------------|------------|---------|-------------|------------|------------|
| chr3 | 196217828 | 1,97E+08  | SLC51A      | CCDS3315.1 | clinvar     | rev          | PCTY1A       | TCTEX1D2    | -1.38856     | 14.52       | 191         | 172.9       | q29        |            |         |             |            |            |
| chr3 | 197297755 | 19808877  | BDNF        | CCDS1335.1 | RUCR4       | PTTDL2       | CCDS3328.1   | CCDS3380.1  | LPH4         | CCDS3311.1  | RPL5A       | -0.048963   | 30.4774    | 106        | 97.1961 | q9          |            |            |
| chr4 | 18500     | 49336424  | CCDS75075.1 | ZNF595     | CCDS75076.1 | ZNF718       | CCDS75078.1  | ZNF712      | CCDS19111.1  | ZNF412      | ZNF72       | -0.079642   | 31.617     | 315        | 3010.43 | p16.3p16    |            |            |
| chr4 | 49708600  | 19024055  | DCUN1D4     | LRR66      | RCV00276015 | RCV000594412 | SGCB         | CCDS3489.1  | SPATA18      | CCDS47053.1 | USI         | -0.108915   | 26.924     | 7906       | 7143.06 | p11q11q1    |            |            |
| chr5 | 10500     | 47300085  | PLEKHG48    | LRR148     | CCDC127     | CCDS3853.1   | CCDS7992.1   | CCDS58941.1 | POC6D        | CCDS58940.1 | LCI         | -0.0736269  | 29.6285    | 2545       | 2302.87 | p15.33p15   |            |            |
| chr5 | 49610214  | 18147759  | EMB         | CCDS3954.1 | CCDS4949.1  | PARP8        | ISL1         | PELUTGAI    | ITGA2        | CCDS3957    | 3clinvar    | rev         | MOS25      | -0.100991  | 27.5637 | 10044       | 9147.2     | q11.3q11.3 |
| chr6 | 176244    | 5925454   | CCDS4468.1  | DUSP22     | BP4         | EXOC2        | US18         | FOXF2       | RCV000171256 | CCDS4474.1  | GMD5        | MYL4        | CCD        | -0.005845  | 27.2067 | 6781        | 6249.17    | p25.3p25.2 |
| chr6 | 60230434  | 170745479 | MTRNR19     | XHDR852    | FXBP1       | LSN          | CCDS4984.1   | PTPAAL      | CCDS4986.1   | PHF3        | EVS         | CCDS47445.1 | R          | -0.0911381 | 27.2154 | 6955        | 6269.88    | q11.3q11.1 |
| chr7 | 10500     | 6555796   | CCDS47522.1 | 3clinvar   | rev         | FAM20C       | RCV000408633 | W12         | 237811.1     | POGFA       | CCDS4       | -0.123441   | 25.2854    | 4272       | 3828.5  | p22.3p22.2  |            |            |
| chr7 | 65874074  | 159335473 | VKORC1L1    | CCDS5529.1 | LGSUB       | CCDS5530.1   | RCV000178859 | CCDS47597.1 | CCDS5531.1   | CRCP        | TP51        | -0.107266   | 26.3437    | 8597       | 7788.01 | q11.21q11.1 |            |            |
| chr8 | 60500     | 46946270  | ORAF21      | ZNF396     | CCDS3952.1  | FRX25        | CCDS3953.1   | TDRP        | CCDS47759.1  | LRCH1       | DLAGAP2     | RCV000      | -0.082049  | 27.422     | 3415    | 3072.95     | p23.3p23.1 |            |
| chr8 | 47262335  | 142678136 | CCDS43737.1 | SPOB       | CCDS4480.1  | CCDS4481.1   | CCDS4482.1   | PRKDC       | MCHM         | RCV00030599 | RC          | -0.109296   | 27.4259    | 5936       | 3350.37 | q11.21q11.1 |            |            |
| chr9 | 14813     | 45151808  | WASHC1      | F0XD4      | CCDS9438.1  | CBWD1        | DOCK4        | RCV00050034 | CCDS9440.1   | ZKAN1       | CCDS6441.1  | L           | -0.0789011 | 27.2937    | 2945    | 2663.47     | p24.3p24.2 |            |
| chr9 | 60519058  | 138122007 | SPATA31A5   | SPATA31A7  | CH17        | ZNF619       | 1            | ANKRD20A4   | FOXDL5       | CBWD5       | CCDS75844.1 | FOXDL4      | -0.093655  | 27.3844    | 7835    | 7171.58     | q121q12    |            |



Výstup z CNVkit

# Hledání variant pro dané onemocnění



*Která varianta je ta, která způsobí nemoc?*

→ komparativní přístup individuálně nastavený dle případu rodiny

- **segregační analýza** v rodinách
  - porovnání variant postižených pacientů a zdravých příbuzných
- **předpoklad dědičnosti** – autozomálně dominantní
  - autozomálně recesivní
  - X-vázaná
  - varianta „*de novo*“
- **virtuální panely genů:**
  - 1/ virtuální panely podle diagnózy
  - 2/ klinický exom (téměř 7000 genů)
- hodnocení v rámci **celého exomu** (20 000 genů)

Virtuální panel genů pro FHD (668 genů)

|           |         |          |           |          |        |          |          |         |           |        |          |         |           |
|-----------|---------|----------|-----------|----------|--------|----------|----------|---------|-----------|--------|----------|---------|-----------|
| ABCA12    | CLEC1B  | GRB2     | NAPG      | PRKG2    | SNAP25 | VPS39    | ACPS5    | CLCN7   | GUCY1A1   | LRBA   | PHGDH    | RREB1   | TBL1XR1   |
| ABCB4     | CLEC4F  | GRK5     | NBEA      | PTEN     | SNAP29 | VPS41    | ADA      | CLPB    | HEATR3    | LSM11  | PIGA     | RYR1    | TBX1      |
| ABCC4     | CNO     | GRK6     | NFE2      | PTGIR    | SNAPIN | VPS4B    | ADA2     | COG1    | HELLPAR   | LZTR1  | PKHD1    | SALL4   | TBXS1     |
| ABCG5     | CSK     | GUCY1A3  | NIPSNAP3A | PTGS1    | SNX1   | VPS52    | ADAR     | COG4    | HIRA      | MAOD   | PLAU     | SAMM1   | TCIRG1    |
| ACSL4     | CTTN    | GUCY1B3  | NOX1      | PTK2     | SRA1   | VPS8     | ADHS     | COG6    | HLA-B     | MAGT1  | PLEKH1   | SARS2   | TCN2      |
| ACVRL1    | DAAM1   | HOOK3    | NRG3      | PTPN1    | SRF    | WDR66    | AFG2A    | COL4A5  | HLA-DQA1  | MAR2K1 | PLOD3    | SASH3   | TET2      |
| ADCY3     | DIAPH2  | HPS1     | NSF       | PTPN12   | STOM   | ZFPM1    | AGK      | COMT    | HLA-DQB1  | MARS1  | PML      | SAT1    | TFRC      |
| ADCY6     | DIAPH3  | HTR2A    | NXF1      | PTPN18   | STX2   | ATG2B    | ALG12    | CORIN   | HLA-DRB1  | MECP2  | PM22     | SCD5    | TGFB1     |
| ADCY7     | DNAH11  | CHD3     | P2RX1     | PTPN2    | STX1   | ATM      | ALG8     | CR2     | HLCS      | MED12  | PNP      | SCARB2  | THBD      |
| ADORA2B   | DNM1L   | INPP5D   | P2RY1     | PTPN6    | STX4   | BLM      | AMN      | CTLA4   | HMGCL     | MGAT2  | POLRMT   | SCN10A  | TLR7      |
| ADORA2A   | DNM2    | ITGA5    | P2RY13    | PTPN7    | STX6   | CDAN1    | ANKRD11  | CTNBL1  | HMOX1     | MMAB   | POMP     | SCN11A  | TLR8      |
| ADORA2B   | DNM3    | ITGB1    | PADI2     | PTPN9    | STX7   | CEBPA    | APOE     | CUBN    | HP53      | MMAB   | PIL1     | SCN9A   | TMEM165   |
| ADRBK1    | EFNB1   | ITPR1    | PDE2A     | PTPRA    | STXB1  | DDX41    | ARHGAP31 | DCLRE1C | HP55      | MMACHC | PRDX1    | SEC24C  | TNFAIP3   |
| AK3       | EPHA4   | KIAA1109 | PDE3A     | PTPRC    | STXB3  | EPICAM   | ARHGAP1  | DEF6    | HP56      | MMUT   | PRF1     | SF3B1   | TNFRSF13B |
| AKT1      | EPHB1   | KIAA2018 | PDE4D     | PTPRJ    | STXB4  | GSKIP    | ARPC1B   | DGKE    | HSCB      | MOGS   | PRIM1    | SH2D1A  | TNFRSF11  |
| AKT2      | ERG     | LAIR1    | PDE5A     | RAB27A   | STXB5L | HAX1     | ARVCF    | DGUOK   | ICOS      | MPIG6B | PSAP     | SKIC2   | TNFSF11   |
| ALOX12    | EXOC1   | LPAR1    | PDPK1     | RAB27B   | STXB6  | CHEK2    | ASAH1    | DHFR    | IFIH1     | MKAS   | PSMB4    | SKIC3   | TNFSF12   |
| ANKRD12   | F2R     | LTBP1    | PDZD3     | RAB38    | SUZ12  | MLH1     | ASXL1    | DLL4    | IFNG      | MS4A1  | PSMB8    | SLC19A2 | TNFSF4    |
| ANKRD18A  | FZRL3   | LY6GGF   | PDZK1     | RAB4A    | SYK    | MSH2     | ATP6AP1  | DNAJC21 | IFNGR1    | MTHFD1 | PSMB9    | SLC20A2 | TNIP1     |
| ANKRD18B  | FARP2   | LYN      | PEAR1     | RABGGTA  | SYTL3  | MSH6     | ATP6V1B2 | DNASE1  | IGHG1     | MTOR   | PSTPIP1  | SLC35A1 | TOM1      |
| ANKRD33   | FCER1G  | MAP2K2   | PECAM1    | RAC1     | SYTL4  | NBS1     | ATP7B    | DOCK2   | IKZF5     | MVK    | PTPN22   | SLC37A4 | TPP2      |
| AP3D1     | FERM1T1 | MAP2K4   | PGM3      | RAI1     | TAL1   | NF1      | ATRX     | DOCK6   | L110      | MYORG  | PKK      | SLC39A7 | TREX1     |
| AP3M1     | FGD3    | MAP3K9   | PHOX2A    | RAP1B    | TAOK1  | PAX5     | BANK1    | DZD1P1  | IL6ST     | MYSM1  | RAG1     | SLC46A1 | TRNT1     |
| AP3S1     | FGR     | MAPK1    | PIK3CA    | RAP1GAP  | TEC    | PMS2     | BCR      | EFL1    | L7R       | NAA10  | RAG2     | SLC7A7  | TTC7A     |
| APC       | FHOD1   | MAPK13   | PIK3CB    | RAP1GAP2 | TGFBR3 | RBBP6    | BLK      | ELF4    | IRAK1     | NABP1  | RARA     | SLF2    | TUBA8     |
| ARHGAP1   | FLII    | MAPK14   | PIK3R1    | RAP1GDS1 | TLN1   | RECQL2   | BRAF     | ENPP1   | IRF2BP2   | NBN    | RASA2    | SMARCC1 | TNYS      |
| ARHGAP17  | FMN1L   | MAPK8    | PIK3R3    | RGSI0    | TLR2   | RECQL4   | BTNL2    | EOGT    | IRF5      | NFKB1  | RASGRP1  | SMARCD2 | UBA1      |
| ARHGAP32  | FMNL3   | MSD1     | PIK3R5    | RGSI8    | TMCC2  | RPL23    | C3       | EPB42   | IRF8      | NFKB2  | RBP1     | SMCS    | UBE2L3    |
| ARHGAP6   | FRMPD1  | MKL1     | PLA2G4C   | RGSI9    | TPM1   | RPL36    | C4A      | EPH2    | ITGAM     | NHE11  | RECQL    | SMPP1   | UF01      |
| ARHGDI8   | FYB     | MLK1     | PLCB2     | RGS20    | TPM4   | RPS15    | C4B      | ERBB3   | ITK       | NIPBL  | REL      | SNX10   | UNC13D    |
| ARHGDI8   | FYN     | MLPH     | PLCB3     | RG59     | TRAF4  | RPS27A   | CA2      | ERCC6L2 | IVD       | NLR4   | RFX5     | SOCS1   | UCRFS1    |
| ARHGFE12  | GDJ2    | MMP17    | PLCG2     | RHOA     | TREML1 | SLC25A38 | CALR     | ESCO2   | JAM2      | NLRP3  | RFXANK   | SOCS1   | URO5      |
| ARHGFE3   | GFI1    | MNX1     | PLDN      | RHOC     | TRPM7  | SRP72    | CASP10   | FARS2   | JAZF1     | NO53   | RFXAP    | SOCS2   | USB1      |
| ARRB1     | GNAI2   | MRRP54   | PPP1CA    | RHOF     | TTC37  | STN1     | CD109    | FAS     | KARS1     | NPM1   | RIT1     | SP110   | USP18     |
| ASPN      | GNAI3   | MUC1B    | PPP1CB    | ROCK1    | TFE2   | F2       | CD19     | FASLG   | KCNJ1     | NRAS   | RNASEH2A | SPP1    | VPS45     |
| BAK1      | GNAI1   | MUC2     | PPP1CC    | ROCK2    | TUBA3C | F5       | CD40LG   | FCGR2B  | KCNM4     | NSUN2  | RNASEH2B | SPRED2  | WARS2     |
| BCL2L1    | GNAI2   | MUTED    | PPP1R12C  | SCAMP2   | UNC13A | MTHFR    | CD46     | FCGR2C  | KDM6A     | NUMA1  | RNASEH2C | SRP54   | WDR1      |
| BET1L     | GNAQ    | MYB      | PPP1R12C  | SCAMP5   | UNC13B | PROC     | CD55     | FCGR3B  | KIAA0319L | OCLN   | RNU7-1   | SRSF2   | WFS1      |
| BLOC1S1   | GNAZ    | MYH10    | PPP1R14A  | SCFD1    | VAMP2  | PROS1    | CD81     | FIP1L1  | KIF15     | OCLR   | RPL18    | STAT1   | WIPF1     |
| BLOC1S2   | GNB2    | MYH13    | PPP1R2    | SELP     | VAMP3  | F8       | CDCA40   | FLT1    | KIT       | OSTM1  | RPL35    | STAT2   | XIAP      |
| BLOC1S4   | GNB3    | MYL9     | PRKACA    | SERPINE2 | VAMP7  | F9       | CDCA42   | FOCAD   | KMT2D     | OTUD5  | RPL8     | STAT3   | XPR1      |
| BMP4      | GNB5    | MYLK     | PRKACB    | SERPINE2 | VAMP8  | F11      | CFB      | FOXP3   | KRAS      | P4HA2  | RPL9     | STAT4   | ZAP70     |
| BTBD9     | GNGL1   | MYLK2    | PRKAR2A   | SLC35D3  | VAV1   | ABCA1    | CFH      | FYB1    | LACC1     | PCCA   | RPS14    | STAT5B  | ZBTB16    |
| C14orf133 | GNGL2   | MYO1B8   | PRKCA     | SLC3A3R1 | VAV2   | ABCC6    | CFHR1    | GALC    | LAR5      | PCCB   | RPS15A   | STING1  | ZNF1      |
| C19orf55  | GNGL3   | MYO3A    | PRKCB     | SLC3A3R2 | VAV3   | ABCD4    | CFHR3    | GBA1    | LCK       | PDCD1  | RPS20    | STOX1   |           |
| C20orf42  | GNFS    | MYO5A    | PRKCO     | SMAD1    | VPS11  | ABL1     | C1F1     | GIMAP5  | LBR       | PDGF8  | RPSA     | STFB    |           |
| C6orf25   | GP5     | MYO5B    | PRKDI     | SMAD6    | VPS16  | ACAD9    | CITA     | GNA14   | LIPA      | PDGFRB | RAS      | TALDO1  |           |
| CD226     | GRAP2   | NAPA     | PRKG1     | SNAP23   | VPS18  | ACAT1    | CISD2    | GNAS    | LMBRD1    | PEPD   | RAS2     | TBC1D24 |           |



# Hodnocení a klasifikace WES variant

- **vybrané varianty** hodnotíme v populaci: GmoAD, ClinVar, A-C-G-T české genomy (<https://database.acgt.cz/>)
- **in silico analýza** variant pomocí nástrojů:
  - prediktory (Align GVGD, REVEL, SIFT, ...)
  - softwary, databáze (Alamut, VarSome, HGMD, OMIM)
  - krystalografická analýza
- **klasifikace klinického významu variant** (ACMG/AMP)
  - - klinicky významná zárodečná varianta
    - verifikace další nezávislou metodou



Třída 1 - benigní

Třída 2 - pravděpodobně benigní

Třída 3 - VUS - varianty  
nejasného klinického významu

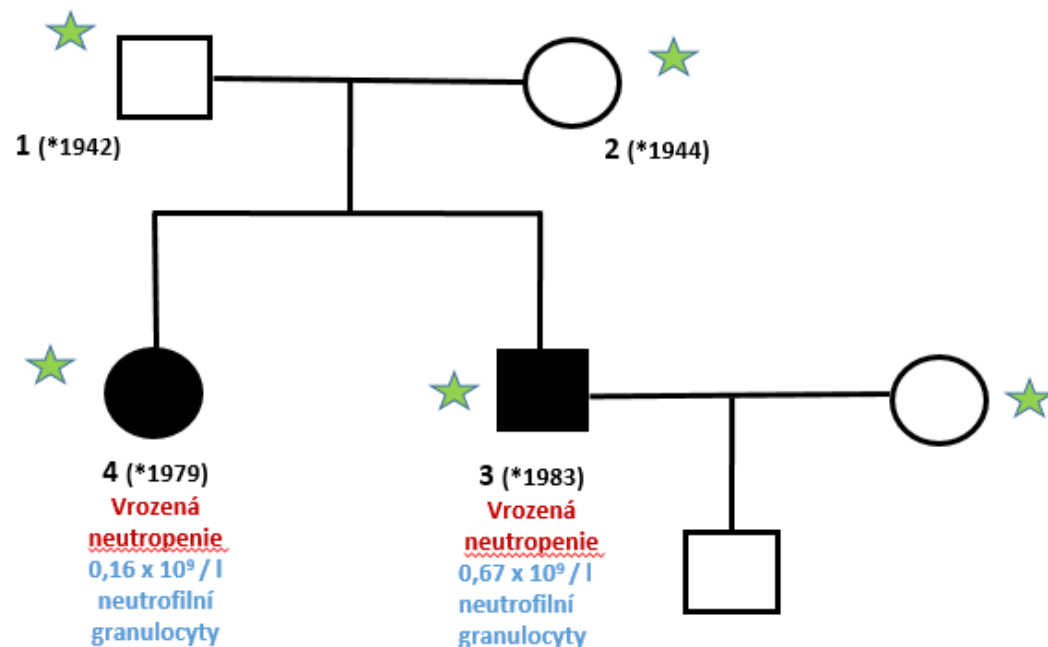
Třída 4 - pravděpodobně patogenní

Třída 5 - patogenní

# Kazuistika – dědičná neutropenie u sourozenců

➤ Sestra probanda: 4, ročník 1979

- od 12 let časté záněty středního ucha, kožní infekce a záněty dásní
- stomatologické obtíže - kariézní chrup s nutností vícečetných extrakcí a náhrad implantátem
- KO: středně těžká až těžká neutropenie



➤ Proband: 3, ročník 1983

- od 10 let sledován pro neutropenii
- opakované záněty středního ucha - ve 14 letech operace levého ucha, v 15 letech pravého ucha
- v 18 letech incize pro hýžd'ový absces I.sin.
- v 19 letech mononukleóza
- ve 23 letech po terapii AIHA v důsledku epizod autoimunitní hemolytické anémie
- recidivující infekty ORL oblasti
- kariézní chrup, spodní můstky
- nekuřák

➤ **WES analýza: obou sourozenců a jejich rodičů**



Defektní chrup probanda - gingividita, stomatitida

# Kazuistika – dědičná neutropenie u sourozenců

- WES: segreganční analýza - virtuální panel genů pro neutropenie  
segreganční analýza - celý exom

- záchyt v *SBDS* genu: c.355T>C / c.536C>T  
maternální alela / paternální alela



**SHWACHMAN-BODIAN-DIAMOND sy**

(AR onemocnění – insuficience pankreatu, kostní malformace, anomálie jater)

varianta **c.355T>C;p.(Cys119Arg)**  
**pravděpodobně patogenní**

varianta **c.536C>T; p.(Pro179Leu)**  
**nová, raritní varianta typu**



*funkční testování SBDS  
variant na úrovni proteinu*

- pacienti: infekce, neutropenie
- až 30 % riziko rozvoje hematol. malignit (MDS/AML)

- upřesnění diagnózy
- pravidelné hematologické sledování na IHOKu: kvůli riziku rozvoje MDS či akutní leukémie
- analýza rodinných příslušníků - potomci jsou zdraví přenašeči této nemoci

# Kde lze dále využít WES

- ❖ různé diagnózy - genetická pracoviště: mentální retardace, svalové dystrofie, epilepsie, syndromy, neznámé příčiny onemocnění
- ❖ analýza somatického exomu u pacientů s B-prekurzorovou akutní lymfoblastickou leukemií (standardní CELL chemoterap. protokoly, Blina-CELL, Pona-CELL)



- projekt v letech 2022 - 2025 (ÚHKT / IHOK FNB / ÚLGG MU)

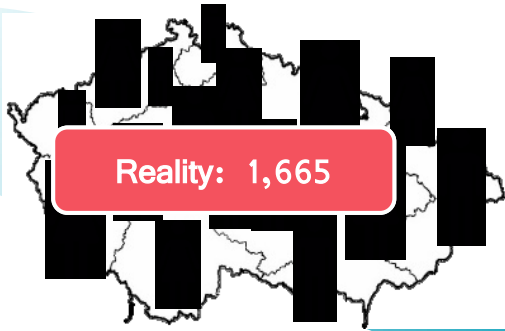
- vstupní vzorky: z data diagnózy x vzorku z remise (MRD negativní)
- nastavení metodiky pro rozšířené sledování pacientů s rozvojem ALL

## **4. Celogenomové sekvenování**



# Analysis of Czech Genomes for Theranostics

(A-C-G-T)



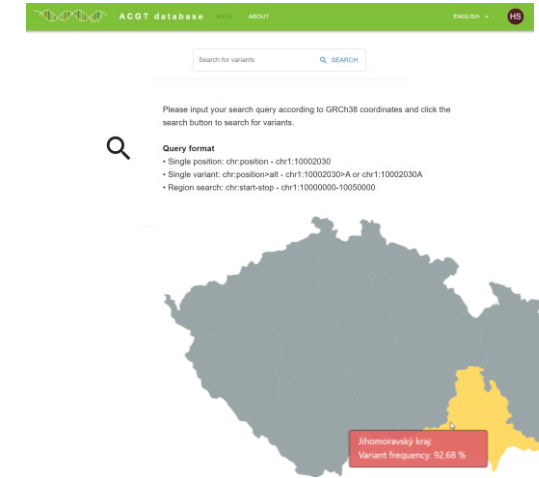
Plan: 1,500 healthy  
Czechs from all regions



questionnaire and  
blood sample collection,  
DNA isolation



Plan: 1,000+ genomes  
sequencing



Database of variant frequencies at  
individual positions in the genome  
(gnomAD-like browser)

1



30 to 55 years old, male & female

2



Father comes from the same Czech region as mother

3



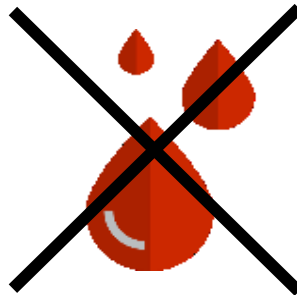
Healthy  
(No genetic disorders)

4



NOT a transplant recipient

5



NOT a recipient of blood transfusion (in last 6 months)

6



NOT a pregnant woman

# Příprava knihoven

- PCR-free (minimální technický bias, bez PCR chimér a chyb)
  - 1000 ng DNA na vstupu
- KAPA Hyperprep kit nebo Illumina TruSeq DNA PCR-free
- Kvantifikace pomocí qPCR (KAPA Library Quantification Kit)
- Elektroforéza produktu z qPCR

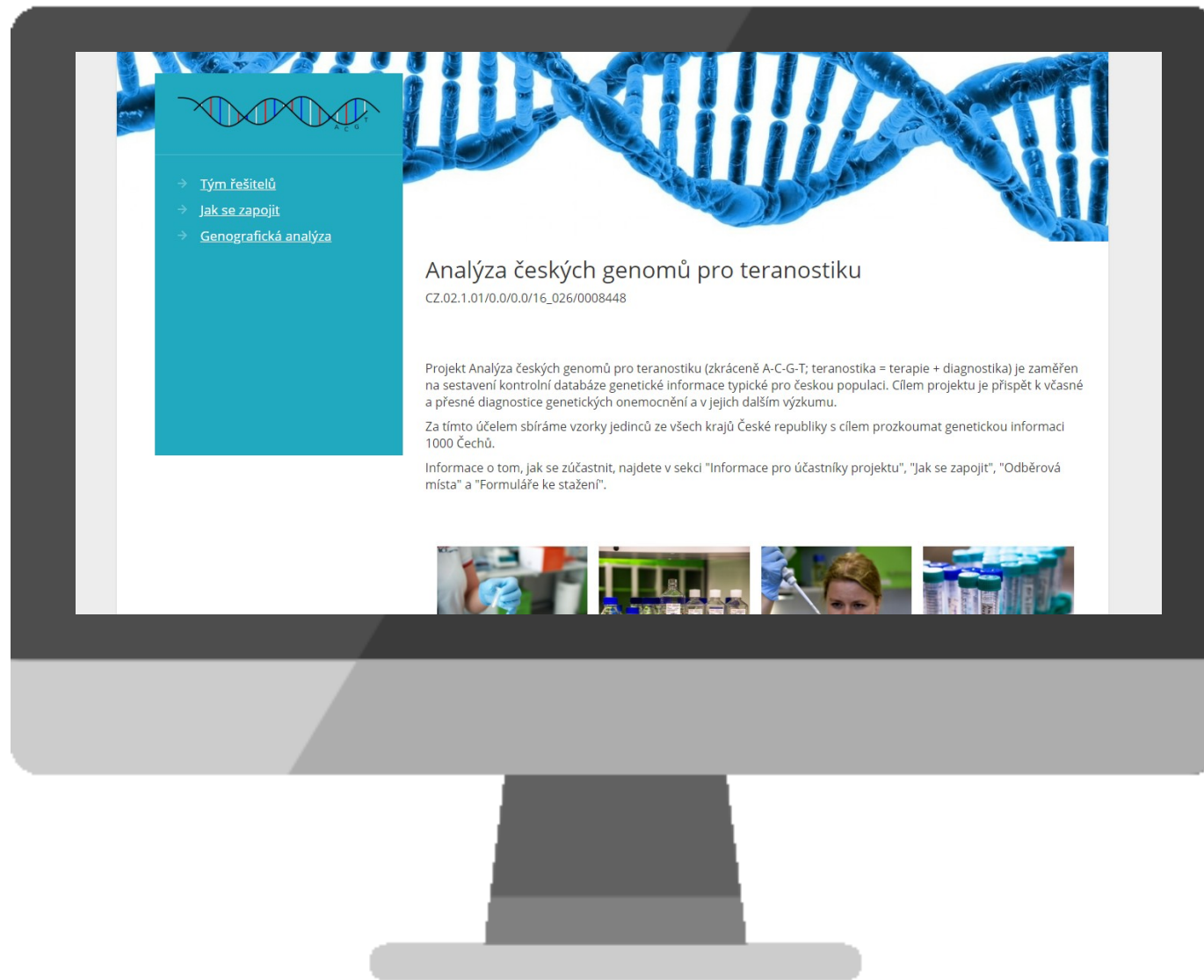


# Library preparation and sequencing

---

- PCR-free library preparation (minimal technical bias)
  - **Illumina NovaSeq**
  - Paired-end 2×150 bp
  - Average coverage: 30x
- 





[www.ACGT.cz](http://www.ACGT.cz)

MUNI

# Variant search

Vyhledej varianty

chr3:100600000-100665000

 HLEDAT

Show column filtering

| Position                       | Reference            | Alternate            | rs ID                | ACGT Czech Repu...   | Gene                 | Consequence          | Hlavní město Praha   | Jihomora...          |
|--------------------------------|----------------------|----------------------|----------------------|----------------------|----------------------|----------------------|----------------------|----------------------|
| <input type="text"/>           | <input type="text"/> | <input type="text"/> | <input type="text"/> | <input type="text"/> | <input type="text"/> | <input type="text"/> | <input type="text"/> | <input type="text"/> |
| <a href="#">chr3:100663297</a> | T                    | A                    | rs1185983            | 100 %                | ADGRG7               | intron_variant       | 0                    | 100                  |
| <a href="#">chr3:100663657</a> | C                    | T                    | rs1184855597         | 2.08 %               | ADGRG7               | intron_variant       | 0                    | 2.44                 |
| <a href="#">chr3:100663664</a> | C                    | G                    | rs1165536            | 89.58 %              | ADGRG7               | intron_variant       | 0                    | 92.68                |
| <a href="#">chr3:100663699</a> | G                    | C                    | rs1165535            | 100 %                | ADGRG7               | intron_variant       | 0                    | 100                  |
| <a href="#">chr3:100664080</a> | A                    | T                    | rs149091956          | 2.08 %               | ADGRG7               | intron_variant       | 0                    | 2.44                 |
| <a href="#">chr3:100664091</a> | T                    | A                    | rs143120819          | 2.08 %               | ADGRG7               | intron_variant       | 0                    | 2.44                 |
| <a href="#">chr3:100664325</a> | G                    | A                    | rs556952085          | 2.08 %               | ADGRG7               | intron_variant       | 0                    | 2.44                 |
| <a href="#">chr3:100664363</a> | C                    | G                    | rs752177664          | 2.08 %               | ADGRG7               | intron_variant       | 0                    | 2.44                 |
| <a href="#">chr3:100664458</a> | C                    | G                    | rs1165534            | 43.75 %              | ADGRG7               | intron_variant       | 0                    | 46.34                |
| <a href="#">chr3:100664507</a> | A                    | G                    | rs115180895          | 2.08 %               | ADGRG7               | intron_variant       | 0                    | 2.44                 |
| <a href="#">chr3:100664852</a> | A                    | T                    | rs143384523          | 4.17 %               | ADGRG7               | intron_variant       | 0                    | 4.88                 |
| <a href="#">chr3:100664895</a> | A                    | C                    | rs2449250            | 100 %                | ADGRG7               | intron_variant       | 0                    | 100                  |

Select columns to display

Variant data

- Position
- Reference
- Alternate
- rs ID
- ACGT Czech Republic frequency
- gnomAD global frequency
- gnomAD Non-Finnish European frequency
- Gene
- Consequence
- Region
- Sex frequency
- Genotype
- Annotation

Region frequencies

Hlavní město Praha

Zlínský kraj

Restore defaults

Save

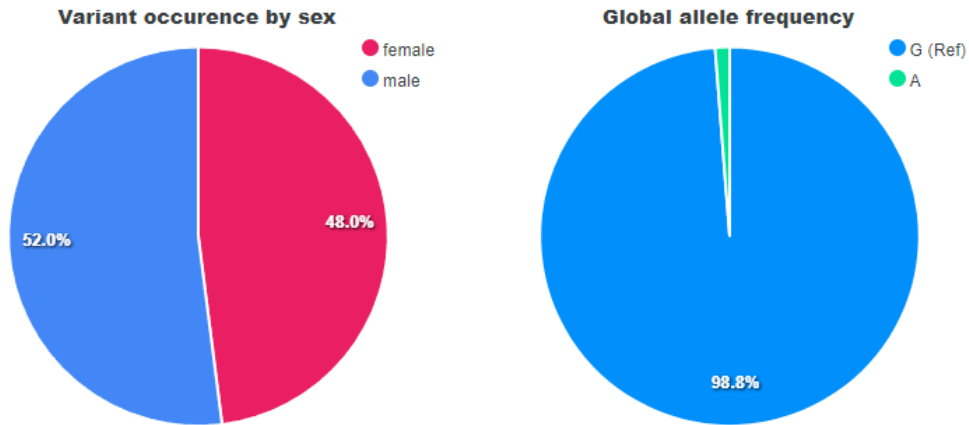
## Basic information

|                                       |                     |
|---------------------------------------|---------------------|
| Position                              | chr11:46739505      |
| Reference                             | G                   |
| Alternate                             | A                   |
| rs ID                                 | rs1799963&CR961726  |
| ACGT Czech Republic frequency         | 0.0123              |
| gnomAD global frequency               |                     |
| gnomAD Non-Finnish European frequency |                     |
| Consequence                           | 3_prime_UTR_variant |
| Total alleles count                   | 2032                |

Show full annotation

Show region frequencies

## Frequency charts



## F2:prothrombin mutation c.\*97G>A

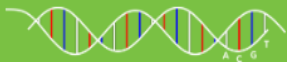
A-C-G-T AF: 1.23%

gnomAD AF v2.1.1: 1.24%

### Region frequency info x

Total alleles: 2032

| Region                | Frequency | Allele count | Total alleles |
|-----------------------|-----------|--------------|---------------|
| Hlavní město Praha    | 0.0139    | 3            | 216           |
| Jihočeský kraj        | 0.0208    | 1            | 48            |
| Jihomoravský kraj     | 0.00599   | 2            | 334           |
| Karlovarský kraj      | 0         | 0            | 30            |
| Královehradecský kraj | 0.00746   | 1            | 134           |
| Liberecký kraj        | 0.0385    | 2            | 52            |
| Moravskoslezský kraj  | 0.0229    | 5            | 218           |
| Olomoucký kraj        | 0.00575   | 1            | 174           |
| Pardubický kraj       | 0         | 0            | 76            |
| Plzeňský kraj         | 0.0377    | 4            | 106           |
| Středočeský kraj      | 0         | 0            | 234           |
| Ústecký kraj          | 0.0208    | 3            | 144           |
| Vysočina              | 0.00909   | 1            | 110           |
| Zlínský kraj          | 0.00658   | 1            | 152           |



## Basic information

|                                       |                  |
|---------------------------------------|------------------|
| Position                              | chr1:169549811   |
| Reference                             | C                |
| Alternate                             | T                |
| rs ID                                 | rs6025&CM940389  |
| ACGT Czech Republic frequency         | 0.0379           |
| gnomAD global frequency               |                  |
| gnomAD Non-Finnish European frequency |                  |
| Consequence                           | missense_variant |
| Total alleles count                   | 2032             |

[Show full annotation](#)[Show region frequencies](#)

## F5: Leiden mutation c.1601G>A

A-C-G-T AF: 6.00%

gnomAD AF v2.1.1: 8.40%

Region frequency info

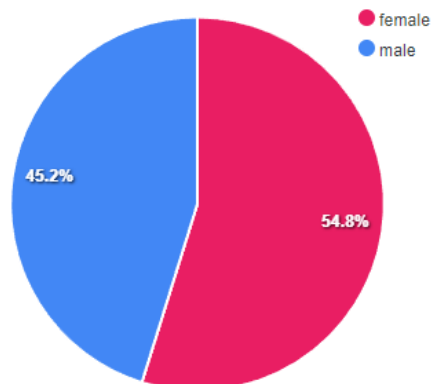
x

Total alleles: 2032

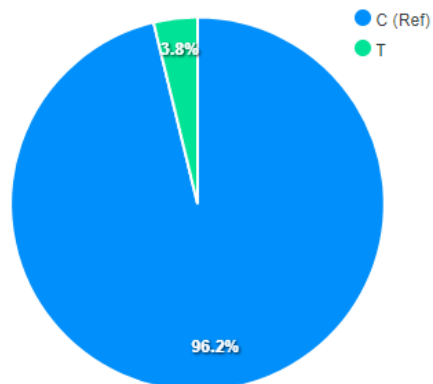
| Region               | Frequency | Allele count | Total alleles |
|----------------------|-----------|--------------|---------------|
| Hlavní město Praha   | 0.0648    | 14           | 216           |
| Jihočeský kraj       | 0.0208    | 1            | 48            |
| Jihomoravský kraj    | 0.0329    | 11           | 334           |
| Karlovarský kraj     | 0.0667    | 2            | 30            |
| Královeský kraj      | 0.0224    | 3            | 134           |
| Liberecký kraj       | 0.0577    | 3            | 52            |
| Moravskoslezský kraj | 0.0321    | 7            | 218           |
| Olomoucký kraj       | 0.0115    | 2            | 174           |
| Pardubický kraj      | 0.0395    | 3            | 76            |
| Plzeňský kraj        | 0.0377    | 4            | 106           |
| Středočeský kraj     | 0.0513    | 12           | 234           |
| Ústecký kraj         | 0.0347    | 5            | 144           |
| Vysočina             | 0.0364    | 4            | 110           |
| Zlínský kraj         | 0.0329    | 5            | 152           |

## Frequency charts

Variant occurrence by sex



Global allele frequency







# Iniciativa „Milion evropských genomů do roku 2022“

tzv. „1+ Million Genomes“ & „Beyond 1 Million Genomes“



10. dubna 2018 se ČR stala jedním z 13 zakládajících signatářů deklarace o spolupráci „Towards access to at least 1 million sequenced genomes in the EU by 2022“.



Cílem iniciativy je zlepšit genetickou diagnostiku v celé Evropě, a to nastavením jednotných pravidel a vytvořením podrobného referenčního souboru dat. V současné době např. patientskou DNA můžeme srovnávat pouze s celoevropskou referenční databází, ve které je **středoevropská populace jen velmi málo zastoupena**.



K dnešku deklaraci podepsalo **22 členských států EU, Velká Británie a Norsko**. Aktuálně se společnými silami připravují pravidla a technická infrastruktura, která od roku 2022 umožní sdílet hladce, legálně a bezpečně a celý 1 milion genomů.



Bohužel, průzkumy v jednotlivých zemích ukázaly, že **genomů v Evropě nemáme osekvenováno dost** – tedy pouze polovinu cíle. Například **ČR dosud může přispět pouze cca 1 5000 genomy z projektu „A-C-G-T“**. Proto byl zahájen mezinárodní projekt **Genome of Europe**, jehož cílem je přechíst **půl milionu chybějících genomů**.



Očekává se, že **každá z členských zemí se bude na projektu podílet proporčně dle počtu obyvatel**. **Pro ČR to znamená přechíst DNA dalších 16 775 lidí**.

Počítáme-li, že osekvenování genomu stojí cca 40 000 Kč (+ personální a provozní náklady), znamená to investici cca **750 milionů Kč**.

## Příklady sekvenování a financování v jiných státech:



**Velká Británie:** Již přečteno 100 tisíc genomů společností Genomics England (založena a vlastněna Ministerstvem zdravotnictví a sociální péče UK). Projekt byl financován z více zdrojů, zejména z NIHR a NHS England.

**Litva:** Dosud osekvenováno 1570 genomů, v novém projektu osekvenují dalších 1 500 genomů, podpořeno Ministerstvem zdravotnictví Litvy, financováno z RRF.

**Dánsko:** Funguje zde tzv. „Danish National Genome Center“, což je instituce spadající pod Ministerstvo zdravotnictví. Do roku 2024 plánují osekvenovat 64 tisíc genomů.



[www.b1mg-project.eu](http://www.b1mg-project.eu)

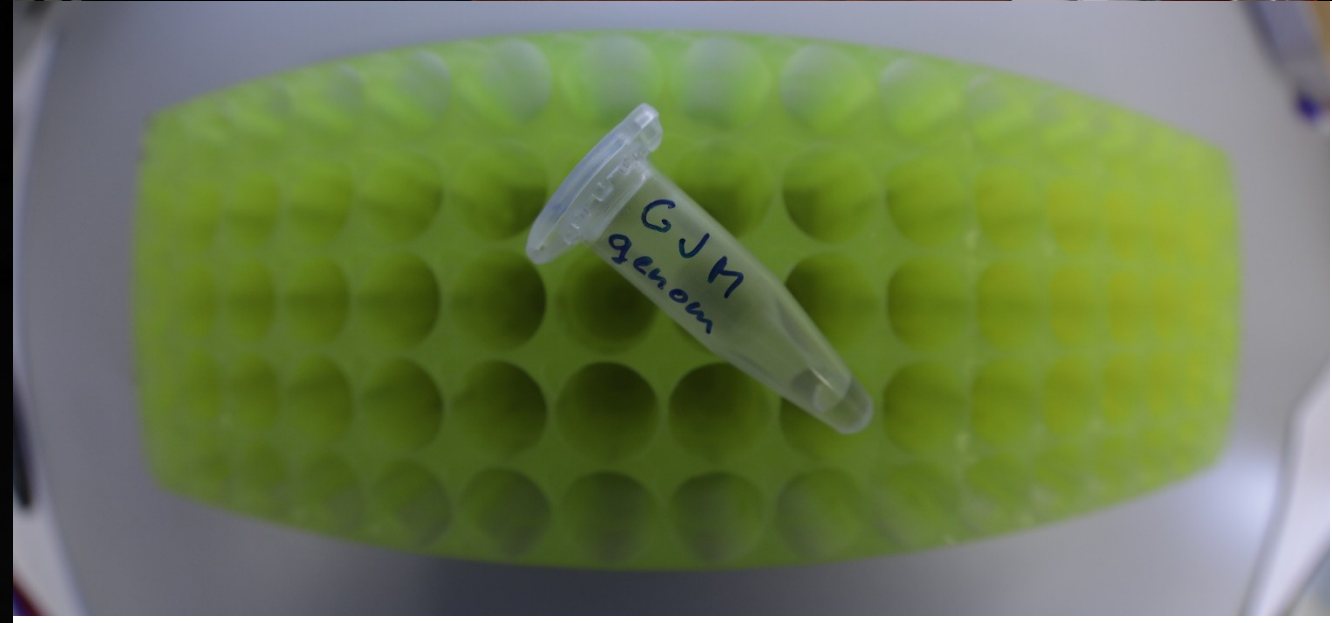
**Honouring  
Gregor Johann Mendel  
legacy**

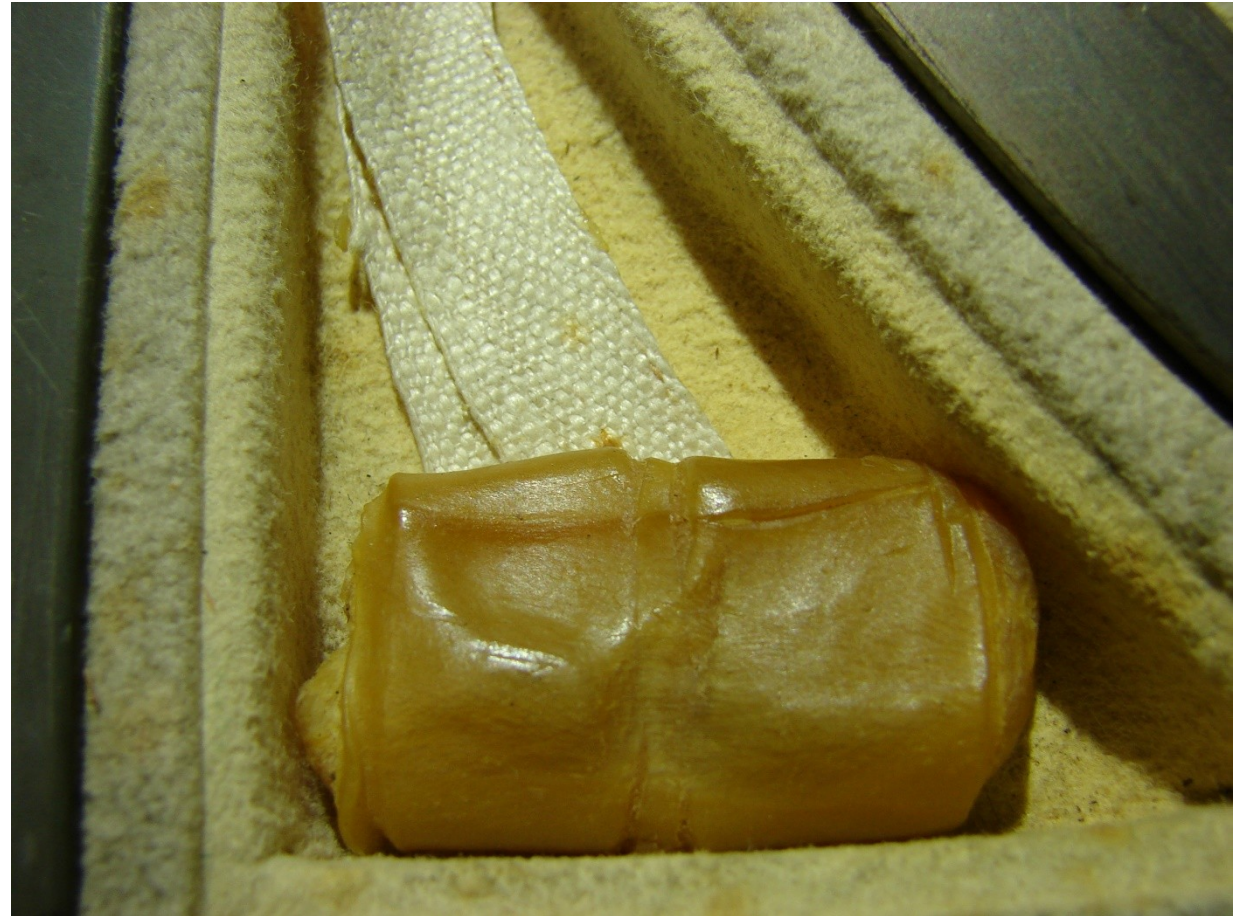


# Popis projektu

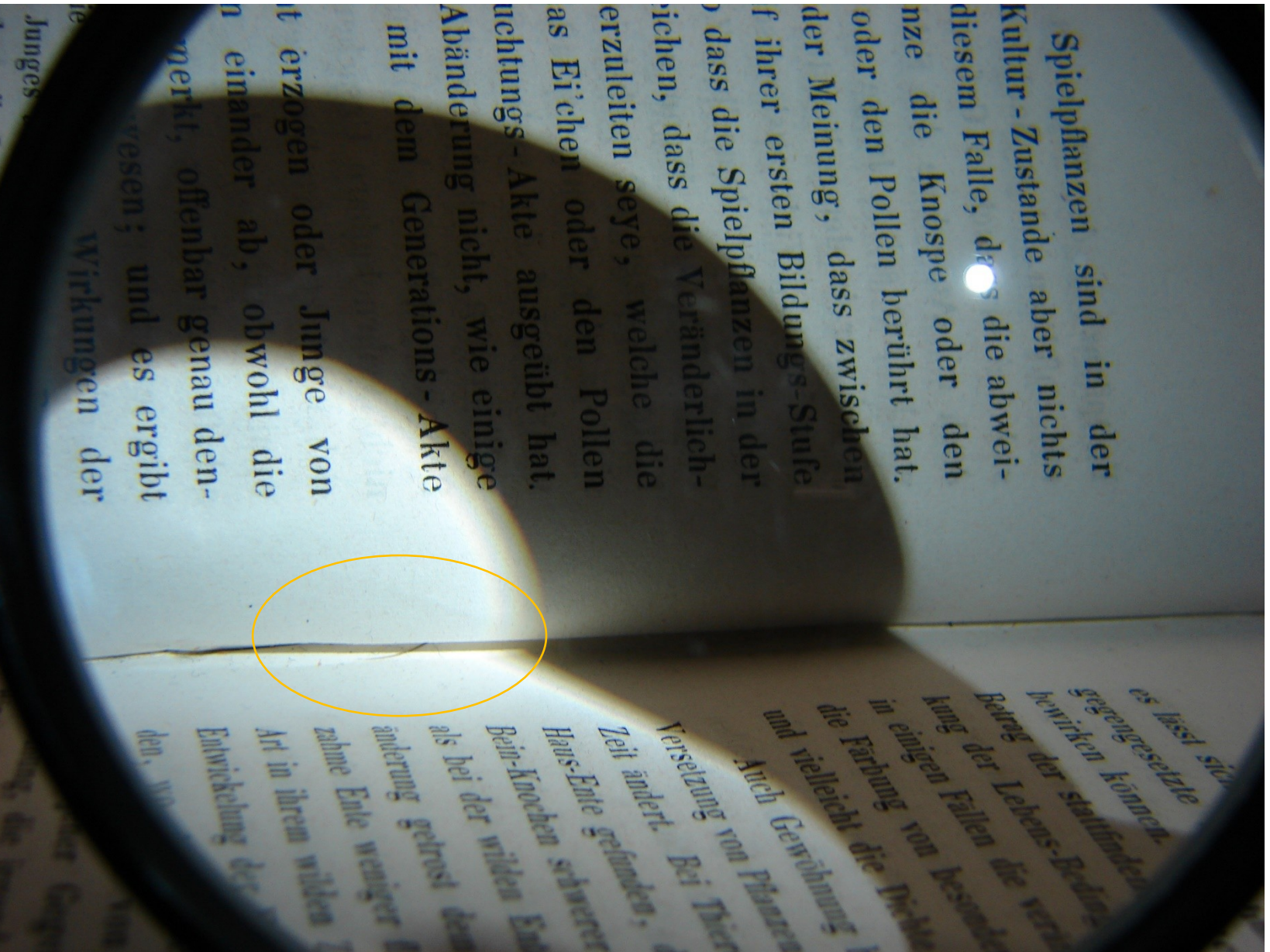
- Unikátní multidisciplinární spolupráce mezi laboratořemi archeologie, antropologie a **genetiky Masarykovy univerzity** za podpory Mendelova muzea, augustiniánského opatství a dalších subjektů.
- Projekt zahrnuje archeologickou a antropologickou dokumentaci, 3D skenování ostatků, obličejovou superprojekci, sekvenování genomu...



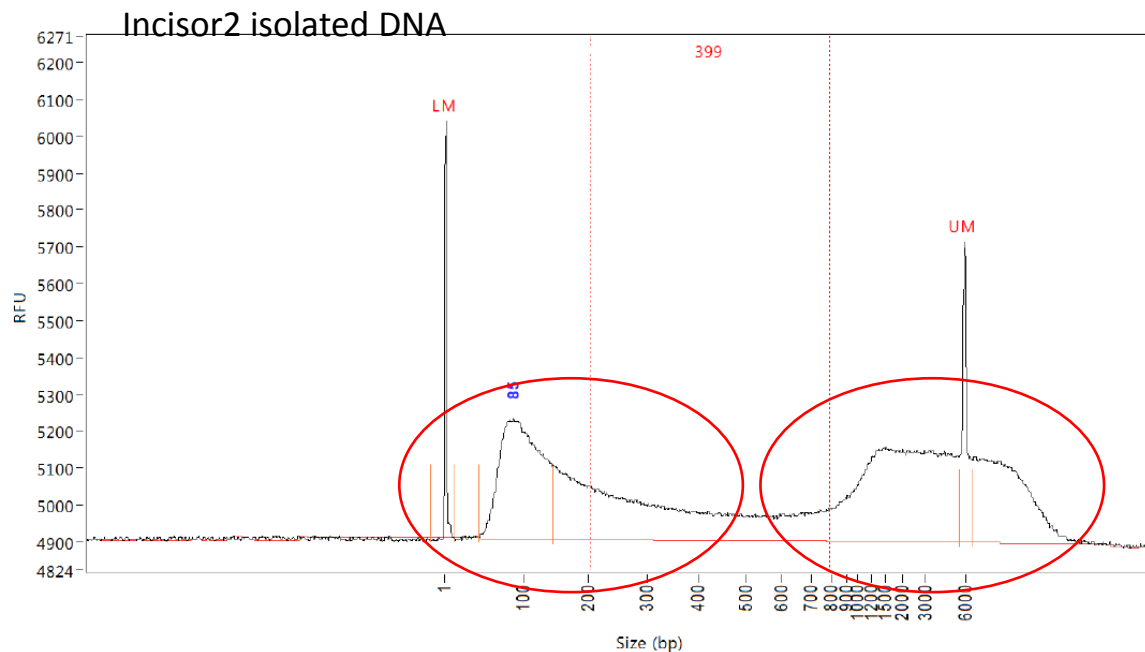




**MUNI**

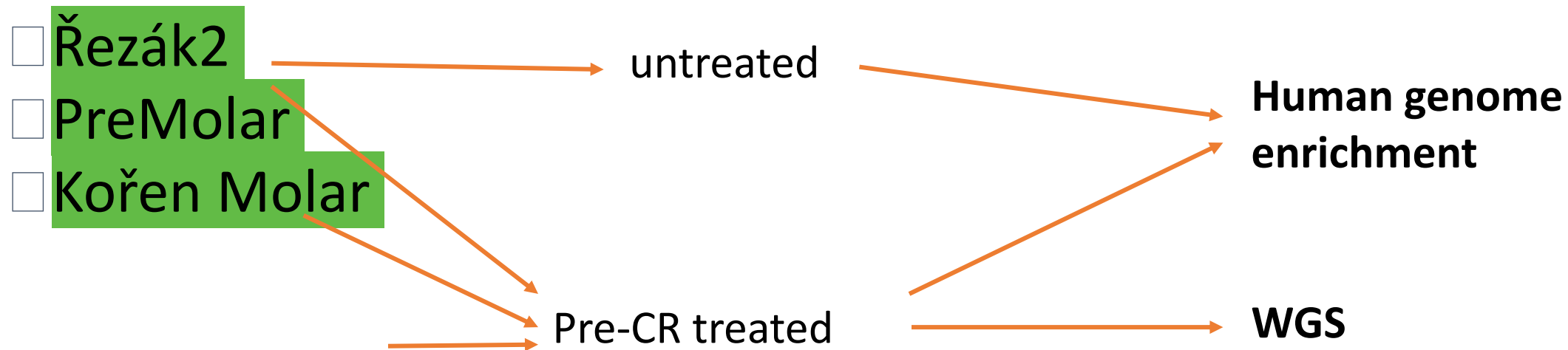


# Ancient (starověká) DNA



- izolovaný v laboratoři LBMA
- lidská DNA
- výtěžek v jednotlivých nanogramech
- délka fragmentů aDNA koreluje s velikostí nukleozomů
- aDNA je většinou zachována v tvrdých tkáních – kosti, zuby

| Sample_Name | Library_ID | Lane | Colour | SeqType | Organism | Strandedness | UDG_Treatment | R1                 | R2      | BAM |
|-------------|------------|------|--------|---------|----------|--------------|---------------|--------------------|---------|-----|
| GJM         | GJMP2      | 1    | 2      | PE      | Human    | double       | Full          | /mnt/shared/GJM/ra | /mnt/sl | NA  |
| GJM         | GJMP2      | 2    | 2      | PE      | Human    | double       | Full          | /mnt/shared/GJM/ra | /mnt/sl | NA  |
| GJM         | GJMP4      | 1    | 2      | PE      | Human    | double       | Full          | /mnt/shared/GJM/ra | /mnt/sl | NA  |
| GJM         | GJMP4      | 2    | 2      | PE      | Human    | double       | Full          | /mnt/shared/GJM/ra | /mnt/sl | NA  |
| GJM         | GJMP5      | 1    | 2      | PE      | Human    | double       | Full          | /mnt/shared/GJM/ra | /mnt/sl | NA  |
| GJM         | GJMP5      | 2    | 2      | PE      | Human    | double       | Full          | /mnt/shared/GJM/ra | /mnt/sl | NA  |
| GJM         | Aug_zub2   | 1    | 2      | PE      | Human    | double       | none          | /mnt/shared/GJM/ra | /mnt/sl | NA  |

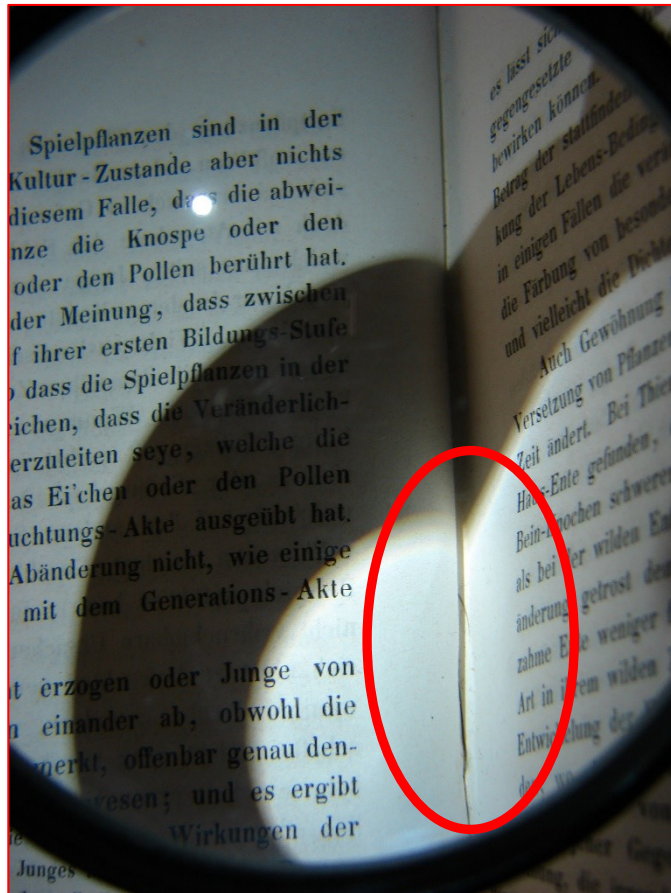


|          |     |                    |
|----------|-----|--------------------|
| GJMP2    | Zub | Třenový levý dolní |
| GJMP4    | Zub | Řezák pravý dolní  |
| GJMP5    | Zub | Kořen horní        |
| Aug_zub2 | Zub | Špičák levý dolní  |

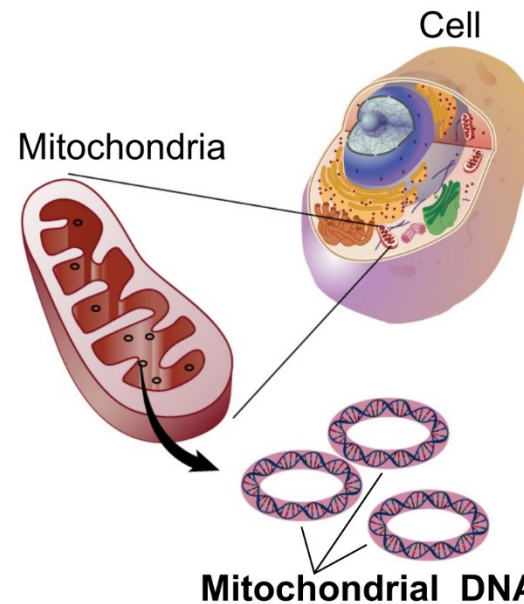


# mtDNA sekvenování

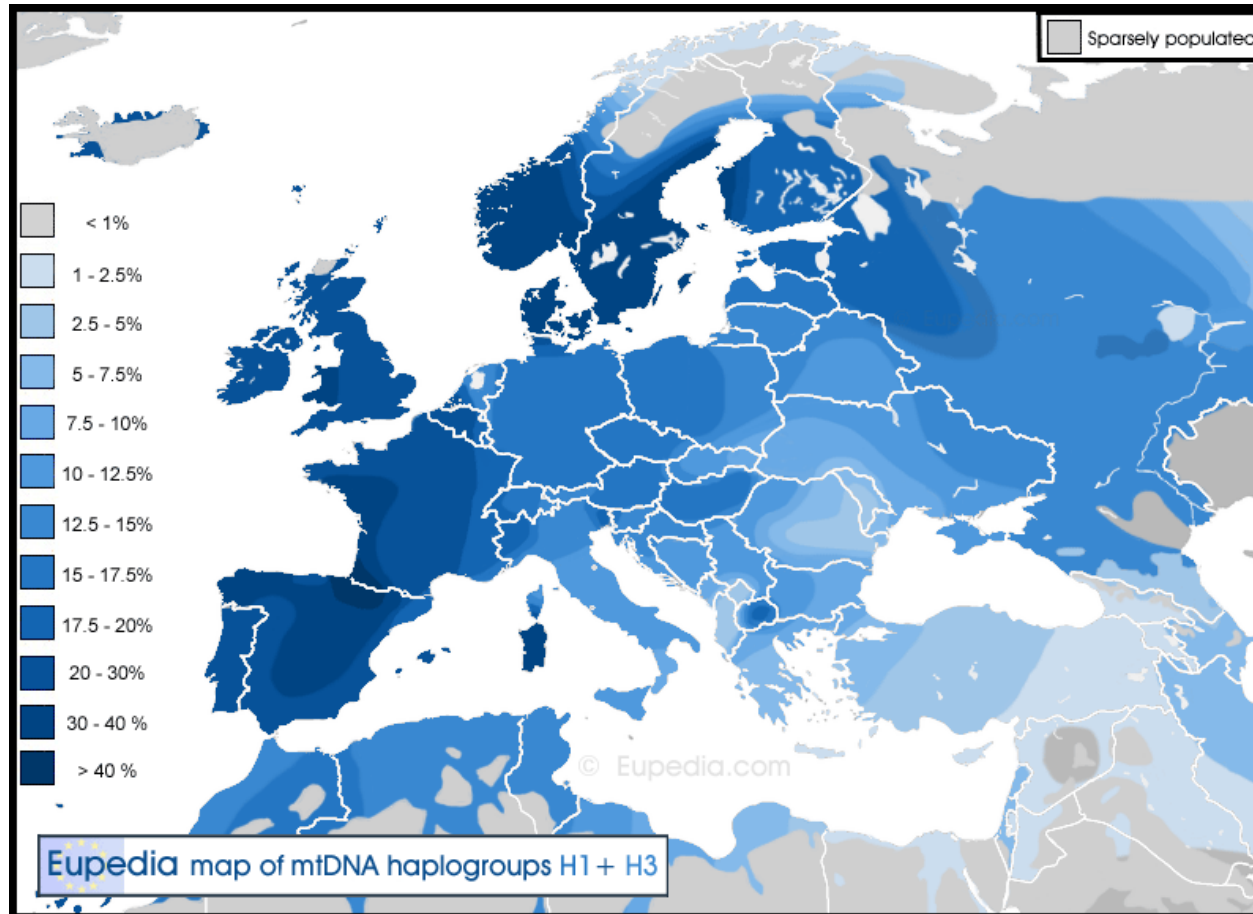
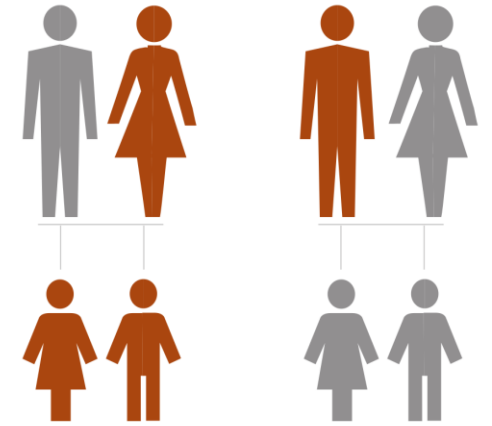
- pro potvrzení totožnosti kosterních pozůstatků
- pro kontrolu kontaminace vzorků



Hair vs teetk

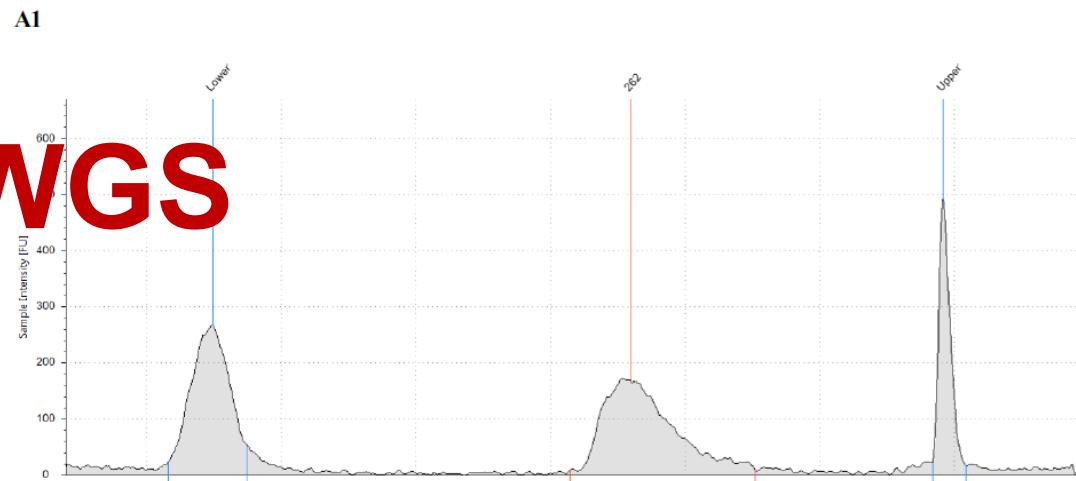


# mtDNA haploskupina



- Zděděno v mateřské linii
- Mitochondriální genom lze použít ke sledování našich předků
- Mendelův haplotyp: H1c

# Příprava knihovny WGS



- Použité sady a chemie
- Vzorky izolované pomocí PrepFiler Forensic DNA extrakční soupravy (ThermoFisher), koncentrované pomocí odstředivých kolon Amicon
- Swift 2S, adaptéry UMI (IDT), EvaGreen qPCR (aby se zabránilo přecyklování)
- NGS panely: xGen Human mtDNA panel (IDT), obohacení celého genomu MyBaits (Arbor biosciences)



# Analýza surových dat

Mendel's genome variants  
from ancient DNA

|                   |         |
|-------------------|---------|
| Number of variant | 4055755 |
| SNP               | 3451370 |
| INDEL             | 616443  |

Healthy men's genome variants  
from project ACGT

|                   |         |
|-------------------|---------|
| Number of variant | 5011574 |
| SNP               | 4074195 |
| INDEL             | 942417  |

- Intron variants in majority, ~30K variant in gene coding regions

# Mendel's variant evaluation



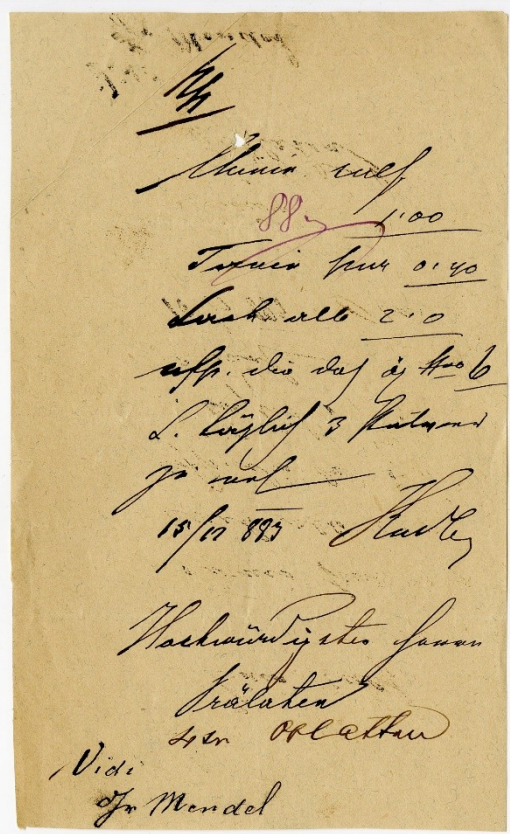
- setting parameters for evaluation of variants:
- variant coverage  $\geq 3$  reads
- variant present in at least 2 unique DNA molecules
- variant allele frequency (VAF)  $\geq 30\%$
- relevance in ClinVar, dbSNP (rs), PubMed
- variant effect prediction software: Alamut, VarSome, etc.
- disease related variants: HGMD, OMIM

# Mendel's medical condition

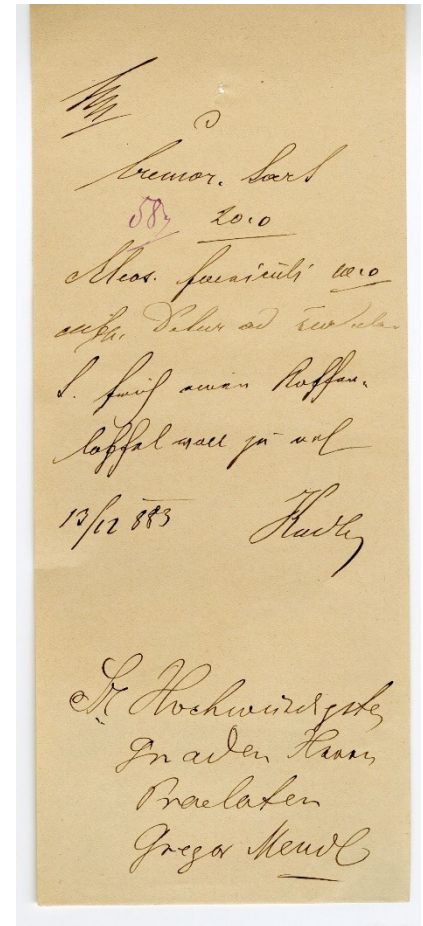
- character: „silent, shy, timid, psychically unstable“

Suffering from depressions? (DeCastro 2016)

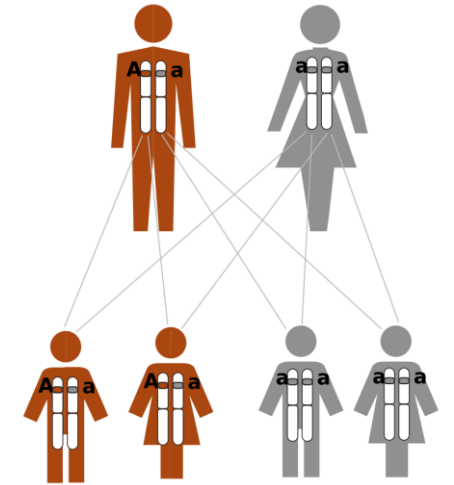
- prone to obesity, smoker (>20 cigars/day)
- in his last years, he was suffering from „Bright's disease“ (a kidney disease in 19th century)
- swelling of lower limbs (edema)
- hypertension
- cardiac hypertrophy proven by autopsy



His prescriptions include  
Digitalis and Cremor  
Tartari (as a diuretic),  
Salicylate, Morphium,  
Chinin, Potassium



# Autozomálně dominantní dědičnost



- **KCNJ2 gene:** c.431G>C; p.(G144A): NM\_000891.3
- heterozygous state
- disease-causing variant associated with Andersen-Tawil syndrome
- varying degrees of cardiac and muscle involvement, variable phenotype (cardiac arrhythmia, long QT syndrome)

*(Ballester LY et al. 2006, Hum Mutat)*

# ABO Blood Group System

- **ABO gene (9q34.2)** – 7 exons
- **O PHENOTYPE** - deletion of guanine at nucleotide 261 of ABO gene
- **A/B POLYMORPHISM** - several nucleotide differences between the alleles that code for the A and B glycosyltransferase enzymes

*Yamamoto et al., 1990, J. Biol. Chem.*

| Exon                       | 6          |           |       |       |       |           | 7         |       |           |       |       |       |       |       |           |       |            |
|----------------------------|------------|-----------|-------|-------|-------|-----------|-----------|-------|-----------|-------|-------|-------|-------|-------|-----------|-------|------------|
| Nucleotide Position        | 261        | 297       | 467   | 526   | 646   | 657       | 681       | 703   | 771       | 796   | 802   | 803   | 829   | 871   | 930       | 1054  | 1060       |
| <b>A alleles</b>           |            |           |       |       |       |           |           |       |           |       |       |       |       |       |           |       |            |
| A101                       | G          | A         | C     | C     | T     | C         | G         | G     | C         | C     | G     | G     | G     | G     | G         | C     | C          |
| A102                       | *          | *         | T     | *     | *     | *         | *         | *     | *         | *     | *     | *     | *     | *     | *         | *     | *          |
| A201                       | *          | *         | T     | *     | *     | *         | *         | *     | *         | *     | *     | *     | *     | *     | *         | *     | Δ          |
| A301                       | *          | *         | *     | *     | *     | *         | *         | *     | *         | *     | *     | *     | *     | A     | *         | *     | *          |
| Ax01                       | *          | *         | *     | *     | A     | *         | *         | *     | *         | *     | *     | *     | *     | *     | *         | *     | *          |
| <b>B alleles</b>           |            |           |       |       |       |           |           |       |           |       |       |       |       |       |           |       |            |
| B101                       | *          | G         | *     | G     | *     | T         | *         | A     | *         | A     | *     | C     | *     | *     | A         | *     | *          |
| B301                       | *          | G         | *     | G     | *     | T         | *         | A     | *         | A     | *     | C     | *     | *     | A         | T     | *          |
| <b>AB alleles</b>          |            |           |       |       |       |           |           |       |           |       |       |       |       |       |           |       |            |
| cis-AB01                   | *          | *         | T     | *     | *     | *         | *         | *     | *         | *     | *     | C     | *     | *     | *         | *     | *          |
| B(A)01                     | *          | G         | *     | G     | *     | *         | *         | *     | *         | A     | *     | C     | *     | *     | A         | *     | *          |
| <b>O alleles</b>           |            |           |       |       |       |           |           |       |           |       |       |       |       |       |           |       |            |
| O02                        | Δ          | G         | *     | *     | A     | *         | A         | *     | T         | *     | *     | *     | A     | *     | *         | *     | *          |
| O03                        | *          | G         | *     | G     | *     | *         | *         | *     | *         | *     | A     | *     | *     | *     | *         | *     | *          |
| Possible Amino Acid Change | Frameshift | No change | P156L | R176G | F216I | No change | No change | G235S | No change | L266M | G268R | G268A | V277M | D291N | No change | R352W | Frameshift |

→ O01 homozygot



## RH FACTOR

- **RHD gene (1p36.11)**
- results: **RHD gene without genetic variations** was detected

→ Rh positive




# DNA-based hair and skin colour prediction

- according to HirisPlex-S Eye, Hair, and Skin Colour DNA Phenotyping Webtool (erasmusmc.nl)
- the assay consists of 24 SNPs: 6 for eye colour prediction  
 (not available → low coverage for *HERC2* gene)  
 18 used for hair colour and shade prediction

| Predicted phenotype |         |          |
|---------------------|---------|----------|
|                     | p-value | AUC Loss |
| blue eye            | 0       | 0.293    |
| intermediate eye    | 0       | 0.137    |
| brown eye           | 0       | 0.297    |
| blond hair          | 0.331   | 0.052    |
| brown hair          | 0.573   | 0.038    |
| red hair            | 0.005   | 0.002    |
| black hair          | 0.09    | 0.042    |
| light hair          | 0.724   | 0.088    |
| dark hair           | 0.276   | 0.088    |
| very pale skin      | 0.004   | 0.009    |
| pale skin           | 0.088   | 0.024    |
| intermediate skin   | 0.566   | 0.025    |
| dark skin           | 0.118   | 0.01     |
| dark to black skin  | 0.244   | 0.001    |

The HirisPlex-S System

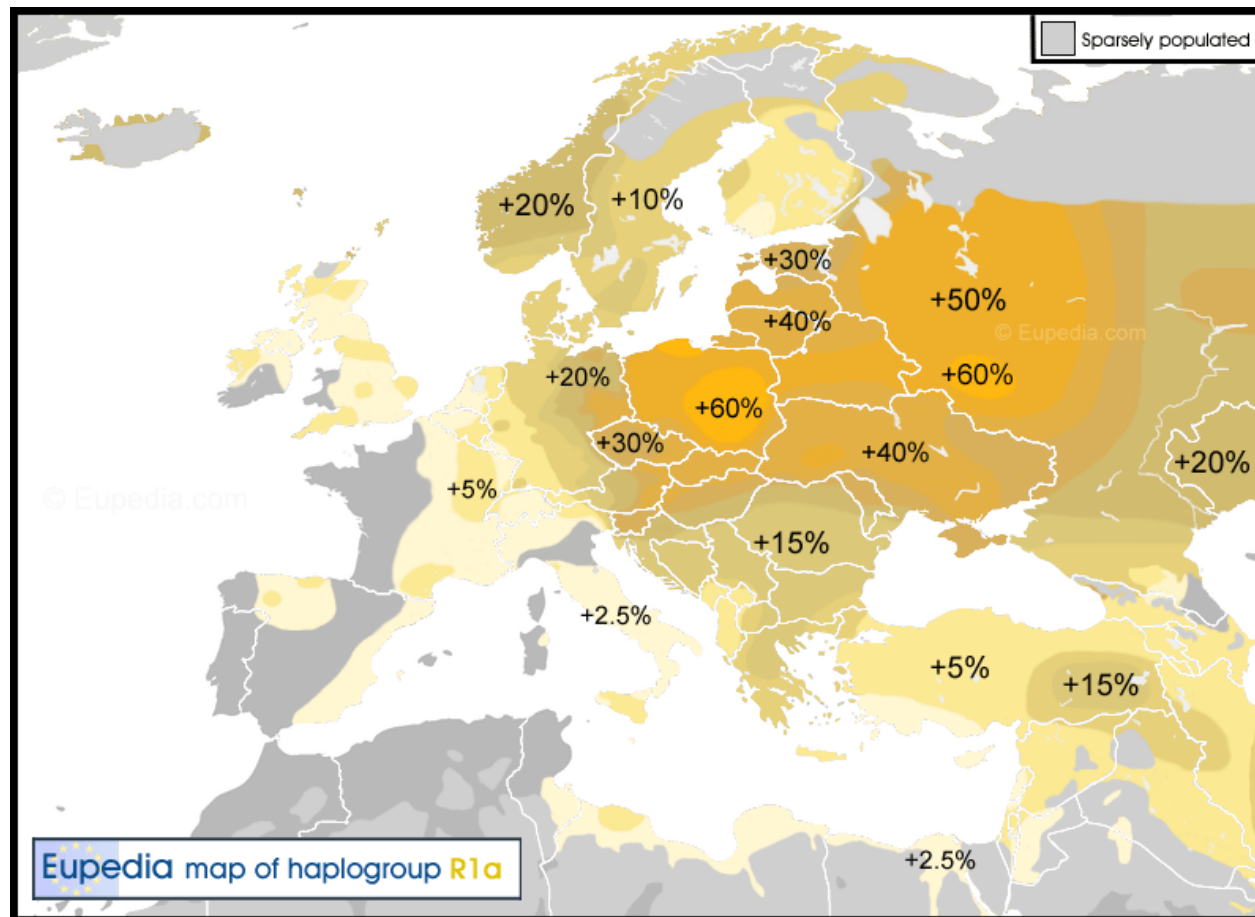
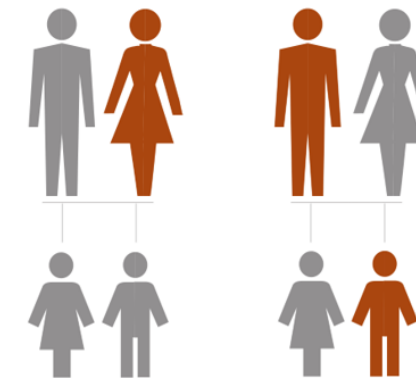


| Gene | SNP                 | Allele      | No. of Alleles |
|------|---------------------|-------------|----------------|
| 1    | <i>MC1R</i>         | rs312262906 | A 0 1 2 NA     |
| 2    | <i>MC1R</i>         | rs11547464  | A 0 1 2 NA     |
| 3    | <i>MC1R</i>         | rs885479    | T 0 1 2 NA     |
| 4    | <i>MC1R</i>         | rs1805008   | T 0 1 2 NA     |
| 5    | <i>MC1R</i>         | rs1805005   | T 0 1 2 NA     |
| 6    | <i>MC1R</i>         | rs1805006   | A 0 1 2 NA     |
| 7    | <i>MC1R</i>         | rs1805007   | T 0 1 2 NA     |
| 8    | <i>TUBB3</i>        | rs1805009   | C 0 1 2 NA     |
| 9    | <i>MC1R</i>         | rs201326893 | A 0 1 2 NA     |
| 10   | <i>MC1R</i>         | rs2228479   | A 0 1 2 NA     |
| 11   | <i>MC1R</i>         | rs1110400   | C 0 1 2 NA     |
| 12   | <i>SLC45A2</i>      | rs28777     | C 0 1 2 NA     |
| 13   | <i>SLC45A2</i>      | rs16891982  | C 0 1 2 NA     |
| 14   | <i>KITLG</i>        | rs12821256  | G 0 1 2 NA     |
| 15   | <i>LOC105374875</i> | rs4959270   | A 0 1 2 NA     |
| 16   | <i>IRF4</i>         | rs12203592  | T 0 1 2 NA     |
| 17   | <i>TYR</i>          | rs1042602   | T 0 1 2 NA     |
| 18   | <i>OCA2</i>         | rs1800407   | A 0 1 2 NA     |
| 19   | <i>SLC24A4</i>      | rs2402130   | G 0 1 2 NA     |
| 20   | <i>HERC2</i>        | rs12913832  | T 0 1 2 NA     |
| 21   | <i>PIGU</i>         | rs2378249   | C 0 1 2 NA     |
| 22   | <i>LOC105370627</i> | rs12896399  | T 0 1 2 NA     |
| 23   | <i>TYR</i>          | rs1393350   | T 0 1 2 NA     |
| 24   | <i>TYRP1</i>        | rs683       | G 0 1 2 NA     |
| 25   | <i>ANKRD11</i>      | rs3114908   | T 0 1 2 NA     |
| 26   | <i>OCA2</i>         | rs1800414   | C 0 1 2 NA     |
| 27   | <i>BNC2</i>         | rs10756819  | G 0 1 2 NA     |
| 28   | <i>HERC2</i>        | rs2238289   | C 0 1 2 NA     |
| 29   | <i>SLC24A4</i>      | rs17128291  | C 0 1 2 NA     |
| 30   | <i>HERC2</i>        | rs6497292   | C 0 1 2 NA     |
| 31   | <i>HERC2</i>        | rs1129038   | G 0 1 2 NA     |
| 32   | <i>HERC2</i>        | rs1667394   | C 0 1 2 NA     |
| 33   | <i>TYR</i>          | rs1126809   | A 0 1 2 NA     |
| 34   | <i>OCA2</i>         | rs1470608   | A 0 1 2 NA     |
| 35   | <i>SLC24A5</i>      | rs1426654   | G 0 1 2 NA     |
| 36   | <i>ASIP</i>         | rs6119471   | C 0 1 2 NA     |
| 37   | <i>OCA2</i>         | rs1545397   | T 0 1 2 NA     |
| 38   | <i>RALY</i>         | rs6059655   | T 0 1 2 NA     |
| 39   | <i>OCA2</i>         | rs12441727  | A 0 1 2 NA     |
| 40   | <i>MC1R</i>         | rs3212355   | A 0 1 2 NA     |
| 41   | <i>DEF8</i>         | rs8051733   | C 0 1 2 NA     |

→ hair colour prediction: with probability 57.3% **BROWN**; 33.1% BLOND  
 with probability 72.4% **LIGHT HAIR**

→ skin shade prediction: with probability 56.6% **INTERMEDIATE** skin (average amount of skin pigment)

# Y – haploskupina



- Determined by variants in the Y chromosome
- Y chromosome is one of two sex determining chromosomes
- Inherited in the paternal lineage
- Mendel's Y-haplogroup: R1a

# Monument – „peas“ by Jaromir Gargulak



# Masaryk University at EXPO 2022 in Dubai



Celebrating  
.00 years since  
Mendel's birth

Meet Mendel



Caring for  
Mendel's legacy

Mendel today



Re  
in

F

# Děkuji za pozornost



***CEITEC MU -  
Centrum molekulární  
medicíny***



***IHOK FN Brno -  
Centrum molekulární biologie  
a genetiky***